

Amatérské RÁDIO

CASOPIS

PRO RADIOTECHNIKU

A AMATÉRSKÉ VYSÍLÁNÍ

ROČNÍK XVIII/1969 Číslo 7

V TOMTO SEŠITĚ

Náš interview	241
Výsledky konkursu na nejlepší amatérské konstrukce	242
Několik poznámek ke konferenci o aktivních polovodičových prvcích	243
Čtenáři se ptají	243
Jak na to	244
Nové součástky	245
Stavebnice mladého radioamatéra (mechanická skladba modulů) .	246
Horácké slunce Ozalux	247
Ke slovníku základních radiotechnických výrazů	248
Tranzistorový osciloskop	249
Několik zapojení s tyristory	252
Ladicí díl VKV s tranzistory FET .	254
Třípovelový vysílač pro modely .	255
Generátor FM pro IV. a V. televizní pásmo	257
Jednoduchý zesilovač pro stereofonní sluchátka	258
Zesilovač 80 W pro hudební nástroje	263
Měnič pro síťový holicí strojek .	265
Předesilovač pro dynamický mikrofon	266
Klíč k určování obrazových elektronek	267
Positivní osvitoměry Mili lux	269
Cubical Quad v amatérské praxi .	272
Soutěže a závody	276
Naše předpověď	278
DX	278
Přečteme si	279
Cetli jsme	279
Nezapomeňte, že	279
Inzerce	280

Na str. 259 a 260 jako vyjímatelná příloha „Programovaný kurz radioelektroniky“.

Na str. 261 a 262 jako vyjímatelná příloha „Malý katalog tranzistorů“.

AMATÉRSKÉ RÁDIO

Vydává vydavatelství MAGNET, Praha 1, Vladislavova 26, telefon 234355-7. Šéfredaktor ing. František Smolík, zástupce Lubomír Březina. Redakční rada: K. Bartoš, ing. J. Černák, K. Donát, ing. L. Hloušek, A. Hofhans, Z. Hradíský, ing. J. T. Hyanc, K. Krbc, ing. A. Lavante, K. Novák, ing. O. Petráček, dr. J. Petráček, ing. J. Plzák, M. Procházka, K. Pytner, ing. J. Vacláf, J. Ženíšek. Redakce Praha 2, Lublaňská 57, telefon 223630. Ročně vydje 12 čísel. Cena výtisku 5 Kčs, pololetní předplatné 30 Kčs. Rozšířuje PNS, v jednotkách ozbrojených sil vydavatelství MAGNET, administrativní Praha 1, Vladislavova 26. Objednávky přijímá každá pošta i doručovatel. Dohledací pošta Praha 07. Objednávky do zahraničí využívají PNS, vývoz tisku, Jindřišská 14, Praha 1. Tiskne Polygraf 1, n. p., Praha. Inzerci přijímá vydavatelství MAGNET, Vladislavova 26, Praha 1, tel. 234355-7, linka 294. Za původnost přispěvků ručí autor. Redakce rukopis vrátí, bude-li vyžádán a bude-li připojená franková ná obálka se zpětnou adresou.

Toto číslo vyšlo 9. července 1969.

© Vydavatelství MAGNET, Praha

náš interview

s Jindřichem Kučerou, generálním tajemníkem Československého Hi-Fi klubu, u příležitosti výstavy Hi-Fi EXPO 1969.

Chtěli bychom, abyste nás čtenářům řekl něco zajímavého o výstavě Hi-Fi EXPO 1969, kterou Čs. Hi-Fi klub spolupořádá, a také něco o Hi-Fi klubu samotném. Začneme tedy výstavou. Koná se již podruhé, loni se uskutečnila ve výstavních prostorách Dopravního podniku v Praze. Jaký je účel výstavy a v čem se liší letošní výstava od loňské?

Přesto, že je hudba velmi důležitou složkou kulturního života člověka, nebyla u nás dlouho věnována dostatečná pozornost domácímu poslechu hudby. Nejdé samozřejmě o běžný poslech např. rozhlasových pořadů, kde jde většinou o zvukovou kulisu, ale o možnost poslouchání opravdu kvalitní reprodukování hudby v domácích podmínkách. Na trhu nebylo a stále vlastně není kvalitní reprodukční zařízení, tj. gramofon, stereofonní zesilovač, reproduktory skříně, a jakostní přijímače pro VKV. Zámerem výstavy je ukázat lidem, co všechno z tohoto oboru je k dostání v cizině, srovnat to s vystavenými československými výrobky a podnítit nebo se alespoň pokusit podnítit zájem výrobců o tento obor spotřební elektroniky. Letos opět se pokusíme uspokojit alespoň malé procento zájemců o kvalitní zařízení; prostřednictvím národního podniku Domácí potřeby budou rozprodány všechny exponáty této výstavy nejen za tužexové bony, ale i za naše koruny. Cena je ovšem úměrná současné hodnotě koruny, vzhledem k západním měnám; špičkový magnetofon Philips bude stát asi 14 000 Kčs.

Od loňské výstavy se letošní liší především profesionálitou, celkovým uspořádáním. Je to dáné hlavně tím, že na organizaci se značnou měrou podílí agentura Made in (publicity), která má s podniky tohoto druhu bohaté zkušenosti. Kromě toho již také umístění výstavy přímo v centru Prahy zdůrazňuje její význam a shledně ji proto jistě podstatně více lidí než loni. Pokud jde o vystavované exponáty, liší se obě výstavy v tom, že letos některé známé západoevropské firmy nemají vlastní stánky, ale vystavují prostřednictvím Čs. Hi-Fi klubu ve společné expozici.

Které z československých a zahraničních exponátů považujete za nejzajímavější?

Na to sice rád odpovím, je to ovšem jen můj subjektivní názor. Z československých exponátů mě velmi mire překvapil stánek Tesly Bratislava. Některé z jejich výrobků, např. plynule laditelný tuner pro obě pásmá rozhlasu VKV, stereofonní zesilovač, hudební skřín i některé další dosahují i po vzhledové stránce dobrého evropského standardu. Je vidět, že Tesla Bratislava si zřejmě vzala k srdci mnoho kritik na její adresu a bude se snažit udržet krok s ostatními výrobci. Nejvíce mě tedy zaujalo zařízení pro poslech VKV, tuner a stereo-



fonní zesilovač umístěný na nízkém stole (viz II. str. obálky - pozn. red.). Bude v prodeji asi ve druhém čtvrtletí příštího roku a má stát kolem 7 000 Kčs.

Ze zahraničních výrobků mne nejvíce zaujalo a upoutalo reprodukční zařízení americké firmy Fisher. Jistě není pro někoho novinkou, že tato firma vyrábí skutečně špičková zařízení v tomto oboru. Podle mého názoru by např. její reprodukční skříně nenašly po akustické stránce na výstavě konkurenici.

V souvislosti s nedostatkem kvalitních přístrojů na našem trhu jste mluvil o rozprodání exponátů našim zájemcům. Mohli byste o tom říci něco bližšího?

Letos se poprvé našel podnik, který se uvolil vzít na sebe obtíže s tímto krokem spojené. Jsou to Domácí potřeby, které koupily všechny výrobky vystavované v samostatných expozicích a budou je prodávat jednak za tužexové bony, ale i za korunu, pokud nebude dostatek zájemců s devizami nebo bony, což je z hospodářského hlediska pochopitelné. Druhou část výrobků, které jsou vystavovány ve společné expozici prostřednictvím Čs. Hi-Fi klubu, bude rozprodávat Čs. Hi-Fi klub, a to většinou jen za korunu. Přestože se samozřejmě nedostane na všechny zájemce, je to první krok k zajistění možnosti opatřit si špičkové nebo alespoň velmi dobré zařízení pro reprodukování hudby, a věříme, že se možnosti příští rok opět rozšíří.

Tím ještě se dotkl další otázky. Budete pořádat výstavu i v příštím roce a ve stejně podobě?

To ještě nemohu říci určitě. Závisí to jistě také na ekonomických podmínkách, tj. na tom, jakým hospodářským výsledkem skončí letošní výstava. Rádi bychom však z našich výstav udělali tradici, pořádali je každý rok a jejich prostřednictvím se snažili neustále přispívat ke zlepšení československé úrovně v tomto oboru.

Nyní bychom položili druhou část úvodní otázky. Výstavu pořádá spolu s agenturou Made in (publicity) a redakcí časopisu Hudba a zvuk také Československý Hi-Fi klub. Protože jde o organizaci poměrně mladou, bylo by dobré, kdybyste ji čtenářům stručně představil.

Přestože jde o organizaci po právní stránce velmi mladou – existuje vlastně od letošního jara – rodila se již od začá-

VÝSLEDKY KONKURSU NA NEJLEPŠÍ AMATÉRSKÉ KONSTRUKCE

V AR 11/68 vyhlásily redakce Amatérského radia a Radiového konstruktéra ve spolupráci s ředitelem Obchodního podniku Tesla konkurs na nejlepší radioamatérské konstrukce. Do 31. března 1969, kdy byla uzávěrka konkursu, došlo do redakce AR 25 příspěvků (jeden byl vrácen, protože nesplňoval podmínky konkursu) a dnes můžeme čtenáře seznámit s výsledky. Ještě předtím však považujeme za svou povinnost vysvětlit, jak se k této výsledkům dospele a jakým řízením jednotlivé exponaty prošly.

ku hnuti Hi-fi u nás, tj. asi od roku 1960. Prvním jejím předchůdcem byl pražský Klub elektroakustiky, který si vytkl úkol sdružovat pražské zájemce o elektroakustiku a techniku Hi-fi a pomáhat jim po technické stránce. Začal vyvíjet a vyrábět kvalitní gramofonová šasi, zesilovače, tunery apod. V současné době je vybaven velmi dobrým výrobním zařízením a zabývá se výrobou mnoha úzkoprofilových výrobků z oblasti nízkofrekvenční techniky. Z podnětu Klubu elektroakustiky a prakticky s jeho členskou základnou začal loni fungovat připravný výbor Čs. Hi-fi klubu. Během jednoho roku činnosti připravil všechny podklady pro ustavení organizace, která má nyní asi 10 000 členů. Československý Hi-fi klub má jako federální organizace dvě složky: Český Hi-fi klub a Slovenský Hi-fi klub. Jejich spolupráce se zatím rozvíjí velmi slabě a bez nesnází, které vznikaly v jiných technických organizacích.

Cílem Čs. Hi-fi klubu se může stát každý zájemce, který pošle přihlášku a zaplatí členský příspěvek 12 Kčs na rok. Čs. Hi-fi klub zajišťuje pro své členy formou súbskripce gramofony, přenosková raménka, vložky a gramofonové desky, které vydává ve spolupráci s oběma hudebními nakladatelstvími, Pan-tonem i Supraphonem. Prostřednictvím časopisu Hudba a zvuk a relací v rozhlasu seznamuje členy s novinkami v oboru Hi-fi techniky, pomáhá jim při stavbě reprodukčních zařízení atd. O Čs. Hi-Fi klubu by se dalo jistě říci mnohem více, ale i z tohoto stručného „představení“ si snad čtenáři vašeho časopisu udělají alespoň základní představu o této organizaci.

Děkujeme za rozhovor a věříme, že jsme se nesetkali naposledy. Vaši výstavě přejeme mnoho zdaru a těšíme se na shledanou na Hi-Fi EXPO 1970.

* * *

Přesto, že v souvislosti s rozvojem magnetofonové techniky se množí výrobci gramofonových desek obávali poklesu prodeje desek, skutečnost ukázala pravý opak – v NSR se za rok 1968 prodalo na vnitřním trhu o 20 % více desek než v roce 1967 (z toho o 37 % desek o průměru 30 cm a o 17 % tzv. „singlů“). Zisk z prodeje desek se také zvýšil (asi o 20 %) a dosáhl téměř 0,5 miliard marek.

–chá–

* * *

Od 1. října letošního roku bude západoněmecká televize vysílat kromě jiných pořadů pro barevnou televizi denní zprávy (Tagesschau) a sportovní přehled v barvě. I když to přináší některé obtíže (potřeba lepšího osvětlení scén aj.), má tento plán plnou podporu předních výrobců televizorů a vedení televizních společností.

–chá–

* * *

Jugoslávští montéři postaví dva nové vysílače pro střední vlny s výkonom 50 kW na Ceylonu. Zařízení dodá NSR v rámci pomoci rozvojovým zemím. Zajímavé je i to, že stejná jugoslávská firma stavěla nové středovlnné vysílače v NSR (Dillberg u Norimberka a Ismaning u Mnichova).

–chá–

Všechny příspěvky roztrídili předběžně do jednotlivých kategorií podle podmínek konkursu ředitel Obchodního podniku Tesla K. Donát. Redakční rada toto rozdělení schválila a uložila svým jednotlivým členům podle jejich odbornosti prostudovat dokumentaci jednotlivých konstrukcí a předložit písemné hodnocení. Na této odborné expertizě se podílelo jedenáct členů redakční rady. Redakční rada také rozhodla ustavit komisi, která by posudky vyhodnotila a navrhla rozdělení cen. V této komisi začal upovali n. p. Tesla K. Donát, ing. J. Kliká a ing. J. Vackář, CSc, redakci AR a RK ředitel Obchodního podniku Tesla K. Smolík, J. Ženíšek a ing. A. Lavante.

Všechny konstrukce navržené touto komisí k odměnění byly od autorů vyzádány, aby mohly být podrobeny důkladným funkčním zkouškám. Tímto prověřením exponátů pověřil technický náměstek ředitele Obchodního podniku Tesla odbornou laboratoř Tesla. Výsledky zkoušek ukázaly, že všechny konstrukce odpovídají udávaným parametrům.

Teprve po tomto řízení přistoupila komise k definitivnímu návrhu na udělení cen. Pro malý počet příspěvků v některých kategoriích rozhodla sloučit v I. kategorii skupinu a) a b) a také nedělit některé ceny a rozdělit stanovenou částku jinak.

Na návrh komise schválila pak redakční rada na svém zasedání tyto výsledky konkursu:

I. KATEGORIE

(skupina začátečníků a mírně pokročilých sloučeny)

1. cena – nebyla udělena.

2. cena – poukázka na zboží v hodnotě 1 000 Kčs (zboží podle vlastního výběru v prodejnách Tesla):

Emil Dvořák, Pardubice (automatika), Oldřich Habada, Černínsko, okr. Strakonice (elektronický blesk s automatikou).

3. cena – poukázka v hodnotě 500 Kčs: Miroslav Chudoba, Olomouc (měřicí odporů a kapacit).

Uznání: Jiří Sigmund, Praha (stabilizátor) – poukázka v hodnotě 400 Kčs, Jar. Lahodný, Praha (zesilovač) – poukázka v hodnotě 300 Kčs, ing. František Lenoch, Praha (elektronkový voltmetr) – poukázka v hodnotě 200 Kčs.

II. KATEGORIE

1. cena – 2 000 Kčs v hotovosti:

ing. Oldřich Hanuš, Praha (konvertor na 145 MHz).

2. cena – poukázka v hodnotě 1 500 Kčs:

Jar. Sekretář, Praha (nf zesilovač).

3. cena – poukázka v hodnotě 1 000 Kčs:

Silván Frýbert, Mor. Třebová (stabilizovaný zdroj).

Uznání: Miroslav Tomek, Praha (měřicí přístroj) – poukázka v hodnotě 500 Kčs.

III. KATEGORIE

1. cena – 3 000 Kčs v hotovosti:

Jozef Teško, Blatná, okr. Strakonice (tranzistorový akordoneon).

2. cena – poukázka v hodnotě 2 500 Kčs:

ing. Lad. Kryška a Jiří Zuska, Praha (tranzistorový osciloskop).

3. cena – poukázka v hodnotě 2 000 Kčs:

Rudolf Majerník, Tlmače, okr. Levice (přijímač VKV), Václav Otýš, Plzeň-Karlov (tranzistorový osciloskop).

Uznání: Miroslav Skoták, Šumperk (tranzistorový hudební nástroj) – 1 000 Kčs v hotovosti,

Pavel Vondráček, Ústí n. L. (tranzistorový stabilizovaný zdroj) – 1 000 Kčs v hotovosti, Vladimír Vachek, Praha (univerzální měřicí přístroj) – poukázka v hodnotě 500 Kčs.

S některými odměněnými konstrukcemi se můžete seznámit na 3. str. obálky (jejich výběr byl dělán ještě před vyhodnocením konkursu), stavební návod na tranzistorový osciloskop ing. L. Kryšky a J. Zusky (2. cena ve třetí kategorii) najdete na str. 249. Redakce AR si vyměnila právo uveřejnit všechny příspěvky zaslávané do konkursu a bude je postupně zařazovat pod titulem „Konstrukce k konkursu AR-Tesla“. Kromě toho požádá Obchodní podnik Tesla některé autory o zhodení podrobných podkladů potřebných pro vydání stavebnic, popř. o doplnění dokumentace pro případné zhodení některých přístrojů pro laboratoře a pracoviště Obchodního podniku Tesla.

Čtyřicet let, co se pamatuji, se podepisoval značkou Fa. Teprve jako šéfredaktor Amáterského radia jsem zjistil, že je vlastně „šimkolega“, protože již v roce 1923, tj. téměř před půl stoletím, vydal ve dvou vydáních knihu Radiopraktikum, později vydával časopis Radiolabotář a stavební plánky, jak to děláme dnes v Rádirovém konstruktérstvu. Z nich nejpoužívanější byla brožurka Radiotelefon za 50 Kč, která dosáhla devíti vydání a velmi podstatným způsobem přispěla k rozvoji radiotechniky a příjmu rozhlasu u nás. V tehdejší době totiž existovaly jen dovezené přímozesilující přijímače, které se prodávaly „bratru“ za 5 000 Kč. Je možné dnes snadno zjistit, že tisíce a možná deseti tisíce posluchačů rozhlasu slyšelo poprvé signál rádiových stanic právě díky brožuře Radiotelefon za 50 Kč. Aby potom vše nepřestalo pokračovat ve své popularizační práci v oboru radiotechniky a elektroniky. Jako zkušený fyzik napsal Moderní fyziku, která byla dlouhá léta učebnicí pro pokračování a vysoké školy. Radu let jsem s ním spolupracoval u různých časopisů, nejvíce ve Vědě a technice mládeži, kdy zásoboval redakci nejnovějšími informacemi, ať už byly v ruském, anglickém, francouzském, španělském nebo italském originále. Přesto se ve dnech osmdesátých narozenin Rudolfa Fauknera našlo jen několik jednotlivců, kteří si vzpomněli na tohoto nestora československé radiotechniky a přišli alespoň blahopřát. Naše redakce navrhla při této příležitosti ÚV Svazarmu, aby mu udělil zlatý odznak Za obětavou práci, který mu južněm ÚV Svazarmu předal Karel Krbec, OK1ANK.



sáhla devítá vydání a velmi podstatným způsobem přispěla k rozvoji radiotechniky a příjmu rozhlasu u nás. V tehdejší době totiž existovaly jen dovezené přímozesilující přijímače, které se prodávaly „bratru“ za 5 000 Kč. Je možné dnes snadno zjistit, že tisíce a možná deseti tisíce posluchačů rozhlasu slyšelo poprvé signál rádiových stanic právě díky brožuře Radiotelefon za 50 Kč. Aby potom vše nepřestalo pokračovat ve své popularizační práci v oboru radiotechniky a elektroniky. Jako zkušený fyzik napsal Moderní fyziku, která byla dlouhá léta učebnicí pro pokračování a vysoké školy. Radu let jsem s ním spolupracoval u různých časopisů, nejvíce ve Vědě a technice mládeži, kdy zásoboval redakci nejnovějšími informacemi, ať už byly v ruském, anglickém, francouzském, španělském nebo italském originále. Přesto se ve dnech osmdesátých narozenin Rudolfa Fauknera našlo jen několik jednotlivců, kteří si vzpomněli na tohoto nestora československé radiotechniky a přišli alespoň blahopřát. Naše redakce navrhla při této příležitosti ÚV Svazarmu, aby mu udělil zlatý odznak Za obětavou práci, který mu južněm ÚV Svazarmu předal Karel Krbec, OK1ANK.

-asf-

Několik poznámek ke konferenci o aktivních polovodičových prvcích

Z podnětu Tesly Rožnov bylá – stejně jako v minulých letech – uspořádána v Rožnově pod Radhoštěm konference se zaměřením zhodnotit dosažené výsledky a ukázat hlavní směry rozvoje aktivních součástek pro elektroniku v n. p. Tesla Rožnov.

V úvodním projevu vzpomněl ředitel Tesly Rožnov ing. Kněbl letošního dvacátého výročí trvání závodu. Z jeho projevu stojí za pověsimnutí zvláště podnikatelský záměr Tesly Rožnov, který má zlepšit situaci v dostupnosti a odbytu polovodičových prvků. Pomoci krátkodobých úvěrů nebo úlev se mají vytvořit předpoklady pro zvětšení sériovosti výroby při současném snížení výrobních nákladů. To by umožnilo snížit i prodejní cenu, takže by se zvýšil zájem spotřebitelů o používání monolitických obvodů, tranzistorů, diod a dalších polovodičových součástek. Očekává se, že tato opatření se uplatní nejdéle do dvou let.

Velký zájem vzbudily i referáty o vývoji polovodičových součástek v zahraničí. Za Teslu Rožnov uvedl zajímavé údaje ing. Maceček, který se zabýval rozvojem vývoje a výrobou tranzistorů a monolitických obvodů. O situaci v oblasti diod, tristorů a některých speciálních součástek hovořil ing. Michalko z výrobního závodu Piešťany, o výhledu Tesly Rožnov prodlužoval období ing. Maceček. V jeho zprávě byly shrnutý výsledky technicko-ekonomického průzkumu u zákazníků (tyto průzkumy používá Tesla Rožnov k orientaci svého zaměření ve výhledových plánech) a také poznatky z vývoje a výroby progresivních polovodičových součástek v zahraničí, jimž se závod snaží korigovat požadavky domácího trhu tak, aby jeho výroba a nabídka byly pokud možno v souladu se světovými trendy vývoje polovodičových prvků. Ze součástek, které jsou v pokročilém stadiu výzkumu nebo vývoje, jmenujeme alespoň typovou řadu číslicových monolitických obvodů (obdoba řady SN74 firmy Texas Instru-

ments), řadu operačních zesilovačů (obdoba řady μA709 firmy Fairchild), řadu vysokofrekvenčních zesilovačů (obdoba typů CA3005, CA3006, CA30013 a CA30014 firmy RCA), v řadu planární tranzistorů s vodivostí typu $p-n-p$ KF516, KF517 a KF518, v řadu planární tranzistorů pro IV. a V. televizního pásmo s mezním kmitočtem $f_T = 1 \text{ GHz}$ a rozsáhlou řadu kremíkových tranzistorů pro průmyslové použití.

Samostatnou částí konference byly odborné přednášky o výzkumu nových polovodičových součástek. Většina měla velmi dobrou odbornou úroveň a přiblížila problematiku fyziky polovodičů, technologie a často i aplikace nových součástek širokému okruhu posluchačů z řad spotřebitelů.

Další důležitou částí konference byla diskuse, v níž vystoupili zástupci závodů a institucí, které používají součástky Tesly Rožnov. Často byly ze strany těchto zákazníků vyslovovány požadavky na rozšíření sortimentu polovodičových součástek, které však v Tesle Rožnov – především z ekonomických důvodů – není možné. Na druhé straně je však třeba chápát potřebu finálních výrobců elektronických přístrojů a zařízení mít k dispozici takové součástky, které nejlépe vyhovují danému účelu. Oprávněně bylo i volání po zlepšení publikací činnosti Tesly Rožnov, které bylo již několikrát přislíbeno. Současná praxe v tomto oboru, který by měl být nedilnou součástí výrobní činnosti každého závodu, je taková, že vybavení katalogů (pokud jsou vůbec k dispozici) je podstatně skoupější na číslové i jiné údaje, než jak je běžné v zahraničí.

Ná konferenci se také hovořilo o otázkách spolehlivosti a jejího zaručení vý-

robem. Dále byl vysoven požadavek na urychlené vypracování norem na názvosloví a schematické značení monolitických číslicových a lineárních obvodů (a nejen těch – objevují se nové prvky, např. tranzistory FET, UJT atd. a prakticky v každé zemi se jejich schematické značky kreslí jinak; k tomuto tématu se vrátíme v některém z příštích čísel AR – pozn. red.).

Závěrem je možné říci, že v posledních dvoù až třech letech došlo v Tesle Rožnov k zásadnímu obratu v úrovni i tempu technického rozvoje, především v oblasti výzkumu, vývoje a výroby kremíkových planárních tranzistorů a monolitických obvodů. Pokud se tedy uskuteční všechny plány Tesly Rožnov, lze očekávat, že tento podnik významně přispěje k rozvoji čs. elektroniky.

J. Z.

Cím lze nahradit elektronku EBL1 a jaké budou potřebné úpravy obvodu této elektronky? (P. Bolek, Karviná).

Elektronku EBL1 lze nahradit elektronkou EBL21. Úpravy obvodu by mohly být (podle zapojení) zcela minimální. Podstatné např. je, že elektronka EBL21 má proti elektronce EBL1 menší pracovní odpor ($5,7 \text{ k}\Omega$), což znamená vyměnit výstupní transformátor. Kromě jiného má elektronka EBL21 i větší dovolenou ztrátu (11 W proti 9 W u EBL1). Ostatné změny vyplynou ze způsobu zapojení (zesilovač třídy A, AB apod.).

Kde lze získat jednotlivá čísla zahraničních časopisů, jejichž obsahy uvádíte v AR? Jaké údaje má výstupní transformátor z VKP050? (M. Pluháček, Praha 10).

Distribuci všech časopisů má na starosti Poštovní novinová služba; je možné platit se i v Středisku technické literatury, Praha 1, Spálená 51, kde bylo možné objednávat zahraniční knížky i časopiseckou produkci.

Výstupní transformátor z VKP050 má impedanci sekundární vinutí 8Ω ; sekundární vinutí je rozděleno na dvě části, z nichž jedna se používá pro obvod zpětné vazby. Primární vinutí je uzpůsobeno jako pracovní odpór pro tranzistor GC507. Jiné údaje bohužel neznamé.

Jak se změní indukčnost feritové antény, navinuté její cívku lankem $10 \times 0,05 \text{ mm}$ místo $20 \times 0,05 \text{ mm}$? (J. Šimonek, Písek).

Indukčnost feritové antény se při použití tenčího lanka zmenší; o kolik, to závisí na druhu feritového materiálu, počtu závitů a provedení cívky. Cívku feritové antény lze však navinout i drátem, není třeba používat vln lanko. Rozdíly v jakosti antény jsou zcela nepatrné. Průměr lanku $10 \times 0,05 \text{ mm}$ odpovídá dráti o $\varnothing 0,15 \text{ mm}$, lanku $20 \times 0,05 \text{ mm}$ dráti o $\varnothing 0,22 \text{ mm}$. Nejlepší náhradou je drát s lakovou izolací, opředený hedvábím – opředení však není podmínkou.

Z kusých informací se dovidám, že existuje zařízení, jímž lze zkrátit, popř. prodloužit, zvukový záznam hudby nebo slova, aníž by tím byl narušen původní kmitočet zvuku. Můžete mi vysvětlit podstatu tohoto systému? (M. Bolek, Ostrava).

Velmi stručně lze o tomto systému říci: podstatou je, že jako snímací hlava slouží čtvrtice rotujících hlav, které se při zpomalení posuvu pásku otáčejí o tutéž časovou diferenci vzad, takže absolutní výška tónu zůstává zachována. Záznam se tím jasní prodlužuje. Při zrychlení posuvu pásku rotují hlavy o tutéž časovou diferenci vpřed, takže absolutní výška tónu zůstává opět zachována. Ze záznamu se tedy vlastně „vyskávají“ kratické časové úseky, celková doba záznamu se zkracuje.

Jaké zapojení patice má integrovaný obvod MAA125? (B. Kula, Nehvizdy).

Zapojení a všechny ostatní údaje našich integrovaných obvodů byly během minulého a letošního roku uveřejněny v AR již několikrát. Na poslední v AR 5/69 na str. 170.

**Ctenáři
se
ptají**

Checi by somi si dostavať rozsah VKV k prijímaču Melodic 2. Bolo by možné použiť niektorý z predávaných vstupných dielov? (J. Ondra, B. Bystrica).

Pro prijíem VKV na běžných rozhlasových přijímačích s rozsahy KV, SV a DV je třeba kromě vstupního ladidla dílu zkonztruovat nebo si jinak upatřit i mř zesilovač, neboť prodlávané vstupní díly VKV mají výstup pro 10,7 MHz, zatímco běžné přijímače mají mř obvykle kolem 450 kHz; také detektor amplitudové modulovaných a kmitočtové modulovaných signálů se od sebe zásadně liší. Z běžného přijímače lze tedy pro příjem VKV použít jen mř zesilovač.

Mám magnetofon B41 a chtěl bych jej předělat na čtyřstopý. Jak bych měl postupovat? (J. Krochot, Děčín).

Magnetofon B41 lze samozřejmě předělat na čtyřstopý, je to však podle našeho názoru zbytečné, neboť v tomtéž provedení jako B41 je i typ B42, který je upraven pro čtyřstopý provoz – takže by asi bylo lepší B41 prodat a koupit B42, neboť bezkušenosti a měřicích přístrojů je výsledek přestavby problematický (nehledě na ztrátu času).

Protože redakce dostává neustále dotazy na úpravu textu článků, obrázků a fotografií pro uveřejnění v tisku, uvádime přehled požadavky, jejichž splnění je předpokladem pro příjem rukopisu redakci:

- text článku – zásadně musí být psán strojem po jedné straně listu formátu A4, ob rádku (tj. na stránce 30 rádků), v jednom rádku průměrně 60 úhůz (včetně mezer). Je třeba dodržovat především počet rádků na stránce;
- obrázky – nejlépe tužkou, raději větší, čitelný popis. Při kreslení schematických značek dodržovat čs. normu pro kreslení elektrotechnických značek ve schématech;
- fotografie – kontrastní, nejvhodnější je formát 13 × 18 cm, leštěné. Je vhodné přiložit k rukopisu i negativy fotografii, urychlit to zpracování rukopisu.

Protože v poslední době se v schématech objevují nové součástky, u nichž se dosud nedosáhlo jednotnosti v kreslení schematických značek, dohoda se redakce s předním právnickým v tomto oboru ing. Tučkem, že s jeho pomocí vypracuje a uveřejní souhrnný přehled schematických značek, podle nížhož se budou v AR jednotně označovat všechny (a především nové) elektrotechnické součástky (tranzistory MOSFET, UJT, tunelové i jiné diody atd.). Přehled uveřejníme v některém z příštích čísel AR.

Změny prodejních cen radiosoučástek

Změny malobchodnících cen k 14. 5. 1969 postihly v sortimentu radiosoučástek reproduktory z výroby Tesly Valašské Meziříčí a výrobky družstva Cyklos-Urbanice (dříve Jiskra).

Nové ceny

Reproduktoře pro kapesní, pohlednicové a kabelkové přijímače:

ARZ 087	63,—	ARZ 388	48,—
ARZ 097	65,—	ARZ 384	49,—
ARZ 085	56,—	ARZ 341	60,—
ARZ 081	48,—	ARZ 381	59,—

Vysokotónové reproduktory:

ARV 081	48,—
ARV 261	59,—
ART 481	250,—

Hlubokotonové reproduktory:

ARZ 369	92,—	ARO 932	1 100,—
ARZ 669	94,—	ARO 942	1 100,—
ARO 814	385,—		
ARO 835	420,—		

Reproduktoře typizovaných rozměrů:

ARO 389	49,—	ARE 367	50,—
ARO 367	49,—	ARE 489	50,—
ARO 589	52,—	ARE 467	50,—
ARO 567	52,—	ARE 589	52,—
ARO 689	70,—	ARE 567	52,—
ARO 667	75,—	ARE 689	72,—
		ARE 667	50,—

Další součástky:

Krokosvorka neizolovaná	1,80
Krokosvorka izolovaná	3,60
Zdiřka izolovaná	—,80

Transformátory ST63

ST64 67,—

VT36 73,—

VT37 20,—

VT38 20,—

BT38 22,—

BT39 24,—

VT39 20,—

BT39 26,—

Kondenzátory ZK56

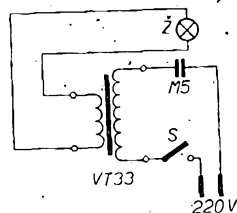
ZK58 15,—

 30,—

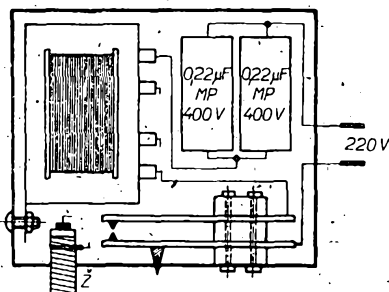
? Jak na to AR'69

Síťový zapalovač plynu

V 'AR 1/69. byl uveřejněn návod L. Hlaváče na poloautomatický zapalovač plynu. Jako vhodný transformátor doporučoval autor výstupní transformátor VT34. V obchodech měli na skladě jen VT33 pro bateriové elektronky za 11,— Kčs.



Z popisu jsem se dovíděl, že vinutí je v poměru 40:1 a povolený trvalý maximální proud primární vinutí 10 mA. Údaje o počtech závitů a tloušťce vodičů udány nebyly. Přesto jsem se rozhodl plynový zapalovač s tímto transformátorem bez změn vinutí zhotovit. Schéma L. Hlaváče jsem pozměnil v tom, že jsem do síťového přívodu zařadil dva kondenzátory 0,22 µF, MP/400 V paralelně (nesehnal jsem kondenzátor M5) a spínač dal jen do jedné větve (obr. 1).

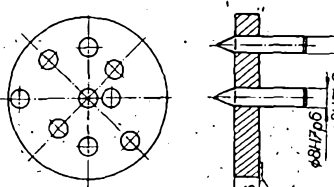


Všechno se vešlo do krabičky od manžetových knoflíčků (obr. 2) o rozměrech 8,5 × 6 × 3 cm (při použití jen jednoho kondenzátoru by stačil i menší obal). Zapojení splnilo očekávání a pracuje na prostě spolehlivě.

V. Indrák

Přípravek pro vrtání děr

Při stavbě elektronických přístrojů se často vyskytuje při výrobě sasi nebo upevňovacích panelů potřeba vrtat díry v určité rozteči. Pokud nemáme vhodné a dostatečně přesné nástroje k orýsování, nepovede se vždy vyvrtnout otvory dostatečně přesně a musí se dodatečně doplňovat. K této práci se vyplatí pořídit si jednoduchý přípravek – vícenásobný důlčík. Je to v podstatě tlustší ocelová destička s přesně předvrtnými otvory



a dva důlčíky, které do těchto otvorů lícují (viz obrázek). Jeden důlčík je nalisován ve středním otvoru, druhý je výměnný a nasouvá se do ostatních otvorů podle potřeby. Jde ve většině případů např. o rozteč zdiřek 19 mm, rozteč připevňovacích otvorů tranzistoru 23 a 30 mm, rozteč připevňovacích otvorů patic elektronek 28,5 mm nebo u přepínačů 40 mm.

B. Dáňa

Koncová elektronka rádkového rozkladu způsobilá vodorovným pruhem

Do opravny byl dán televizní přijímač s tímto popisem závady: vodorovný pruh na obrazovce (sražený obraz). V opravě se závada projevila teprve po několika „dnech“ zkušebního provozu. Ihned byla vyměněna koncová elektronka snímkového rozkladu PCL85. Chyba se zdála být odstraněna, ale po dalším zkušebním provozu se obraz opět krátkodobě „srazil“ do úzkého vodorovného pruhu. Chyba se projevovala tak krátce, že měření napětí nebylo možné. Poklepáním nebo ofukováním teplým vzduchem nebylo možné chybu najít. Po bezvýsledném přezkoušení kondenzátoru, odporu a transformátoru ve snímkovém vychylovacím obvodu tedy nezbývalo, než připojit k některým místům voltmetr a čekat, až se závada projeví. Tak se ukázalo, že katodové napětí koncové elektronky snímkového rozkladu stupně se změnilo ze 17 V na 2 V. Přitom se napětí na stínici mřížce nezměnilo a anodové napětí se změnilo jen nepatrně.

Podezření na přerušení připoje ke stínici mřížce v objímce elektronky se nepotvrdilo. Závada mohla tedy spočívat ve velkém záporném předpěti řídící mřížky, které uzavíralo koncovou elektronku. A skutečně, jakmile se chyba opět objevila, bylo zde naměřeno napětí —75 V. Proto opravář obrátil pozornost na rádkový koncový stupeň, který řídil z rádkového vnitřního transformátoru změnu mřížkového předpěti také amplitudu signálu.

Silným poklepem na koncovou elektronku rádkového rozkladu se ukázalo, že elektronka PL500 způsobovala tuto závadu. Jemným zkratem mřížky proti katodě měla řídící mřížka při vyvolané chybě napětí —40 V místo správného napětí —60 V (podle schématu). Tím se posunul pracovní bod elektronky PL500, její zesílení se zvětšilo a tím se změnila i velikost impulsu rádkového zpětného běhu a také odtud vznikajícího záporného řídícího napětí z —50 V v normálním stavu na —150 V. Tato příčina způsobovala změnu mřížkového předpěti koncové elektronky snímkového rozkladu stupně, její zablokování a popsanou závadu. Po výměně elektronky PL500 pracoval přijímač opět bezvadně.

Funkschau 23/1967

Sž

PŘIPRAVUJEME PRO VÁS

Přijímač pro VKV

Elektronický blesk s automatikou

Nové součástky

Fototyristory KP500 až 504

Použití. – Polovodičové prvky Tesla KP500 až KP504 jsou křemíkové difúzně planární prvky typu p-n-p-n, vhodné k použití ve spinacích a řidicích obvodech využívajících světelného toku.

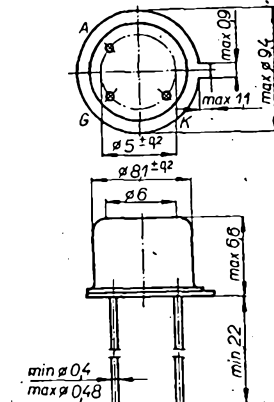
Provedení. – Systém je v kovovém pouzdro JEDEC TO-5 s třemi drátovými vývody. Vývod katody a řidicí elektrody je od pouzdra odizolován skleněnou průchodekou. Anodový vývod je vodivě spojen s pouzdrem. Na horní části pouzdra je natavena skleněná čočka, již se na systém tyristoru přivádí ovládání světelný signál (kóta Ø 6 na obrázku).

Mezní údaje

Přední napětí ve vypnutém stavu U_{FDmax} a špičkové závěrné napětí U_{Rmax} je pro KP500 25 V, KP501 50 V, KP502 100 V, KP503 200 V, KP504 300 V. Střední usměrněný proud pro všechny typy bez chladiče do teploty okolí 25 °C je 0,25 A, špičkový proud neperiodicky při době trvání max. 10 ms až 7 A. Maximální teplota přechodu +85 °C.

Výrobce: Tesla Rožnov.

KP500 až 504 a KT501 až 505



Rízené křemíkové usměrňovače 1 A

Použití. – Polovodičové prvky Tesla KT501 až KT505 jsou čtyřvrstvové difúzní tyristory, vhodné pro použití ve spinacích a řidicích obvodech s proudy do 1 A.

Provedení. – Systém je v kovovém pouzdu velikosti pouzdra tranzistoru OC170. Systém je izolován od pouzdra, vývody jsou drátové. Zapojení vývodů je na obrázku.

Charakteristické údaje

Typ	Spinaci napětí U_B0 [V]	Přední napětí ve vypnutém stavu U_{FD} [V] při I_{FD} [mA]	Přidržný proud I_H max [mA]
KT501	60	50	0,5
KT502	120	100	0,5
KT503	240	200	0,5
KT504	360	300	0,5
KT505	480	400	0,5

Maximální spínací proud řidící elektrody $I_{GT} \text{ max} = 10 \text{ mA}$ pro všechny typy.

Charakteristické údaje

Veličina	KP500	KP501	KP502	KP503	KP504
Spinaci napětí U_B0 [V]	≥ 30	> 60	≥ 120	> 240	> 360
Závěrné napětí $U_R(BE)$ [V]	≥ 30	≥ 60	≥ 120	≥ 240	≥ 360
Přední klidový proud I_{FD} [mA] při předním napěti U_{FD} [V]	≤ 0,5	≤ 0,5	≤ 0,5	≤ 0,5	≤ 0,5
Závěrný klidový proud I_{RD} [mA]	≤ 0,5	≤ 0,5	≤ 0,5	≤ 0,5	≤ 0,5
při záv. napěti U_{RD} [V]	25	50	100	200	300
Úbytek napětí v sepnutém stavu U_T [V]				≤ 1,7	
při proudu I_T [A]				0,7	
Spínací osvětlení E_1 [lx]				≤ 4 000	
při U_{FD} [V]				10	
a proudu I_G [mA]				0	
Spínací proud I_{GT} [mA]				0,8	
při předním napěti U_{FD} [V]				10	
Špičkový proud řidící elektrody I_{PGM} [mA]					≤ 100

Mezní údaje

Typ	Proud řidící elektrody		I_{PG} [mA]	U_{FD} [V]	Závěrné napětí U_R [V]
	I_T [A]	I_T imp. [A]			
KT501	1	15	100	50	50
KT502	1	15	100	100	100
KT503	1	15	100	200	200
KT504	1	15	100	300	300
KT505	1	15	100	400	400

Maximální úbytek napětí v sepnutém stavu $U_T \text{ max} = 1,7 \text{ V}$ pro všechny typy. Bez chlazení je $I_T \text{ max} = 0,4 \text{ A}$.

Cena: KT501 – 98,– Kčs, KT502 – 110,– Kčs, KT503 – 125,– Kčs, KT504 – 135,– Kčs, KT505 – 145,– Kčs.

Výrobce: Tesla Piešťany (Tesla Rožnov p. Radh.).

Křemíkové diody KYZ70 až KYZ79

Použití. – Polovodičové prvky Tesla KYZ70 až KYZ79 jsou určeny k usměrňování střídavých proudů do 20 A. Jsou to výkonové diody vyrobené difúzní technologií.

Provedení. – Systém diody je hermeticky uzavřen v kovovém pouzdro, se skleněnou průchodekou. Diody typu KYZ70 až KYZ74 mají anodu na pouzdro, katodový vývod je označen modře; diody KYZ75 až KYZ79 mají na pouzdro katodu a anodový vývod je označen červeně.

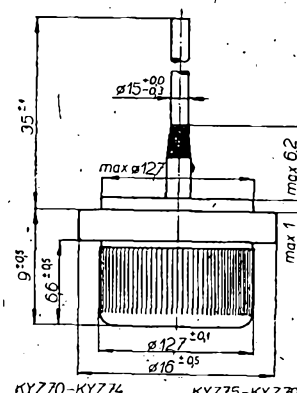
Mezní údaje

Typ	Závěrné napětí	
	provozní U_{KA} [V]	špičkové ($f \geq 20 \text{ Hz}$) U_{KAM} [V]
KYZ70, KYZ75	45	50
KYZ71, KYZ76	90	100
KYZ72, KYZ77	180	200
KYZ73, KYZ78	280	300
KYZ74, KYZ79	360	400

Usměrněný proud $I_0 = \text{max. } 20 \text{ A}$ bez chlazení a při $T_a = 40^\circ\text{C}$ 4 A. Ztrátový výkon $P_0 = \text{max. } 24 \text{ W}$. Teplota okolí $T_a = \text{max. } -55 \text{ až } +155^\circ\text{C}$.

Charakteristické údaje

Napětí $U_{AK} < 1,1 \text{ V}$ při proudu $I_{AK} = 20 \text{ A}$. Závěrný proud $I_{KA} < 100 \mu\text{A}$ při napěti $U_{KA} = 50 \text{ V}$ (KYZ70, KYZ75), 100 V (KYZ71, KYZ76), 200 V (KYZ72, KYZ77), 300 V (KYZ73, KYZ78), 400 V (KYZ74, KYZ79).



* * *

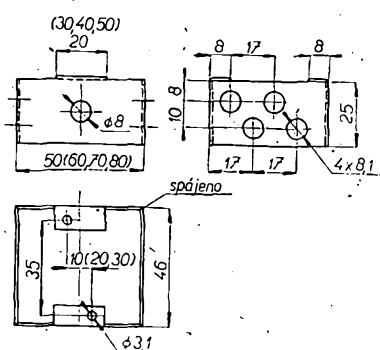
Mikrovlnný tranzistor Mullard 800BLY je prvním křemíkovým mikrovlnným prvkem n-p-n v Evropě. Odevezdá výstupní výkon 1 W na kmitočtu 2 GHz při napájecím napěti 28 V, budičím výkonu 0,32 W a účinnosti 30 %. Je vestavěn v pouzdro „stripline“ s páskovými vývody. Je vhodný k použití v mikrovlnných vysílačích, kde může pracovat jako oscilátor nebo zesilovač výkonu při buzení harmonických generátorů s varaktory. Jeho mezní kmitočet je 1,5 GHz při napětí kolektoru 10 V a proudu 100 mA. **Mezní hodnoty:** napětí kolektor-emitor 55 V, emitor-báze 4 V, proud kolektoru 500 mA, ztrátový výkon 5 W při teplotě pouzdra 25 °C, 3 W při teplotě 75 °C, tepelný odpor 25 °C/W. Tranzistor pracuje v rozsahu teplot přechodu –55 až +150 °C.

STAVEBNICE mladého radioamatéra

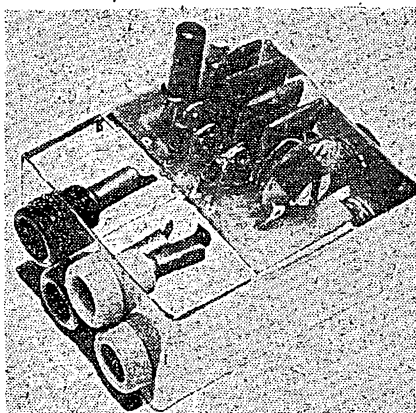
Jak jsme v minulém čísle slíbili, přinášíme dnes popis mechanické skladby modulů. První způsob je pokusný – pro využití různých přístrojů – a proto snadno rozbebatelný. Druhý způsob se hodí spíše pro hotové přístroje, lépe řečeno přístroje složené z modulů pro trvalé používání. Protože otázka zajištění výroby jednotlivých mechanických dílů není ještě zcela vyjasněna, byla zvolena konstrukce jednoduchá, z dostupného materiálu a nevyžadující žádné speciální nástroje – vystačíme se svěrákem, ručními nůžkami na plech, vrtačkou a pájeckou.

Mechanické uspořádání modulů pro pokusná zapojení

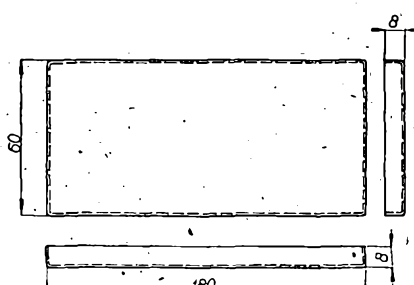
Při skládání jednoduchých zapojení z modulů se ukázalo, že pouhé propojení dráty a spojování pájením není ideálním řešením. Upozorňovali na to také někteří čtenáři a doporučovali montovat moduly do malých krabiček se zdírkami, aby se mohly propojovat kabliky s banánky. Navrhované řešení, které ještě v únosných měsících zachovává původní malé rozměry modulů, je na obr. 1.



Obr. 1.

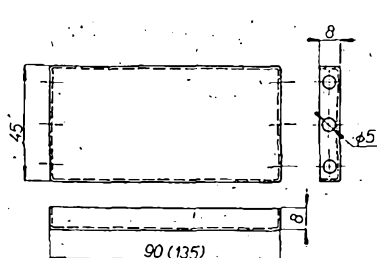


Obr. 2.

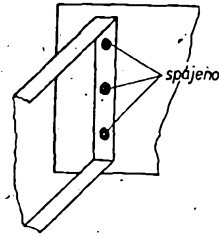


Obr. 3.

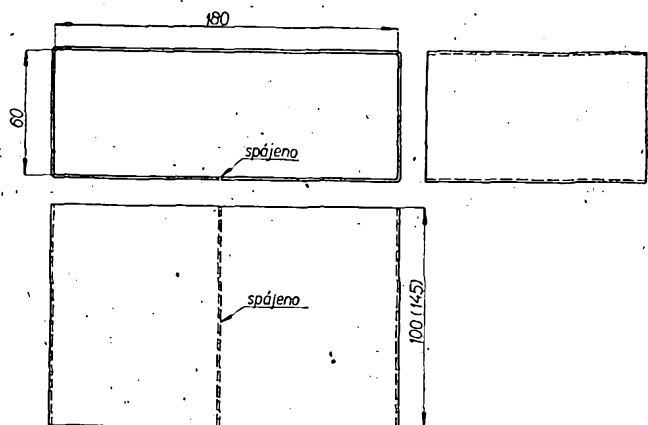
Je to jakási „ohrádka“ z plechu, na jejíž přehnute okraje se modul přišroubuje. V bočních stranách (kratších) jsou otvory se zdírkami, na které jsou připojeny všechny vývody modulu. V delších bočních stěnách lze v případě potřeby vyrát otvor pro uchycení potenciometru nebo jiného ovládacího prvku. „Ohrádka“ je z pocinovaného plechu. Má to několik výhod. Pocinovaný plech je běžně k dostání, má vzhledově poměrně pěkný povrch, v používané tloušťce (0,6 až 1 mm) se dá stříhat ručními nůžkami a snadno ohýbat ve svěráku. Jednou z největších výhod však je, že se dá bez obtíží pájet. Proto odpadne většina šroubových spojů. Popisovaný držák modulů má čtyři základní velikosti podle čtyř základních velikostí modulů. Nakreslite si jej v rozvinutém stavu na kus plechu, vyráte otvory (nejdřív, před stříháním), potom nůžkami vystříhněte, ve svěráku zohybáte a v jednom rohu pájeckou spájete. Je vhodné použít pájecku s výkonem kolem 100 W, uspokojivých výsledků však bylo dosaženo i s běžnou pistolovou pájeckou. Do vyvrtnutých otvorů zašroubujete zdírky, shora přišroubujete modul a jeho vývody propojíte na zdírky. Máte-li možnost, odlište jednotlivé vývody barvou zdírek. Tím je modul připraven k pokusům. Připojujeme jej ohebnými kabliky s banánky, pokud možno ne příliš dlouhými, aby nevznikly nezádoucí vazby. Vzhled takto postaveného modulů je na obr. 2.



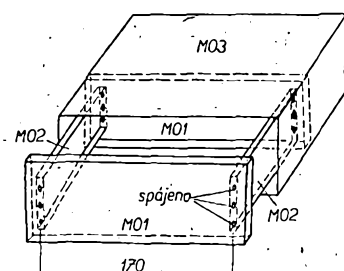
Obr. 4.



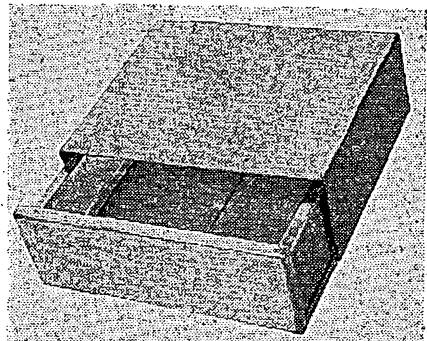
Obr. 5.



Obr. 6.



Obr. 7a.

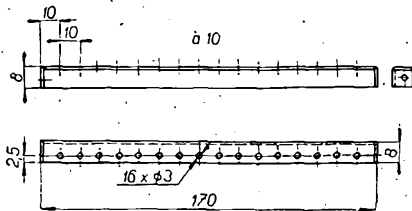


Obr. 7b.

Definitivní konstrukce přístrojů s moduly

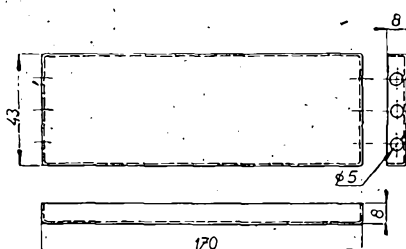
Skřínka

Přístroje, které mají sloužit delší dobu, je dobré umístit do skřínky. Skřínka, ježíž návrh uvádíme, je opět velmi jednoduchá a lze ji zhodnotit prakticky „na kolenně“. Skládá se z pěti částí. Přední a zadní panel jsou shodné a jsou z pocinovaného plechu ve tvaru mělké vaničky (obr. 3). Po ohnutí plech v rozích spájíme; tím získá panel větší tuhost. Tyto dva panely, přední a zadní, jsou navzájem spojeny dvěma podobnými „vaničkami“ (obr. 4). V kratších postranicích těchto bočnic jsou vyvrtnuté otvory o Ø asi 3 mm. Bočnice spojíme s panely tím, že je přiložíme kolmo na sebe a tam, kde



Obr. 8.

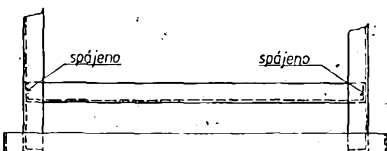
jsou otvory, je k sobě připájíme (obr. 5). Takové spojení je dostatečně pevné a snadno rozebíratelné. Kdo by přesto měl k tomuto způsobu nedůvěru, může díry vyvrátit i v obou panelech (stačí dvě) a díly sešroubovat. Celá tato sestava je zasunuta do dílu podle obr. 6. Je to jednoduchý kryt zhotovený z jednoho kusu a uprostřed dolní strany zevnitř spájený. Jeho výrobě je třeba věnovat dostatečnou péči a pracovat přesně, aby obě části šly na sebe nasunout lehce, ale také bez zbytečné vůlc (obr. 7).



Obr. 9.

Montáž modulů do skřínky

Moduly jsou připevněny do skřínky úhelníky (obr. 8). Zhotovime je opět z pociňovaného plechu a v rozích spájíme. Otvory mají rozteče 10 mm, takže na ně musí jít přišroubovat, kterýkoli z modulů. Kdo nechce šroubovat, může moduly za okraje připájet. Místo úhelníků lze použít širší pásky cuprextitu, které připájíme k bočnicím, popřípadě ještě vyleptáme a můžeme je použít přímo k propojování jednotlivých modulů. Pokud někdo použije skřínku k „zastřílení“ přístroje, který nestavěl z modulů, může celou destičku se součástkami zvolit tak velkou, aby šla připájet přímo mezi bočnice.



Obr. 10.

Skřínka je navržena ve dvou velikostech: pro jednu a pro dvě řady modulů (rozměry v závorkách).

V některých případech je nevhodné upevňovat ovládací prvky přímo na přední panel. V tom případě použijeme pomocný panel (obr. 9), který opět připájíme mezi bočnice (obr. 10).

Pojistková pouzdra, vstupní a výstupní konektory a ostatní podobné součásti se montují přímo na zadní panel skřínky.

Po vyvrácení všech otvorů můžete skřínku vyleštít a natřít bezbarvým lakem nebo nastríkat barevným lakem.

Horské slunce OZALUX

Jaroslav Špitálský

Přednosti umělého horského slunce snad není nutno zdůrazňovat. Svou jednoduchostí přímo vybízí k amatérskému zhotovení, mnohdy však amatér neví, jak do toho. Popsaný přístroj lze zhotovit v každé průměrně vybavené domácí dílně a jeho pořizovací cena nemusí přesahovat ani třetinu ceny na trhu prodávaného horského slunce.

Technické údaje

Provozní napětí: 220 V.

Celkový příkon: 130 VA.

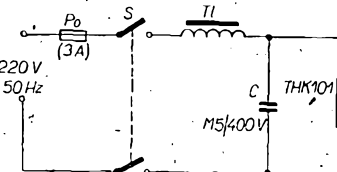
Výkon hořáku: 100 W.

Vyzářené světelné spektrum: 230 až 440 nm.

Časová kontrola: 0 až 60 min.

Popis zapojení

Zdrojem ultrafialového záření je rtuťový hořák THK101 přemostěný kondenzátorem 0,5 μ F a napájený přes omezovací tlumivku s indukčností 4 H.

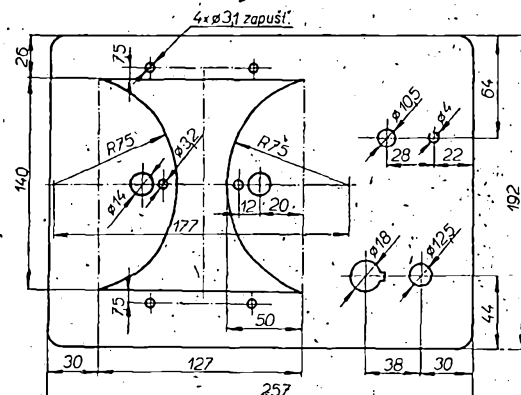


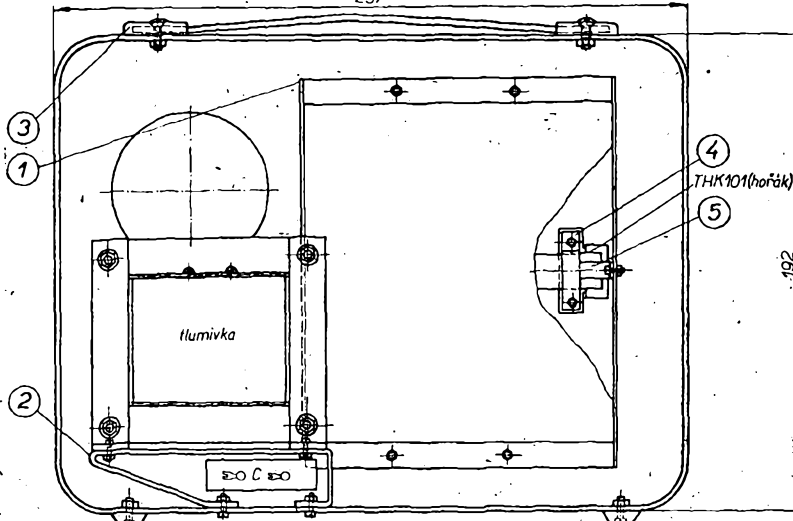
Obr. 1. Schéma zapojení horského slunce Ozalux

(obr. 1). Toto zapojení je hospodárnější ve srovnání s komerčně vyráběnými přístroji tohoto typu, které mají místo omezovací tlumivky k omezení proudu cinný odpor realizovaný infrazářiči (pro úsporu místa), takže téměř polovina příkonu se ztrácí ve formě tepelné energie. V našem přístroji je téměř všechna spotřebovaná energie vyzářena hořákem. Tuto výhodu však musíme zaplatit většími rozměry. Předpokládám však, že při běžném provozu v domácnosti to nebude na závadu.

Konstrukce

Jako skříňku jsem použil plechovou, továrně vyrobenou skříňku pro měřicí přístroje, kterou lze koupit v prodejně Radioamatér v Praze za 38,- Kčs. Kdo by ji však nesehnal, může použít po malé úpravě hliníkovou krabici na potraviny podobného tvaru, která je k dostání v každém železářství. Obě poloviny pouzdra snížíme lupenkovou pilkou na 20 mm a vložíme mezi ně plechový



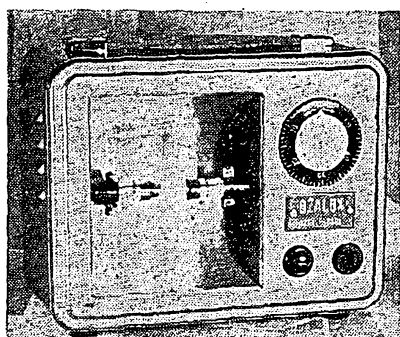


Obr. 4. Uspořádání součástí uvnitř skříně

plášť široký 100 mm. Přední (menší) díl k pláště přinýtujeme a zadní (větší) víko přišroubujeme šrouby do otvorů se závitem M3, vyříznutých v pláště. Čelo skříně upravíme podle obr. 2.

Za zmínu stojí otvor reflektoru. Při použití skřínky Tesla vyřízneme otvor podle obrázku 2 a podle čerchované čáry ohneme dovnitř skříně. Do čtyř otvorů o \varnothing 3,1 mm zapustíme zvenku šrouby M3 \times 10 se zapoústěcí hlavou, zalijeme címem a zapilujeme. Při použití skříně zhotovené druhým způsobem vyřízneme obdélníkový otvor a půlkruhové postranice přišroubujeme vždy dvěma šroubky k hliníkovému čelu ještě předtím, než přinýtujeme plášť. Do zadního víka vyvrátme větrací otvory.

Kování držadla (díl 3 na obr. 3) ohneme z mosazného plechu tloušťky 1 mm, v rozech spojíme a nabarvíme nebo vyleštíme. Jako držadlo použijeme kožený řemínek nebo pásek z pružného materiálu povlečený bužírkou. Držák tlumivky (díl 2) zhotovíme z plechu tloušťky 1 mm (obr. 4), díry o \varnothing 4,1 mm vrtáme podle příchytek na použité tlumivce. Držáky hořáku (díl 4, 5 na obr. 3) ohneme podle výkresu a načerníme. Tlumivka je navinuta na jádře EI32 \times 32 a má 600 závitů drátu o \varnothing 0,8 mm CuP. Plechy skládáme s mezerou, důkladně je stáhneme a prosytime impregnačním lakem. Parabolu reflektoru (díl 1 na obr. 3) zhotovíme z hliníkového plechu tloušťky 0,5 mm



Obr. 5. Čelní siňa hotového přístroje

Ke slovníku základních radiotechnických výrazů

Podle slibu se vracíme ke čtyřjazyčnému slovníku základních radiotechnických výrazů, který byl ukončen v AR 2/69. Na naši výzvu ke zhodnocení slovníku a vyjádření názoru na jeho pokračování přišlo přes 300 dopisů čtenářů. Všem děkujeme za slova chvaly i za připomínky (nejen ke slovníku) a těší nás především stoupající zájem o naš časopis.

Vyhovět všem není bohužel v našich silách; čtenářských zájmů je tolik a tak rozdílných, že by je nepokryl ani časopis s pětinásobným rozsahem. Přesto se budeme snažit brát zřetel na některé připomínky, které se vyskytují častěji (více testů, doplňovat praktické návrhy výpočty tak, aby čtenář, který nemá použitou součástku (např. měřidlo) mohl si sám vypočítat např. předřadné odpory nebo bočníky apod.)

Vráťme se však ke slovníku. Po roztrídění dopisů (pokračovat nebo nepokračovat v uveřejňování slovníku v jiných jazycích) se ukázalo, že názory čtenářů se dělí asi na 50 %; polovina byla pro pokračování slovníku ve francouzštině, polovina dávala přednost jiným materiálům. Z ostatních navrhovaných kombinací se objevily požadavky na slovník v polštině, maďarštině, srbochorvatštině, italštině, španělštině a dokonce i v latince (!). Redakce závila všechny návrhy a rozhodla, že zájem nebude další pokračování slovníku uveřejňovat proto, že zájem o slovník v jakékoli další řeči je podstatně menší než u slovníku uveřejněného. Kromě toho má většina čtenářů vždycky možnost využít si v případě potřeby slovník v příslušné řeči, zatímco katalog zahraničních tranzistorů, pro který jsme se rozhodli, se obstarává mnohem obtížněji.

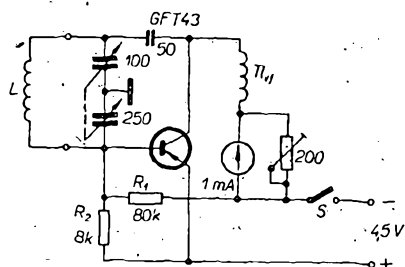
Závěrem prosíme čtenáře, aby si opravili několik chyb, které se ve slovníku vyskytly.

Jde o tyto chyby: českému heslu 142 (dvoulinka) odpovídá v ruštině heslo 225 (nikoli 226), německému heslu 30 (AGY-Leiter) odpovídá český termín 1 293 (nikoli 1 239).

* * *

Tranzistorový sací měřič

Velmi jednoduché zapojení obsahuje jediný aktivní prvek – tranzistor GFT43, který lze nahradit např. OC170, OC171, AF106 apod. Odpory R_1 a R_2 se nastaví pracovní bod tranzistoru tak, aby oscilátor spolehlivě kmital. Udané hodnoty jsou orientační. Při oscilacích deobírá oscilátor z baterie 4,5 V asi 5 mA. Velikost kolektorového proudu a jeho pokles



Tab. 1. Dávky pro ozářování

Dny	1. týden	2. týden	3. týden
1.	2 min.	—	9 min.
2.	—	6 min.	—
3.	3 min.	—	10 min.
4.	—	7 min.	—
5.	4 min.	—	12 min.
6.	—	8 min.	—
7.	5 min.	—	15 min.

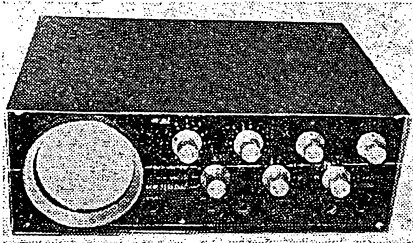
při výsazení oscilací se indikuje měřicím přístrojem 1 mA. Odpor zařazený paralelně k tomuto přístroji slouží k nastavení potřebné citlivosti. V zapojení podle obrázku lze sací měřič použít pro kmotry 2,5 až 30 MHz.

Radioamatér 12/68

-ra

Tranzistorový OSCILOSKOP

Ing. Ladislav Kryška, Jiří Zuska



Popisovaný tranzistorový osciloskop je – uzhledem k základním vlastnostem – určen převážně k práci v oblasti nf techniky. Protože vertikální zesilovač má dobrou kmitočtovou charakteristikou, je možné používat přístroj i k základním měřením v oblasti vf techniky. Malými rozměry a váhou je zvlášt vhodný pro amatérskou a servisní praxi. Osciloskop neobsahuje obvody choulostivé na přesné nastavení, což je dobrý předpoklad jeho reprodukovatelnosti. Přístroj je osazen výhradně čs. křemíkovými tranzistory.



Technické vlastnosti přístroje

Vertikální zesilovač

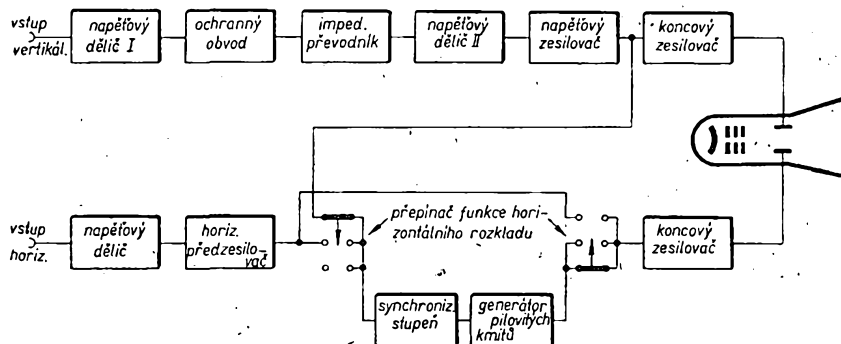
Kmitočtový rozsah (-3 dB):	10 Hz až 1,5 MHz.
Vstupní odpor:	1 MΩ/30 pF.
Citlivost:	10 mV/cm.
Max. vstupní napětí:	300 V.
Regulace citlivosti:	skoková, skoky v po-měrech 1:1, 1:3, 1:10, 1:30, 1:100, 1:300, 1:1 000, 1:3 000, 1:10 000, 1:30 000.

Horizontální zesilovač

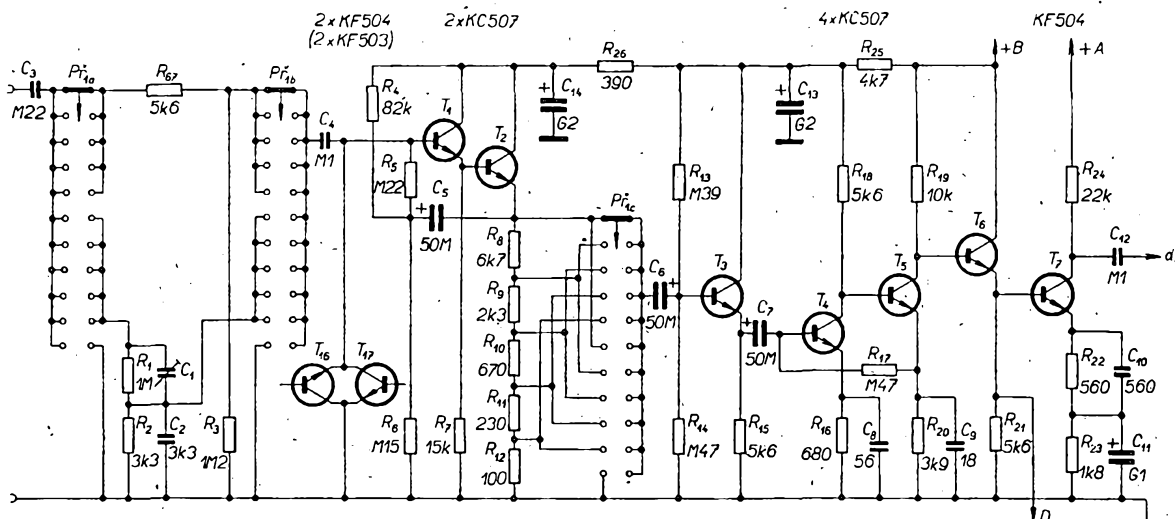
Kmitočtový rozsah (-3 dB):	20 Hz až 0,5 MHz. asi 250 kΩ.
Vstupní odpor:	20 mV/cm.
Citlivost:	300 V.

Casová základna

Opakovací kmitočet:	30 Hz až 50 kHz.
Nastavení kmitočtu:	skokově v poměru 1:2, plynule v poměru 1:3.
Synchronizace:	vnitřní i vnější.
Napájení:	220 V, 50 Hz, příkon asi 15 W.
Osazení:	9 × KC507, 4 × KF504, 4 × KF507, 1 × 7QR20.
Rozměry:	90 × 200 × 250 mm.
Osciloskop (obr. 1) má pět hlavních dílů:	



Obr. 1. Blokové schéma tranzistorového osciloskopu



Obr. 2. Vertikální zesilovač osciloskopu

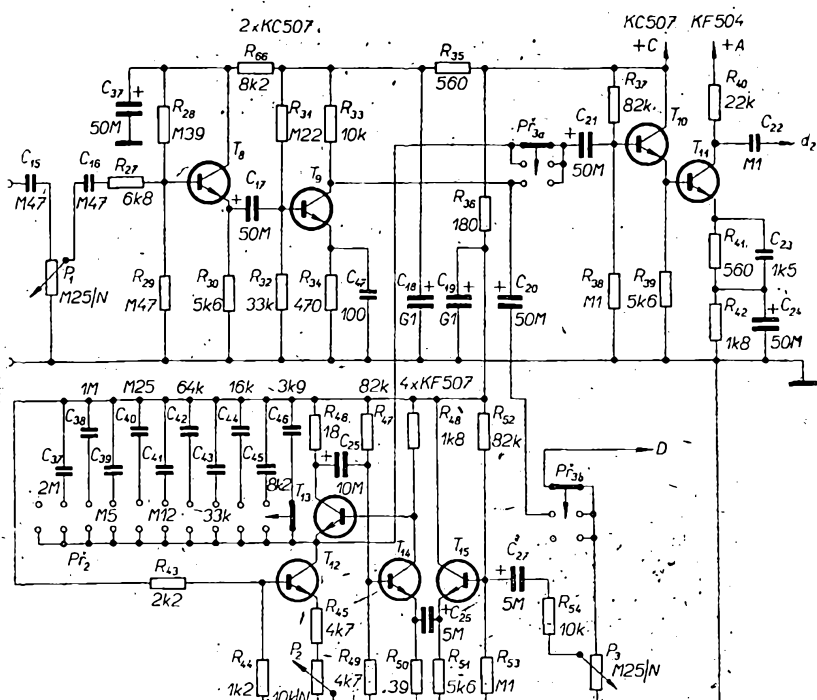
1. Vertikální zesilovač.
2. Horizontální zesilovač.
3. Generátor kmitů pilovitého průběhu.
4. Obvody obrazovky.
5. Napájecí díl.

Vertikální zesilovač

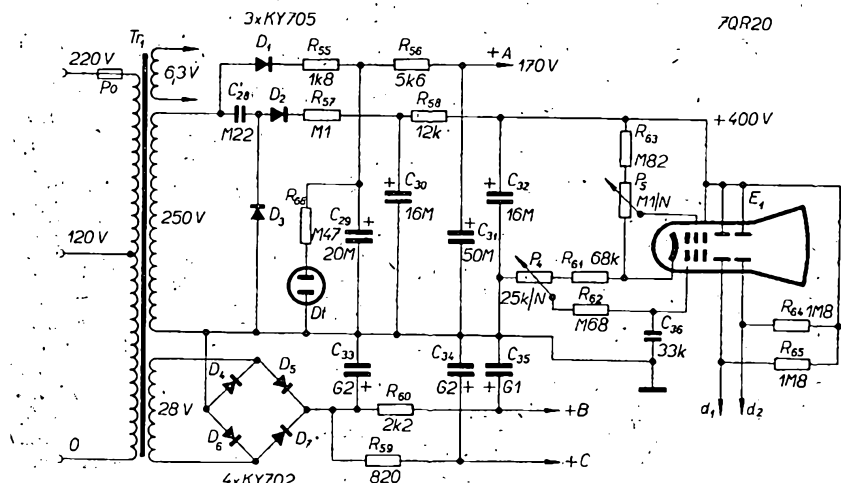
Protože je třeba zajistit vyhovující vstupní odpor přístroje, je na vstupu vertikálního zesilovače (obr. 2) impedanční převodník v obvyklém Darlingtonově zapojení. S použitými tranzistory lze bez obtíží dosáhnout vstupního odporu až 5 MΩ. Aby vstup zesilovače nebyl příliš citlivý na rušivé signály, byl vstupní odpor zmenšen paralelním odporem na obvyklou velikost 1 MΩ. Aby se osciloskop mohl používat i k pozorování signálů s velkou amplitudou (do 300 V), je na vstupu vertikálního zesilovače napěťový dělič (kmitočtově kompenzovaný) s dělicím poměrem 1:300. Sériový odpor R_{87} = 5,6 kΩ tvoří spolu s tranzistory T_{16} a T_{17} ochranu tranzistorů T_1 a T_2 před příliš velkým vstupním napětím. Tranzistory T_{16} a T_{17} se v tomto zapojení chovají podobně jako Zenerova dioda se Zenerovým napětím kolem 10 V.

Emitorový odpor druhého tranzistoru impedančního převodníku je rozdělen na pět odporů, které tvoří napěťový dělič s dělením 1:3, 1:10, 1:30, 1:100, 1:300, celkový odpor děliče je 10 kΩ.

Za impedančním převodníkem následuje oddělovací stupeň (tranzistor T_3). Tento stupeň je nutný, neboť podle polohy přepínače citlivosti se mění vnitřní odpor zdroje signálu – bez oddělovacího stupně by tato změna vnitřního odporu vyvolávala změny kmitočtové charakteristiky vertikálního zesilovače. Signál z oddělovacího stupně přichází do stej-



Obr. 3. Horizontální zesilovač osciloskopu



Obr. 4.. Napájecí obvody a obvody obrazovky

nosměrné vázaného napěťového zesilovače osazeného tranzistory T_4 a T_5 . Dále následuje stejnosměrné vázaný oddelovací stupeň v zapojení se společným kolektorem (T_6), a za ním (opět stejnosměrné vázaný) koncový stupeň (T_7). Napěťový zisk zajišťují tedy jen tranzistory T_4 , T_5 , a T_7 . Ve všech těchto stupních je zavedena záporná zpětná vazba odpory a kondenzátory v emitorech. Protože na výstupu vertikálního zesilovače se požaduje amplituda signálu (špička – špička) přibližně 130 V, je třeba použít na koncovém stupni tranzistor, který v tomto zapojení spolehlivě snese minimálně napětí $U_{CE} = 170$ V. Z dostupných tranzistorů tomuto požadavku vyhovuje jen tranzistor KF504. Z namátkově vybraných 20 kusů tranzistorů KF504 splnily tento požadavek všechny.

UKÁZALO se, že není vhodné zatěžovat koncový tranzistor větší kolektorovou ztrátou než asi 400 mW. Tato podmínka určuje maximální kolektorový odpor tranzistoru T_7 . Protože kolektorový odpor je poměrně velký (22 k Ω), zmenšuje

se zesílení koncového stupně na vyšších kmitočtech. Toto zmenšení zesílení se kompenzuje jednak větším zesílením předcházejícího napěťového zesilovače na těchto kmitočtech, jednak kmitočtově závislou zápornou zpětnou vazbou v koncovém stupni: vlastními kompen-

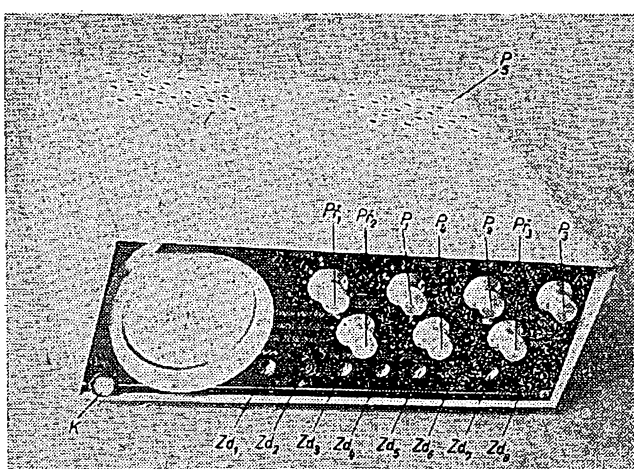
začními členy jsou kondenzátory C_8 a C_9 (v napěťovém zesilovači) a kondenzátor C_{10} v koncovém stupni.

Horizontální zesilovač

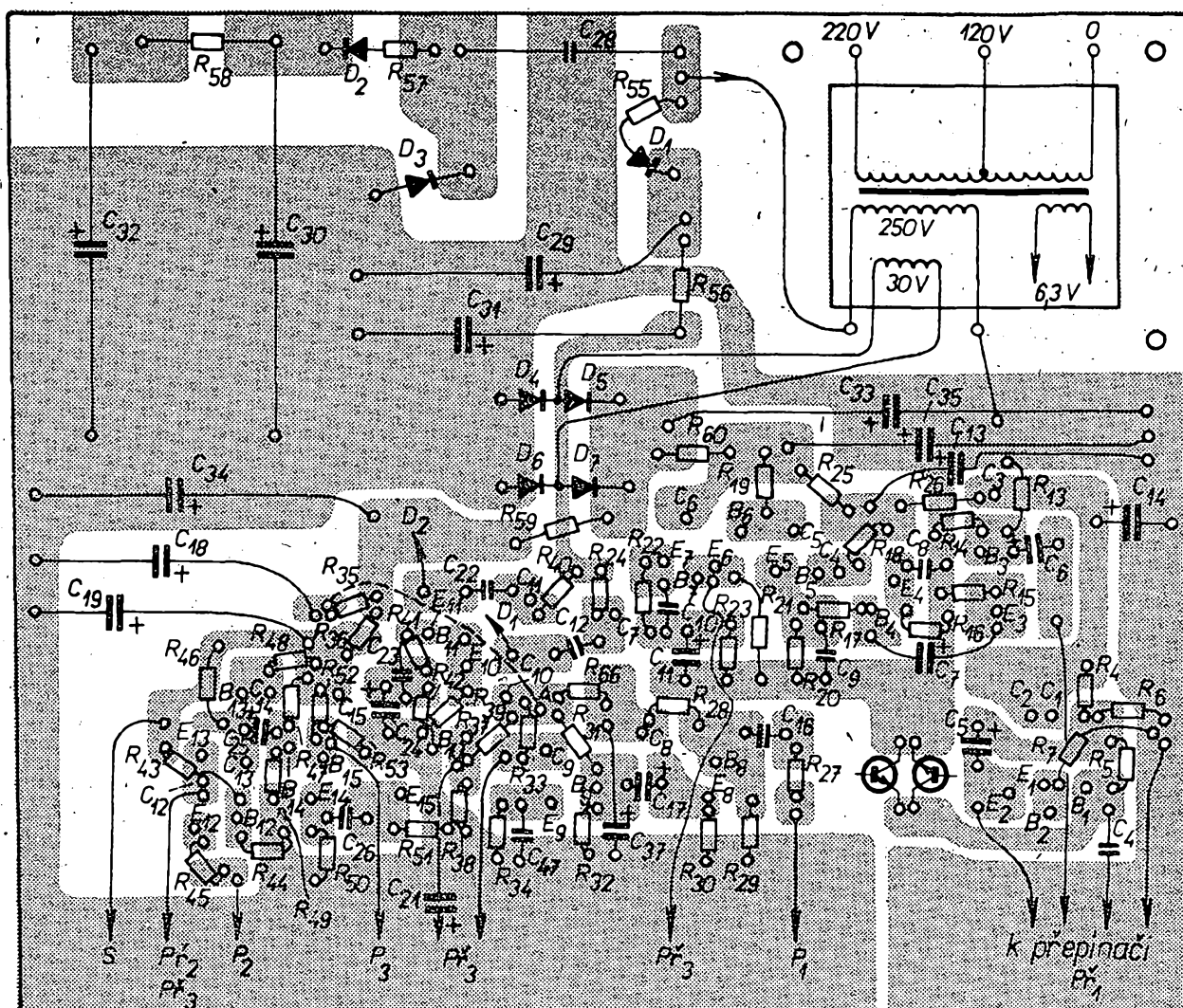
Podobně jako u vertikálního zesilovače je i na vstupu horizontálního zesilovače (obr. 3) zařazen impedanční převodník, který má velký vstupní odpor. Citlivost se reguluje potenciometrem P_1 . Tento způsob regulace citlivosti není nejlepší, neboť vstupní odpor i kmitočtová charakteristika jsou poněkud závislé na poloze běžce potenciometru. Protože však na horizontální zesilovač nejsou kladený takové požadavky jako na zesilovač vertikální, je toto řešení zcela vyhovující. Za oddělovacím stupněm následuje běžně zapojený napěťový zesilovač, oddělovací stupeň a koncový zesilovač ve stejném zapojení jako u vertikálního zesilovače. V zájmu dosažení vyhovujícího průběhu kmitočtové charakteristiky je v napěťovém i koncovém zesilovači zavedena kmitočtově závislá záporná zpětná vazba kondenzátory C_{47} a C_{23} .

Generátor kmitů pilovitého průběhu

Jako generátor kmitů pilovitého průběhu slouží multivibrátor (odvozený od podobně zapojeného generátoru, popsaného v RK 2/68). Multivibrátor (obr. 3) tvorí tranzistory T_{13} a T_{14} . Tranzistor T_{12} je zapojen jako zdroj konstantního proudu, přes nějž se nabíjí zvolený kondenzátor. Tím je zaručena velmi dobrá linearita výstupního napětí. Tento typ generátoru je schopen vyrábět kmity pilovitého průběhu v širokém kmitočtovém rozsahu s dobrou linearitou a konstantní amplitudou. Opakovací kmitočet se mění jednak skokově změnou velikosti nabíjecího kondenzátoru, jednak plynule změnou nabíjecího proudu. Kondenzátory C_{37} až C_{46} jsou vybrány z řady E12 tak, aby poměr velikosti sousedních kapacit byl 1:2. Plynulým řízením P_2 se opakovací kmitočet mění v poměru 1:3, takže je zajištěno potřebné překrývání rozsahů. Protože generátor má poměrně rychlý zpětný běh, není třeba použít obvody ke zhášení zpětných běhů. Generátor se synchronizuje přes oddělovací stupeň s tranzistorem T_{15} do emitoru T_{14} . Synchronizace může být vnitřní (odvozená od sledovaného signálu) nebo vnější. Funkčním prepínačem je P_3 . Používá-li se vnější synchronizace, je horizontální předzesilovač využit k zesílení synchronizačního napětí.



Obr. 5. Čelní panel osciloskopu



s - společný konec kondenzátorů časové základny.

Obr. 6. Plošné spoje osciloskopu (Smaragd C41)

Obvody obrazovky

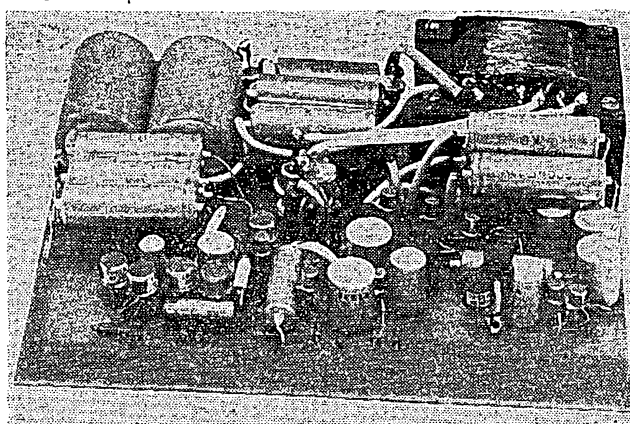
Jak je na první pohled zřejmé, jde o běžné používané zapojení (obr. 4). Protože osciloskop je určen ke sledování střídavých signálů, bylo pro zjednodušení využito zařízení pro posuv obrazu. Ovládací prvky jsou jen dva: ostření a nastavení jasu.

Napájecí díl

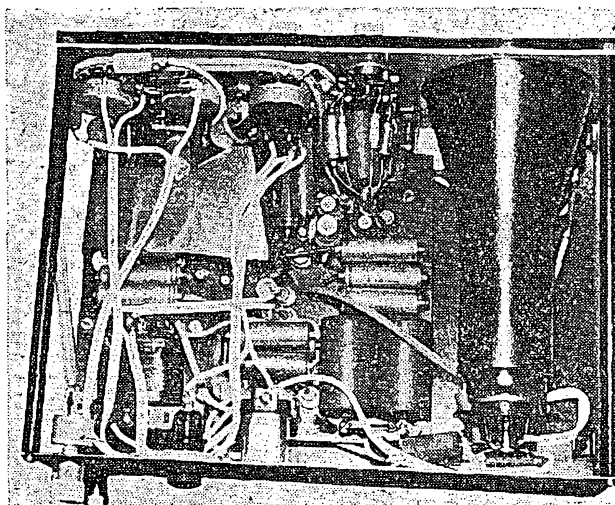
V přístroji se používají tato napájecí napětí:

- napětí pro obrazovku:
450 V, odběr asi 0,5 mA,
- napětí pro koncové stupně obou zesilovačů:
170 V, odběr asi 8 mA,
- napětí pro ostatní obvody:
30 V, odběr asi 25 mA,
- žhavicí napětí obrazovky:
6,3 V, odběr asi 0,6 A.

V napájecím dílu (obr. 4) slouží jako síťový transformátor typ Jiskra ST64, na který je dodatečně přivinuto vinutí pro střidavé napětí 28 V drátem o \varnothing 0,16 mm CuP. Vysoké napětí pro obrazovku se získává obvyklým zdvojovacím napětí, osazeným dvěma diodami KY705. Stejné vinutí transformátoru slouží (při jednocestném usměrnění) i k získání napětí 170 V pro koncové stupně zesilovačů. S ohledem na požadavek malého zvlnění napájecího napětí



Obr. 7. Osazená destička s plošnými spoji



Obr. 8. Uspořádání součástí ve skřínce osciloskopu

pro předzesilovače se jejich napájecí napětí usměrňuje můstkovým usměrňovačem.

Mechanická konstrukce

Při konstrukci osciloskopu jsme zvolili koncepci ploché skřínky; její výšku určuje průměr obrazovky, která je umístěna na levé straně čelního panelu. Na tomto panelu (obr. 5) jsou kromě vstupních zdířek umístěny ovládací prvky, tj. nastavení opakovacího kmitočtu časové základny, nastavení citlivosti zesilovačů, přepínač funkce horizontálního zesilovače, jás a ostření. Prvky k nastavení synchronizace jsou vyvedeny vzadu. Síťový spínač je spřažen s potenciometrem pro jemné nastavení kmitočtu časové základny. Toto řešení je sice neobvyklé – většinou se spínač kombinuje s potenciometrem pro řízení jasu – jas se však při většině prací s osciloskopem nastavuje jednou provždy. Všechny elektronické součástky kromě ovládacích prvků a obrazovky jsou, včetně síťového transformátoru se zdrojem, na jediné desce s plošnými spoji C41 o rozměrech $130 \times 160 \text{ mm}$ (obr. 6, 7). Výhodu tohoto uspořádání oceníme zvláště při uvádění přístroje do chodu, také montáž je však mnohem jednodušší. Destička s plošnými spoji je upevněna k základní desce skřínky šrouby a rozprémými sloupky. Čelní panel je řešen metodou „superpanelu“, krycí destička s nápisem je zhotovena fotografickou metodou z materiálu na výrobu plošných spojů. Skřínka je z ocelového plechu, což určuje její velkou pevnost a zmenšuje náchylnost přístroje k rušení obrazu vnějšími vlivy. Obrazovka je uložena v ocelovém krytu, takže její stínění je dokonalé. Kryt je upevněn vpředu k čelnímu panelu a vzadu k základní desce skřínky.

Poznámky ke stavbě

Při stavbě je nejlépe začít od zdroje a koncových zesilovačů. To znamená vertikální zesilovač od T_4 do T_7 a horizontální zesilovač T_{10} a T_{11} . Po dosazení správných pracovních bodů tranzistorů postavíme generátor časové základny a uvedeme jej do chodu. Pak zapojíme obvody T_3 a nastavíme kmitočtovou charakteristiku kondenzátory C_8 , C_9 a C_{10} . Pokud by byl zesilovač na vyšších kmitočtech nestabilní, zapojíme do série s kondenzátory C_8 a C_9 malé odpory (asi 100Ω). Kmitočtová charakteristika se touto úpravou takřka nezmění. Kmitočtovou charakteristiku nastavujeme při použití obrazovky osciloskopu (zapojené třeba jen improvizovaně), neboť obvyklá vstupní kapacita osciloskopu (asi 30 pF) způsobuje značné zkreslení výsledků. Potom zapojíme horizontální předzesilovač (T_8 a T_9), nastavíme pracovní body, připojíme na koncový zesilovač (T_{10}) a opět nastavíme optimální kmitočtovou charakteristiku kondenzátory C_{17} a C_{23} . Zbývá zapojit impedanční převodník na vstup vertikálního zesilovače. Tím je zhruba skončeno zapojování na destičce s plošnými spoji. Ostatní obvody (kondenzátor časové základny, obvody obrazovky, děliče ve vertikálním zesilovači) jsou zapojeny přímo na přepínačích a potenciometrech na čelním panelu. Zde se nám potom střídá zapojování s mechanickou montáží, jak stavba postupuje. Na pře-

pínač citlivosti předem připájíme všechny odpory obou děličů. Celý vertikální zesilovač je zakryt stínicím krytem. Nakonec ještě vykompenzujeme kmitočtovou charakteristikou vstupního děliče. Kapacity kondenzátorů ke kompenzaci kmitočtové charakteristiky zesilovačů

jsou orientační a je bezpodmínečně nutné jejich velikost individuálně nastavit. Kondenzátory C_{29} , C_{31} , C_{33} , C_{14} jsou složeny paralelním spojením dvou kondenzátorů poloviční kapacity. Uspořádání součástí ve skřínce osciloskopu je vidět na obr. 8.

* * * * Několik zapojení s tyristory

Ing. Jan Mach

První tyristory se objevily na trhu již před deseti lety, používaly se však zpočátku jen v silnoproudé elektrotechnice. Tomu také nasvědčují zapojení, publikovaná v poslední době v AR. Tento lánek má ukázat možnosti výhodného použití tyristoru v netradičním spojení s běžnými elektronickými obvody.

Časový spínač

Na obr. 1. je schéma časového spínače pro nejšíří použití s možností spínat přímo síťové napětí do nejrůznějších spotřebičů.

V anodě tyristoru je zapojeno v sérii s odporem relé. Může to být jakékoli stejnosměrné relé, jehož kontaktní systém bude výkonově vyhovovat spotřebici, který má být napájen. Výhodné však je, má-li relé velký odpor vinutí; tím se zmenší proud potřebný pro sepnutí a tím i tepelná ztráta na předřadném odporu R_0 . Velikost tohoto odporu určíme z Ohmova zákona (je to vlastně doplňkový odpor k odporu vinutí zvoleného relé) podle proudu potřebného k sepnutí. Zatížení odporu určíme snadno, uvědomíme-li si, že je to součin efektivních hodnot I_{t1} a napětí U_{t1} na odporu R_0 (jednocestné usměrnění):

$$I_{t1} = \frac{I_m}{2}, \quad U_{t1} = \frac{U_m}{2}.$$

Přitom efektivní hodnota sinusového proudu a napěti v mezích 0 až $T/2$ je:

$$I_t = \frac{I_m}{\sqrt{2}}, \quad U_t = \frac{U_m}{\sqrt{2}}.$$

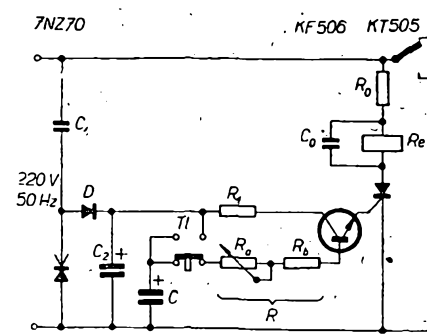
Pak:

$$I_{t1} = \frac{\sqrt{2} I_t}{2}, \quad U_{t1} = \frac{\sqrt{2} U_t}{2}.$$

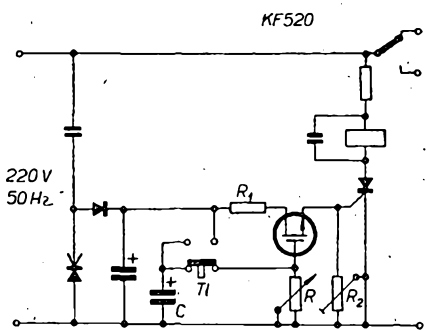
Zatížení odporu R_0 je tedy:

$$P_R = I_{t1} U_{t1} = \frac{1}{2} U_t I_t.$$

Kapacita kondenzátoru C_0 je dána nábojem potřebným k udržení relé



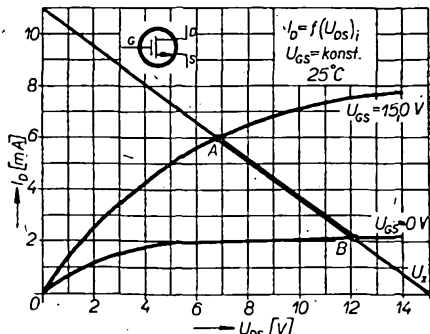
Obr. 1.



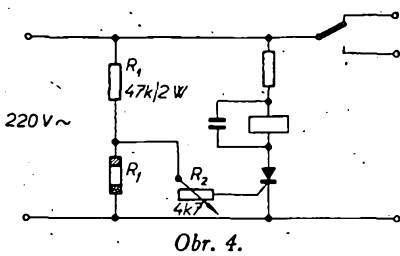
Obr. 2.

v sepnutém stavu během přestávky mezi dvěma půlsinusovými pulsy. Z toho opět vyplývá, že při použití relé s velkým odporem vinutí stačí menší kapacita.

Při návrhu řídícího a časovacího obvodu vyjdeme z napěti a proudu potřebného k otěvření tyristoru hned po náběhu kladné půlsinusovky na jeho anodě. Pro tyristor KT505 je to $0,6 \text{ V}$ a proud 2 mA na řídící elektrodě. Tento výkon bude dodávat křemíkový tranzistor KF506. V jeho bázi je sériový článek RC s časovou konstantou τ . Kolektor tranzistoru i časovací obvod se napájí stabilizovaným stejnosměrným napětím 15 V . Napětí stabilizuje Zenerova dioda 7NZ70, která propouští zápornou a omezují kladnou půlperiódě síťového napěti přivedenou přes kondenzátor C_1 . Takto vzniklé pulsy (téměř pravoúhlé průběhu) procházejí diodou D a nabíjejí filtrační kondenzátor C_2 . Zvolíme-li pro maximální využití tranzistoru kolektorový proud $I_C = 3 \text{ mA}$, bude odpor $R_1 = 4,7 \text{ k}\Omega$. Kapacitu kondenzátoru C_1 určíme z požadavku, aby proud tekoucí



Obr. 3.



Obr. 4.

Zenerovou diodou byl alespoň pětkrát větší než proud odebíraný. Zvolíme-li tedy $I_{C1} = 20 \text{ mA}$, bude $C_1 = 0.32 \mu\text{F}$ pro napětí 600, raději však 1 000 V.

Volba R časového členu RC v bázi tranzistoru je omezena velikostí maximálního přípustného proudu báze při daném napájecím napěti pro nejkratší čas a minimálním proudem báze, potřebným pro plné využití tranzistoru, pro čas nejdélší. Maximální proud báze je 50 mA. Zvolíme-li nejkratší čas 1 s, tj. při $R_a = 0$, vyjde velikost R_b :

$$R_b = \frac{\tau}{C} = \frac{1}{200 \cdot 10^6} = 5 \text{ k}\Omega$$

Protože tolerance elektrolytických kondenzátorů je -10 až $+100\%$ jmenovité kapacity a stejně rozdílný může být i zesilovací činitel tranzistoru, nastavíme vhodnou velikost R_b tak, aby odpovídala času 1 s. Průměrný proudový zesilovací činitel tranzistoru KF506 je pro daný pracovní bod asi 100, takže

$$I_B \text{ min} = \frac{I_C}{100} = \frac{3 \cdot 10^{-3}}{100} = 30 \mu\text{A}$$

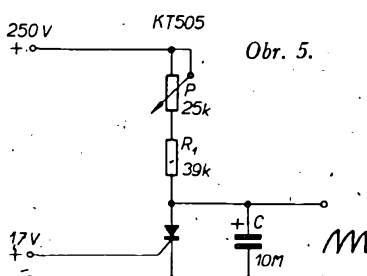
Stanovíme-li, že tranzistor má vypínat při napětí 3 V na kondenzátoru C , zjistíme výpočtem, že maximální odpor v bázi může být 300 k Ω . S kondenzátem $C = 200 \mu\text{F}$ dosáhneme času od 1 s do 1 min.

K vícenásobnému prodloužení spínacích časů bez nadměrného zvětšování kapacity C použijeme místo křemíkového tranzistoru KF506 tranzistor KF520 (obr. 2).

Zapojení se liší od předcházejícího iným článekem RC a připojením tranzistoru na řídící elektrodu tranzistoru. Pro určení odporu R_1 a R_2 výjdeme z výstupních charakteristik na obr. 3. S ohledem na vnitřní odpor stabilizovaného zdroje, který omezuje rychlosť nabíjení kondenzátoru C , volíme maximální velikost proudu tranzistoru $I_S = 6 \text{ mA}$ (bod A). Pro napájecí napětí 15 V zakreslíme zatežovací přímkou, která udává velikost zatežovacího odporu R_Z :

$$R_Z = R_1 + \frac{R_2 R_{GK}}{R_2 + R_{GK}} = \frac{U_Z}{I}$$

Odporník řídící elektrody - katoda R_{GK} tranzistoru KT505 je 300 Ω . Protože napětí na řídící elektrodě KF520 může se v našem případě pohybovat v rozmezí 15 až 0 V, bude se pracovní bod tranzistoru pohybovat mezi body A a B. V bodě A je tranzistor plně otevřen, v bodě B uzavřen. Protože při $U_{GS} = 0 \text{ V}$ teče tranzistorem (jak je vidět



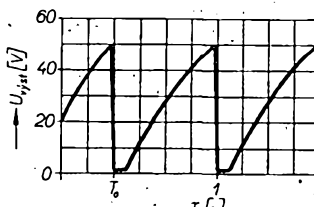
Obr. 5.

z charakteristik) ještě proud I_D , musíme uzavření tranzistoru zajistit odporem R_2 . S ohledem na značný rozptyl charakteristik našich tranzistorů MOSFET použijeme proměnný odpor, jehož velikost nastavíme takto: nejprve při napětí $U_{GS} = 0 \text{ V}$ necháme maximální velikost odporu R_2 . Tranzistor bude otevřen a relé sepnuto. Pak zmenšíme odpor R_2 tak dlohu, až relé rozepne. V této poloze běžec proměnného odporu zaříšíme.

S náhodně vybraným kondenzátorem $C = 250 \mu\text{F}/30 \text{ V}$ a potenciometrem $R = 1 \text{ M}\Omega$ bylo dosaženo času 285 s. Přitom teoretická časová konstanta

$$\tau = RC = 1 \cdot 10^6 \cdot 250 \cdot 10^{-6} = 250 \text{ s.}$$

S potenciometrem $R = 5 \text{ M}\Omega$, $C = 250 \mu\text{F}$ to už bylo 28 minut. Při volbě delších časů (zvětšováním odporu R) je třeba si uvědomit, že elektrolytickým kondenzátorem teče po připojení stejnosměrného napětí zbytkový proud I_{zb} . Velikost tohoto proudu závisí na mnoha činitelích: teplotě okolí, provozním napěti, velikosti kapacity, době skladování a na čase od okamžiku připojení napěti. Nejkladnější a tedy nejhodnější jsou kondenzátory, u nichž výrobce uvádí co nejmenší zbytkový proud, např. tantalové elektrolytické kondenzátory, které mají při 20 °C a napětí 15 V zbytkový proud maximálně 15 až 30 μA (podle typu).



Obr. 6.

Fotorelé

Další využití tranzistoru nabízí velmi jednoduché fotorelé (obr. 4).

Obvod v anodě tranzistoru je stejný jako na obr. 1. Řídící elektroda se napájí přes $R_2 = 4,7 \text{ k}\Omega$ z děliče napětí R_1, R_f . Při dostatečném osvětlení se odpor foto-odporu zmenší až na 1 k Ω . Odporový trimr R_2 nastavíme nyní na takový odpor, při němž relé rozepne. Zmenší-li se opět osvětlení pod určitou mez, zvětší se napětí na odporu R_1 , děliče a tranzistor sepnutí. Okamžik sepnutí lze v širokých mezech regulovat a jeho nastavení není kritické.

Generátor napětí pilovitého průběhu

Na obr. 5 je generátor napětí pilovitého průběhu o amplitudě 50 V a kmitočtu 1 Hz. Obvod se nastavuje tak, že ze stejnosměrného zdroje (může být použit i dělič z napájecího napětí 250 V) přivedeme napětí 1,7 V na řídící elektrodu tranzistoru. Běžec potenciometru P nastavíme na největší odpor. Po připojení +250 V zmenšíme odpor potenciometru, až nasadí kmity. S uvedenými součástkami a odporom $P + R_1 = 47 \text{ k}\Omega$ mělo výstupní napětí průběh podle obr. 6. Jinak lze vhodnou volbou C , P , R_1 a řídícího napětí nastavit potřebnou velikost výstupního napětí i kmitočet.

Závěrem lze říci, že podobných zapojení s tranzistory a jejich aplikací může být velmi mnoho. A protože jsou jednoduchá, spolehlivá a pracují přímo se síťovým napětím, měla by najít širší uplatnění.

Samoobsluha pro radioamatéry

To, co je již běžné v potravinách, drogisticích a papírnících zboží, se má projevit i v prodeji radiosoučástek, míní firma Werner Conrad z Hirschau v NSR, která zřídila ve středu Norimberka samoobsluhu s elektronickými prvky. Na 2 000 m² výstavní a prodejní plochy vzniklo elektronické středisko jako náhrada za dosavadní prodejní prostor v Lorenzově ulici. Je zařízeno podle moderních poznatků. Nabízí se tu zájemcům na 25 000 výrobků – nejen radiosoučástky, měřicí a zkoušecí přístroje, zařízení pro radioamatéry a náhradní díly pro rozhlasové a televizní přijímače, ale i tzv. „bílé zboží“ jako chladničky, sporáky a jiné elektrické spotřebiče pro domácnost. Ve zvláštním oddělení lze koupit na 5 000 druhů žárovek a svítidel. Regály s nápisem „zvláštní nabídka“ obsahují mimo jiné stavební části, rozpracované části přístrojů z výběhu průmyslových sérií, v jiných regálech jsou radiová ovládací zařízení a elektronické stavebnice. Samozřejmě nechybí oddělení nástrojů a výjimečně levné televizní obrazovky pro náhradní účely.

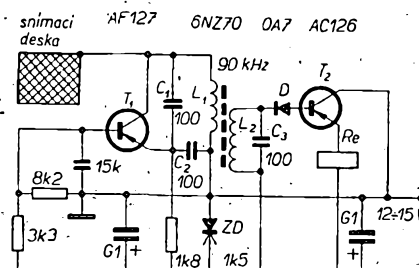
V Conradowě elektronickém středisku jsou zaměstnáni ponejvíce radioamatéři a praktici, kteří se i ve volném čase zabývají radiotechnikou. Německá spolková pošta zde povolila provoz radioamatérského krátkovlnného vysílače DL0TK, který smí být obsluhován zákazníky, pokud mají příslušné povolení k provozování vysílače. (Cte se to jako pohádka – škoda jen, že podobná samoobsluha není někde u nás.)

Funkschau 23/1968

SZ

Kapacitní spínač

Zapojení je jedním z těch, která reagují na přiblížení ruky nebo vodivého předmětu tím, že prostřednictvím relé sepnou poplašný obvod. Oscilátor s tranzistorem T_1 kmitá na kmitočtu určeném obvodem L_1, C_1, C_2 (u vzorku 90 kHz). Napětí nakmitané na obvodu se indukuje do obvodu L_2, C_3 a po usměrnění diodou D přichází na bázi tranzistoru T_2 . Tento tranzistor pracuje jako stejnosměrný zesilovač. V jeho emitorovém



obvodu je relé. Je-li na bázi záporné napětí, tranzistor vede a relé je sepnuto. Pokud přiblížíme např. ruku ke snímací desce, která je připojena k ladícímu obvodu oscilátoru, rozladime oscilátor tak, že vzhledem k naladění obvodu L_2, C_3 se do tohoto obvodu neindukuje téměř žádné napětí, tranzistor se uzavře a kotva relé odpadne. Rozpínací kontakty relé mohou ovládat signální zařízení. Napájecí napětí je stabilizováno Zenerovou diodou ZD.

Funkschau 17/1968

-ra

LADÍCÍ DÍL VKV

● s tranzistory FET

Kamil Donát

K nejmodernějším aktivním prvkům v elektronice patří tranzistory FET. První tranzistory tohoto druhu se již objevily i na náš trhu, bohužel však zatím jen k použití na nízkých kmitočtech. V zahraničí, kde se již vyrábějí tranzistory FET i pro použití na vysokých kmitočtech, uplatňují se plně jako neobyčejně výhodné součástky v řadě zapojení, především na vyšších kmitočtech.

Zapojení, v němž se neobyčejně výrazně projevily výborné vlastnosti a vhodnost použití těchto tranzistorů, je na obr. 1. Jde o ladici díl VKV pro pásmo 87 až 108 MHz, jímž jsou vybaveny špičkové přijímače některých západních firem. Jde o díl označený výrobcem - firmou Görler - Tuner 312-2433. Ladici díl je osazen na vstupu a ve směšovači tranzistory FET americké výroby TIS34, na oscilátoru tranzistorem mesa AF124 a v obvodu automatiky tranzistorem BC108. Ladici díl má výborné technické vlastnosti:

Kmitočtový rozsah: 87,5 až 108,5 MHz, popř. 87,5 až 104,5 MHz.

Anténní impedance:

240 až 300 Ω (souměrně);
50 až 75 Ω (nesouměrně).

Šumové číslo: < 2,5 kT₀.

Napěťové zesílení: 38 ± 2 dB (měřeno mezi anténou a výstupem mf zosilovače).

Zpracovává selektivita: ≤ 70 dB.

Šířka mf pásmá: 280 kHz $\pm 10\%$.

Výstupní impedance: 5 k Ω (asi 150 Ω na odbočce).

Max. teplota okolí: 70 °C.

Napájecí napětí: 12 a 24 V.

Rozměry: 54 (šířka) \times 46 (výška) \times

\times 80 mm (hloubka).

Úhel otáčení kondenzátoru: 540° (převod 3 : 1).

V základní konцепci přístroje se používá čtyřnásobný vzduchový otočný kondenzátor velmi dokonalé konstrukce, jímž jsou laděny obvody vstupního předzesilovače, pásmové propusti, směšovače a oscilátoru. Vstupní obvod je uzpůsoben pro připojení symetrického antén-

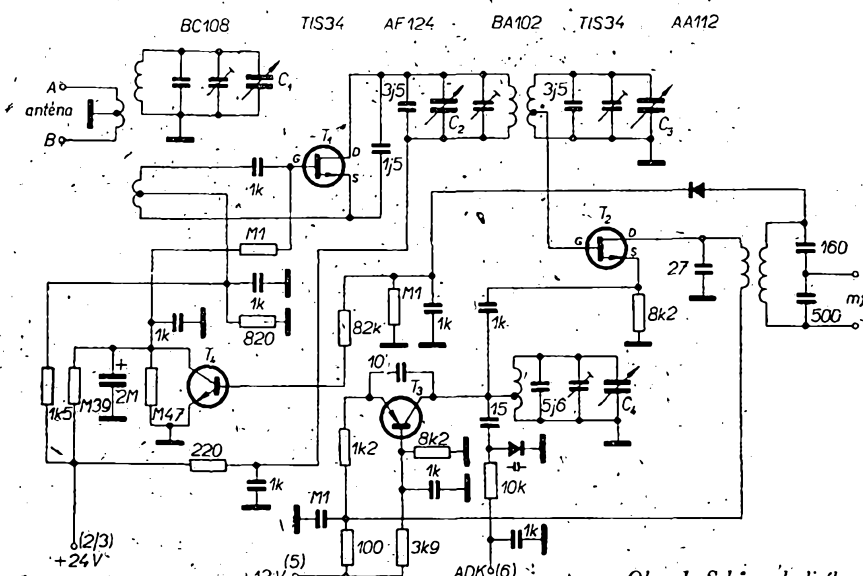
ního svodu o impedanci 300 Ω (na body A, B), nebo nesymetrického o impedanci 75 Ω mezi jeden z bodů A, B a zem. Obvod T_1 je neutralizován kondenzátorem 1,5 pF (obvyklé můstkové zapojení).

Mezi vf zosilovačem a směšovačem je zapojena selektivní pásmová propust, laděná dvěma sekciemi ladiciho kondenzátoru. Směšovač (osazený druhým tranzistorem FET) má na výstupu první mezifrekvenční filtr 10,7 MHz. Sekundární obvod filtru je laděn dvěma sériovými kondenzátory; ty tvoří současně dělic, na který se připojuje tranzistorový mezifrekvenční zosilovač. Jako oscilátor slouží osvědčené zapojení s tranzistorem mesa, který zajišťuje nejen dobrou a spolehlivou funkci, ale i dostatečnou stabilitu a malou teplotní závislost. K samičinnému dolaďování slouží kapacitní dioda BA102, která umožňuje změny rozladění ± 200 kHz. Rídící napětí pro dolaďování se přitom pohybuje v rozmezí $\pm 0,6$ V.

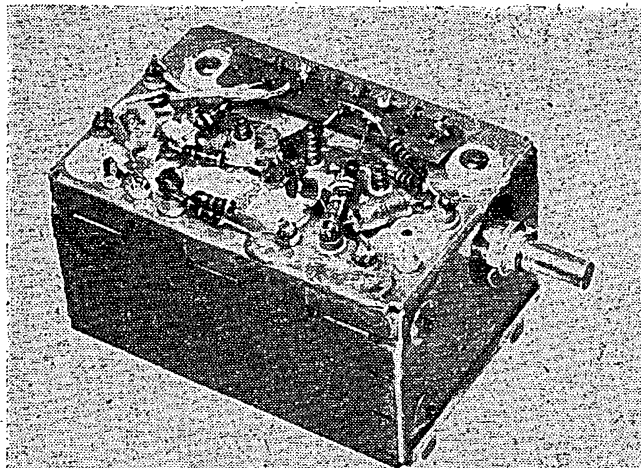
Teplotní závislost ladiciho dílu při změně teploty okolí z 20° na 60° je zanedbatelná; změna kmitočtu nepřesáhne 50 kHz. Při změně napájecího napětí o $\pm 20\%$ je změna kmitočtu menší než 30 kHz.

Aby měl ladici díl srovnatelné (popřípadě lepší) vlastnosti se špičkovými elektronkovými zařízeními, byla poslední verze ladiciho dílu vybavena zvláštní regulační automatikou, která výrazně zlepšuje činnost jednotky. Ze zapojení je zřejmé, že z výstupu ladiciho dílu (ze sekundárního vinutí mezifrekvenčního transformátoru) se napětí přivádí přes diodu AA112 na bázi tranzistorového zosilovače, z jehož kolektoru je zesíleným napětím napájen vstupní obvod prvního vysokofrekvenčního zosilovače.

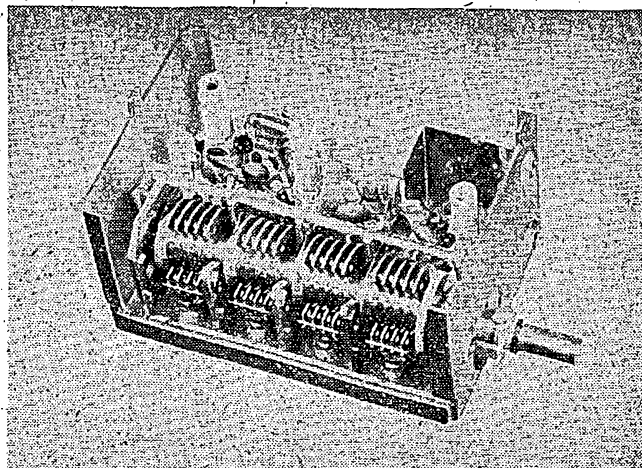
Všechny obvody lze sladovat dvěma prvky: indukčnostmi i kapacitními trimmy. To umožňuje sladovat obvody ve více bodech, což opět přispívá k dosažení vynikající selektivity a citlivosti. Všechny dolaďovací prvky jsou velmi dobře přístupné a při uvádění do chodu lze dosáhnout bez obtíží maximálního sladění všech obvodů. Ke kvalitním vlastnostem dílu přispívá bezpochyby i jeho mechanicky dokonalá konstrukce (obr. 2). Mechanická pevnost a stabilita zřejmá z fotografií (obr. 2 a 3) je u zařízení pro vysoké kmitočty samozřejmostí. Jednotka se upínává třemi šrouby M4, které zajišťují pevnost uložení dílu na panelu. Za zmínu stojí také vestavěný ladici převod 3 : 1, takže otočení ladiciho kondenzátoru o 180° odpovídá otočení hřidele ladiciho dílu o 540°.



Obr. 1. Schéma ladiciho dílu



Obr. 2. Celkový vzhled ladiciho dílu



Obr. 3. Uspořádání součástek uvnitř skřínky

TRÍPOVELOVÝ

vysílač pro modely



František Kosina

Vysílač je určen k práci s třípovelovým přijímačem, jehož návod byl uveřejněn v šestém čísle letošního ročníku Amatérského radia. Může být samozřejmě použit i pro jiné přijímače, jsou-li ovládací kmitočty v rozsahu 1,4 až 3,7 kHz. Toto omezení i bude vysvětleno v kapitole o modulátoru.

Sírka ovládacích kmitočtů je tedy 2,3 kHz. Využijeme-li výhod aktívного filtru použitého u zmíněného přijímače, může být vzdálenost jednotlivých kanálů i 400 Hz; vysílač pak obsahne pět kanálů a bude tedy vhodný i pro novou kategorii leteckých modelů RC-M2.

V poslední době byly v našich časopisech uveřejněny dva návody na vice-povelové vysílače osazené tranzistory. V Radiovém konstruktéroru 5/65 to byly vysílače Trix a Multon II od J. Samka. V Amatérském radiu 10/67 popisuje J. Doležílek vysílač Osmikon. U všech těchto vysílačů je použita módulace klicováním nosné vlny. Přitom se významně zmenší na polovinu výkonu nemodulovaného vysílače. Popisovaný vysílač má běžnou modulaci, která výkon nezmenší.

Ve vzpomínaných návodech se kmitočty pro ovládání nastavují kapacitou sestavenou z více kondenzátorů. Je to nepohodlné, nepřesné a je vyloučena možnost doladění. Modulátor, popisovaného vysílače má kmitočty plynule řiditelně změnou odporu.

Zájemce o tento vysílač by se mohl pokusit o jeho zlepšení použitím tranzistoru KF507 pro koncový stupeň. Musím ho před tímto pokusem varovat. K vybuzení těchto tranzistorů je třeba výkon asi 0,5 W. Zavinuje to poměrně značná kápacita mezi bází a emitorem. Teoretické poučení o tomto problému najde zájemce v Přehledu tranzistorové techniky na str. 55 (příloha AR 1962 až 1964). Použití tranzistoru KF507 na koncový stupeň vysílače předpokládá shodný tranzistor i na oscilátoru. Příkon v frekvenci vysílače je však asi čtyřnásobný proti příkonu vysílače podle tohoto návodu.

Modelář se vždy ptá po dosahu vysílače. Na zemi byl tento vysílač zkoušen na vzdálenost 400 m. Za letu je dosah podstatně větší než vzdálenost, na kterou můžeme model nechat ulétnout bez obav, že nebudeme moci sledovat jeho pohyb.

Popis zapojení

Schéma vysílače je na obr. 1. Tranzistor T_1 pracuje jako krystalem řízený oscilátor. Je to mezi amatéry nejčastěji používané zapojení. Přesvědčil jsem se,

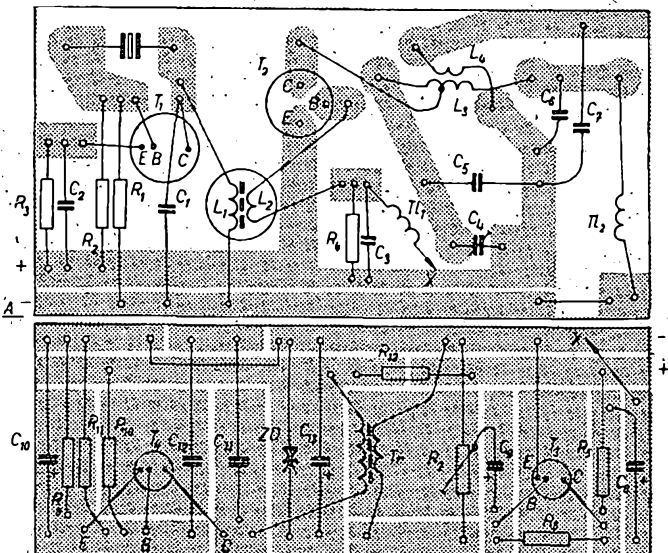
že také nejlépe využuje. T_2 patří koncovému stupni vysílače, který pracuje ve třídě B. Rezonanční obvod kolektoru je oběma konci vysokofrekvenčně uzemněn. Je tím zmenšen vliv rukou, které drží vysílač. Anténa je vázána indukčně. Vysokofrekvenční signál se přivádí do báze tranzistoru a nízkofrekvenční signál přes tlumivku T_1 na odpor R_4 . Kondenzátor C_3 zkratuje odpor R_4 pro budící v proud. Bez něho nelze koncový stupeň vybudit.

Stupeň s tranzistorem T_4 je nízkofrekvenční oscilátor s posuvem fáze. Je to, známé zapojení z modelářské literatury, které však má dva nedostatky. Prvním je závislost kmitočtu na napájecím napěti. Napěti pro oscilátor se proto stabilizuje Zenerovou diodou ZD . Stálý kmitočet je zaručen i při poklesu napájecího napětí z 12 V na 8 V. Druhou nevýhodou je poměrně úzké pásmo

kmitočtů, které lze nastavit. Jak bylo vysvětleno v úvodu, lze počítat s ovládáním až pěti povělů. Velkou výhodou je možnost plynulého řízení kmitočtu odpory R_9 .

Stupeň s tranzistorem T_3 je zesilovač modulátoru. Pro modulaci do báze stačí v tomto případě napětí asi 0,5 V. Zesilovač je však nutný; odděluje oscilátor modulátoru od vysílače, což zlepšuje stabilitu kmitočtu. Impedance vysílače před vstupem modulátoru je 150 Ω . Tak malým odporem se oscilátor modulátoru zatížit nedá.

Vysílač byl vyzkoušen i s kolektorovou modulací. V obou případech pracuje dobře. Při kolektorové modulaci musí být příkon modulátoru třikrát větší než



Obr. 2. Destička s plošnými spoji vysílače pro modely C42

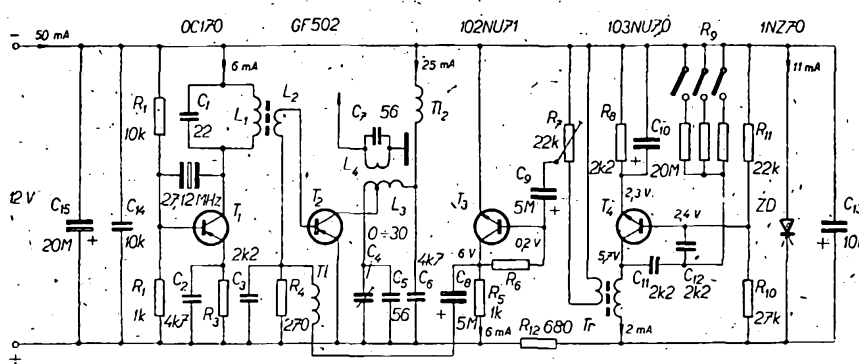
při modulaci do báze. Navíc je třeba další transformátor a dražší tranzistor na zesilovač modulátoru.

U modulátoru jsou u vývodů tranzistorů uvedena naměřená napětí. U vysokofrekvenční části vysílače napěti uvedena nejsou, neboť jejich měření by měnilo pracovní podmínky a výsledky by nebyly přesné. Správnou činnost vysokofrekvenční části budeme sledovat měřením proudu.

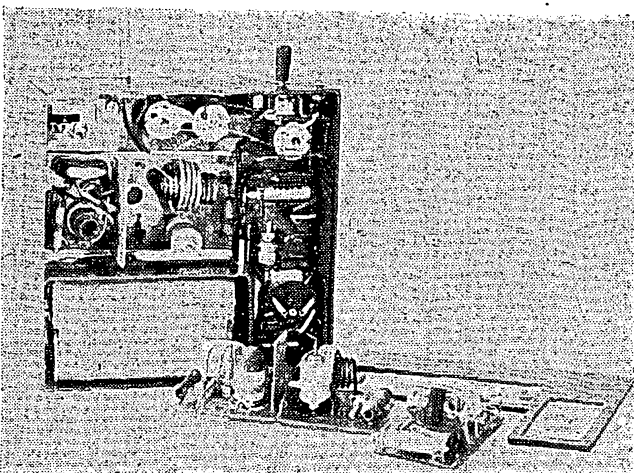
Konstrukce vysílače

Destička s plošnými spoji je na obr. 2. Destička pro vysokofrekvenční díl je leptána systémem spojovacích ploch, destička modulátoru systémem dělících čar. Systém spojovacích ploch u vývodů je nutný s ohledem na vysoký pracovní kmitočet. Modulátor i vývod díl jsou na obr. 2 kresleny jako jeden celek, řezem A-A lze však obě části oddělit. Tak je tomu i u prototypu vysílače (obr. 3). I ten, kdo nebude obě části oddělovat, musí si uvědomit, že k modulátoru a vývodům je třeba přivést samostatné přívody od zdroje. Na destičce s plošnými spoji není propojení vyznačeno, neboť přívody od zdroje k modulátoru musíme připojit v místě, kde je označena polarita zdroje. Jen napájení z této strany zajišťuje stabilizaci napětí pro oscilátor modulátoru. Napájením z druhé strany by došlo ke zničení Zenerovy diody.

Nejdříve zapojíme modulátor. Transformátor T_1 je navinut na feritovém



Obr. 1. Schéma třípovelového vysílače pro modely



Obr. 3. Sestava vysílače

jádře 4K09030-16. Vinutí v kolektoru má 1 200 závitů a vazební vinutí 200 závitů, obě vodičem o \varnothing 0,1 mm CuP. Transformátor je těsně vsazen do otvoru vyříznutého v destičce a zalepen. Upozorňuji, že při seřizování bude nutné nastavit vzduchovou mezitu. Než připojíme Zenerovu diodu a tranzistor T_4 , nastavíme průtok pro tranzistor T_3 , jak bude popsáno v kapitole o seřízení modulátoru.

Odpory R_9 nejsou upevněny na destičku modulátoru, ale na základní pertinaxovou destičku (obr. 3), která nese i destičky plošných spojů. V pertinaxové destičce jsou otvory vyříznuty tak, aby plošné spoje byly přistupné i ze strany pájení.

Před zapojováním vysokofrekvenčního dílu zhhotovime cívky a tlumivky. Cívka L_1 má 14 závitů na kostře o \varnothing 10 mm s jádrem M7. Vazební cívka L_2 má dva závitů uprostřed na cívce L_1 . L_1 i L_2 jsou vinuté spojovacím kablíkem o \varnothing 0,5 mm. Cívka L_3 je navinuta holým měděným vodičem o \varnothing 1,5 mm. Má 10 závitů, vnitřní průměr 10 mm a délku 20 mm. Cívka L_4 má vnitřní průměr 18 mm a 3,5 závitů. Je umístěna soustředně s cívkou L_3 a je ve středu její délky. Závitů jsou těsně u sebe. Použijeme opředený vodič o \varnothing 0,5 až 1 mm a vinutí slepíme. Tlumivky jsou vinuté na papírové trubičce o \varnothing 4 mm. Každá má 3×20 závitů opředeného vodičem o \varnothing 0,1 mm a jsou vinuté divoce. Budeme-li rezonanční obvody seřizovat pomocí GDO, uděláme to dříve, než na destičku připojíme tranzistory T_1 a T_2 , upevníme krystal a připojíme kondenzátor C_7 .

Sestavený vysílač je na obr. 3. Obaly jsou upevněny na pertinaxové destičce a vzájemně propojeny. Na destičce je i spínač a odpory R_9 .

Krabička vysílače je spájena z materiálu pro plošné spoje. Její vnitřní rozměry jsou 118×118 mm a hloubka 50 mm. Přední víko má v místě výstupu odstraněno fólie. Zdířka antény je upevněna na krabičce a je od fólie odizolována. Na krabičce je upevněn i přepínač povol.

V levém rohu dole (obr. 3) je prostor pro zdroje. Tvoří jej čtyři malé kulaté baterie zapojené do série. I jejich jednotlivé články propojíme navzájem vodičem. K vysílači se připojují běžnými patentkami.

Anténa vysílače je ze tří kusů hliníkové trubky o \varnothing 6 až 8 mm. Prostřední díl

je rozdelen na polovinu, části navzájem izolovány a propojeny prodlužovací cívou s 15 závitým drátem o \varnothing 0,4 mm na kostře o \varnothing 10 mm s jádrem M7.

Seřízení modulátoru

Zenerova dioda a tranzistor T_4 nejsou připojeny. Odpor R_8 je nahrazen odporovým trimrem 100 k Ω . Zdroj se připojuje přes ampérmetr. Odporom R_8 nastavíme kolektorový proud tranzistoru T_3 na 6 mA. Proměnný odporník po nastavení nahradíme pevným odporem.

Zapojíme Zenerovu diodu a tranzistor T_4 . Odebíraný proud se zvětší na 19 mA – příruček je tedy 13 mA. Z toho necelé 2 mA připadají na tranzistor T_4 , zbytek odebírá Zenerova dioda.

Dále potřebujeme nastavit vzduchovou mezitu transformátoru T_7 . Tim nastavíme i rozsah kmitočtu, na nichž při vhodných velikostech odporu R_9 bude pracovat oscilátor modulátoru. Pro nás třípovelový přijímač potřebujeme kmitočet od 1,4 kHz do 3,7 kHz. Kdo může použít kmitočtoměr s vhodným rozsahem, zapojí jej mezi kladný vývod kondenzátoru C_8 a kladný pól zdroje. Výstupní napětí lze podle potřeby nastavit odporem R_7 až do 4 V.

Vzduchovou mezitu budeme nastavovat pro kmitočet 3,7 kHz. Tento kmitočet bude mít oscilátor při odporu $R_9 = 400 \Omega$. Jako R_9 použijeme tedy odpor 400 Ω a vzduchovou mezitu nastavíme kmitočet 3,7 kHz. Jádro transformátoru pak zajistíme, aby nedošlo ke změně vzduchové mezery. Kmitočtu 1,4 kHz dosáhneme při nastavení R_9 asi na 70 k Ω . Připojený osciloskop nás přesvědčí o sinusovém průběhu napětí. V uvedeném rozsahu kolísá výstupní napětí asi o 15 %. Jakékoli potíže, které by se vyskytly, lze téměř s jistotou přičíst transformátoru, který je pak třeba převinout.

Při seřizování kmitočtu modulátoru se neobejdeme bez měření kmitočtu. Pro ty, kteří nemají možnost použít měřicí kmitočtu, uvedu jednoduchý, ale přesný způsob měření. Potřebujeme k němu měřicí přístroj DU10 (Avomet II) a kondenzátor 10 nF, zkoušený na 650 V. Přesnou kapacitu tohoto kondenzátoru nemusíme znát.

Obvod zapojíme podle obr. 4 a postupujeme takto:

1. Vodiče označené šípkami 1, 2 připojíme k síťovému napětí. Změřené napětí si poznamenáme.

2. Přepneme na měření proudu, změříme proud a výsledek měření si opět poznamenáme.

3. Vodiče označené šípkami připojíme na výstup modulátoru. Odporom R_7 nastavíme výstupní napětí na 1 V. Odpor R_9 je v tomto případě nahrazen odparem 400 Ω , jímž se nastavuje kmitočet 3,7 MHz.

4. Přepneme na měření proudu a vzduchovou mezitu transformátoru T_7 nastavíme proud, který vypočítáme podle vzorce

$$I_1 = \frac{f_2}{50U},$$

kde I_1 je nastavovaný proud v μA , I_2 proud zjištěný při síťovém napětí v μA , U naměřené napětí sítě ve V a nastavovaný kmitočet v Hz, v našem případě 3 700 Hz.

Stejně postupujeme i pro kmitočet 1 400 Hz. Odpor R_9 pro tento kmitočet bude asi 70 k Ω .

Pro informaci ještě uvádím velikosti odporu R_9 pro některé kmitočty (první číslo je odpor v k Ω , druhé kmitočet v kHz): 1 – 3; 1,9 – 2,5; 4 – 2; 40 – 1,5. Podle těchto údajů budeme volit potřebné velikosti proměnných odporů, které dáme do vysílače.

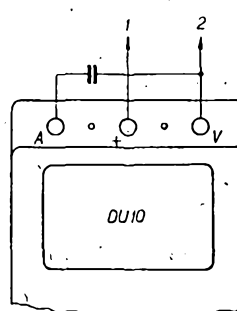
Potřebné napětí pro modulaci vysílače je 0,5 V a nastavíme je odporem R_7 . Na výstup modulátoru je přitom připojen odpor 150 Ω . Správnou hloubku modulace nastavíme až po seřízení výstupního vysílače.

Seřízení vysokofrekvenční části vysílače

Nejdříve seřídime oscilátor. Odpor R_3 nahradíme proměnným odporem 1 k Ω . Tranzistor T_2 ještě na destičku zapojen není. K výstupní části připojíme zdroj 12 V přes ampérmetr. Odporom R_3 nastavíme kolektorový proud tranzistoru T_1 na 3 mA. Je-li všechno v pořádku, oscilátor kmitá. Přesvědčí nás o tom absorpcní vlnoměr nebo již zhotovený a seřízený přijímač, u něhož po zapnutí oscilátoru vysílače ustane šum. Nepracujeme-li oscilátor, dodladujeme jádrem cívku L_1 . Přesné vyladění se provedí poklesem kolektorového proudu. Udržujeme jej však odporem R_3 na 3 mA. Rezonanční obvod oscilátoru bude muset být ve skutečnosti poněkud rozladěn, má-li oscilátor po každém zapnutí vysílače spolehlivě nasadit kmity.

Pro další seřizování zapojíme tranzistor T_2 a připojíme i anténu. Ampérmetr připojíme mezi tlumivku T_1 a záporný pól zdroje. Pro toto měření je na destičce plošný spoj přerušen. Po seřízení vysílače nahradíme tuto část plošného spoje vodičem.

Ručka ampérmetru ukazuje určitou výchylku. Zjištěný proud zmenšujeme



Obr. 4. Zapojení pro seřízení kmitočtu modulátoru bez měřicí kmitočtu

změnami kapacity kondenzátoru C_4 . Musí se nám podařit nastavit minimum. V opačném případě je třeba změnit kapacitu kondenzátoru C_5 .

Po nastavení minima zmenšujeme odpor tak dlouho, až je kolektorový proud tranzistoru T_2 asi 25 mA. Znovu dolaďujeme C_5 i jádro cívky L_1 . Každou změnu proudu vyrovnáme odporem R_3 tak, až bude kolektórový proud 25 mA. Zapnutím a vypnutím vysílače se přesvědčíme o bezpečném nasazení kmitu oscilátoru. Nekmitá-li oscilátor, je kolektorový proud T_2 nulový. Opakuji, že kmitání zaručí mírné rozladění rezonančního obvodu oscilátoru.

Přerušíme spoj mezi Tl_2 a záporným polem zdroje a změníme kolektorový proud tranzistoru T_1 . Nebude větší než 7 mA.

Hloubku modulace nastavíme po úplném sestavení vysílače a jeho vestavění do skřínky. Velikost modulačního napětí nastavíme tak, aby nezpůsobilo změnu kolektorového proudu tranzistoru T_2 .

Zbývá ještě doladit anténu. Doladění antény je třeba dělat ve volném prostoru; potřebujeme k tomu absorpční vlnoměr, který opatříme anténoú a protiváhou. Jejich délku volíme tak, abychom získali co největší výchylku. S vysílačem jsme ve vzdálenosti asi 2 m. Změnami kapacity kondenzátoru C_7 (je nahrazen trimrem) a laděním prodlužovací cívky nastavíme největší výchylku ručky na měřidle absorpčního vlnoměru. Pro snadnou výměnu jsou kondenzátory C_1 , C_5 a C_7 připájeny ze strany fólie.

Zbývá zkouška přijímače s vysílačem. Nejdříve nastavíme modulační kmitočty postupem, který byl popsán v návodu na přijímač. Poslední zkouškou je ověření dosahu zařízení v terénu.

Závěr

Proudem 25 mA při napájecím napětí 12 V je nastavena kolektorová ztráta tranzistoru GF502 asi na 300 mW. Tranzistor opatříme chladičem z hliníkového plechu tloušťky 1 mm o ploše 6 cm². Chladič deska by mohla být zvětšena až na 20 cm² – pak bychom mohli tranzistor GF502 vybudit až na kolektorový proud 50 mA. Tím bychom využili horní hranice kolektorové ztráty tranzistoru GF502 a zvětšili výkon vysílače. V tomto případě by však tranzistor OC170 musel být nahrazen tranzistorem GF502. Na modulátoru by nebylo třeba žádné změny.

Vysílač podle návodu má však dostatečný dosah a proto jsem od verze s větším výkonom upustil.

Údaje všech součástek jsou na obr. 1. Všechny odpory jsou na zatížení 0,05 až 0,1 W. Elektrolytické kondenzátory jsou pro napětí 6 V, jen C_{15} pro napětí 12 V. Kondenzátory ve vf části jsou keramické.

* * *

Křemíkový tranzistor s trojí difúzí a průrazným napětím kolektoru 700 V uvedla na trh Silitron Devices Inc. pod označením 2N5467 (pouzdro TO-3) a 2N5469 (pouzdro TO-66). Mají zesilovací činitel větší než 5 při proudu kolektoru 3 A. Saturační napětí kolektoru je menší než 0,5 V, napětí báze menší než 1,5 V (měřeno při proudu kolektoru 3 A).

GENERÁTOR FM PRO IV. a V. TV pásmo

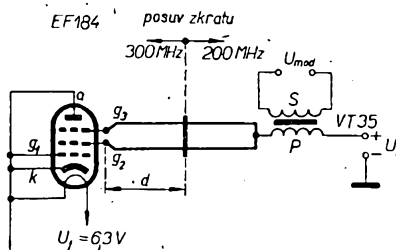
Ing. Jaromír Vajda

Využití vf pentody v zapojení reflexního klystronu, i když je velmi jednoduché a užitečné [1], nenášlo zatím v praxi širší použití. V současné době, kdy se i u nás dostává do popředí problematika decimetrových vln (300 MHz až 3 GHz), např. v souvislosti s příjemem zahraničních televizních vysílačů ve IV. nebo V. televizním pásmu, stojí za to se k tomuto zapojení znova vrátit a využít je např. ke konstrukci kmitočtově modulovaného generátoru, který umožní bez přepínání rozsahu plynulou změnu kmitočtu v celém IV. a V. pásmu (470 MHz až 958 MHz).

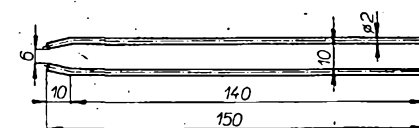
Výsledky experimentálních měření s pentodou EF184 ukazují, že nové typy elektronek s vyvědenou třetí mřížkou (g_3) lze dobré použít místo zastaralých pentod (např. EF6; EF13; EF22 atd.).

Podrobný výklad činnosti pentody zapojené jako reflexní klystron je uveden v [1]; připomeňme si proto jen hlavní zásady, z nichž návrh generátoru vychází.

Funkci modulačních mřížek reflexního klystronu přejímá druhá i třetí mřížka pentody (g_2 a g_3), funkci reflexního klystronu s nulovým potenciálem anoda (a). To znamená, že všechny ostatní elektrody elektronky (kromě 2. a 3. mřížky a jednoho vývodu žhavení) jsou – včetně stínění – uzemněny, a to do společného bodu. K pracovním mřížkám (g_2 a g_3) je připojena (obr. 1) oscilační smyčka, v podstatě krátké Lecherovo vedení, např. o rozměrech podle obr. 2.



Obr. 1. Pentoda EF184 zapojená jako reflexní klystron, s možností kmitočtové modulace



Obr. 2. Rozměrový náčrtok oscilační smyčky

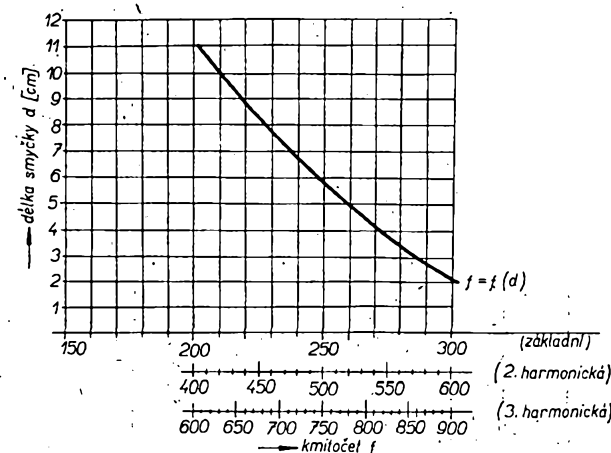
Na vzdálený konec smyčky je připojeno kladné napětí zdroje, a to buďto přímo (jde-li o oscilátor bez modulace), nebo přes primární vinutí modulačního transformátoru, jímž může být běžný výstupní transformátor (jde-li o oscilátor s možností kmitočtové modulace). Pro vlastní funkci takto upraveného generátoru FM není již třeba žádných dalších součástí; z toho vyplývá i značná provozní spolehlivost zapojení.

Při rozměrech oscilační smyčky podle obr. 2 a možnosti měnit její délku pomocí posuvného zkratu, lze při postupném zvětšování napájecího napětí (od nuly až asi do 100 V) najít snadno optimální podmínky pro oscilaci, tj. především takové, aby generátor kmital při různých polohách posuvného zkratu, jímž lze měnit kmitočet oscilátoru. Výkon oscilátoru závisí na kmitočtu – v uvedeném zapojení vzrůstá směrem k vyšším kmitočtům. V souhlasu s vlastnostmi reflexního klystronu dodává oscilátor s dostatečnou intenzitou i vyšší harmonické kmitočty (druhá, třetí, čtvrtá, popřípadě další harmonické kmitočty); toho lze u tohoto zapojení využít k získání širokého ladícího rozsahu.

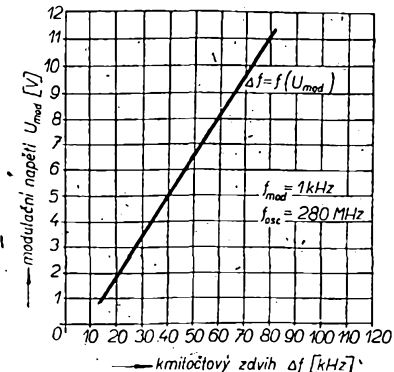
Změnou délky oscilační smyčky (12 cm > d > 2 cm) lze plynule nastavit základní kmitočet oscilátoru v pásmu od 200 MHz do 300 MHz, současně však lze také využít vyšších harmonických kmitočtů – od 400 MHz do 600 MHz (2. harmonická), od 600 MHz do 900 MHz (3. harmonická), od 800 MHz do 1 200 MHz (4. harmonická) atd.

Pro praktickou potřebu je vhodné znázornit si závislost kmitočtu f na délce smyčky (obr. 3).

Chceme-li např. získat z generátoru kmitočet $f = 720$ MHz, promítneme si tento údaj z příslušné dolní stupnice přes stupnici základní ($f = 240$ MHz) až na křivku; z průsečíku vedeme rov-



Obr. 3. Závislost kmitočtu f na délce aktívni části oscilační smyčky d . Dolní kmitočtové stupnice umožňuje snadné určení kmitočtu pomocí vyšších harmonických kmitočtů



Obr. 4. Závislost kmitočtového zdvihu Δf na modulačním napětí U_{mod} při kmitočtu $f = 280 \text{ MHz}$, $f_{mod} = 1 \text{ kHz}$

noběžku a na svislé stupnici čteme potřebnou vzdálenost d , tj. v tomto případě $d = 6,6 \text{ cm}$.

Pokud není k dispozici mikroampérmetr ($10 \mu\text{A}$ až $50 \mu\text{A}$) s paralelně připojenou diodou (např. GA301), lze se o oscilacích přesvědčit žárovkou $6 \text{ V}/0,05 \text{ A}$, připojenou k oscilační smyčce ve vzdálenosti $d/2$ (od patice elektronky). Je-li přitom oscilátor nastaven na nejvyšší kmitočty ($f = \pm 300 \text{ MHz}$), kdy je výkon generátoru největší, žárovka svítí slabým jasem,

popřípadě její vlákno jen žhne. Změnu vysokofrekvenčního výkonu s kmitočtem, popř. s napájecím napětím, lze sledovat fotometricky nebo i pouhým okem, a to při poklesu až asi na 43 % maximální velikosti. Protože smyčka je přímo součástí oscilačního obvodu, změní se při připojení žárovky i kmitočet, na to je třeba při uvádění do chodu pamatovat.

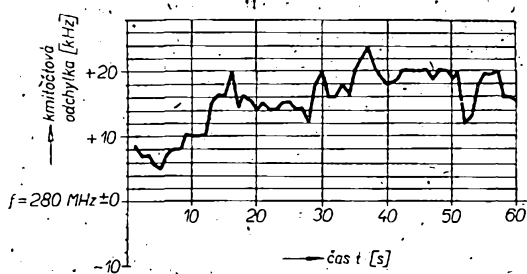
Z principu činnosti pentody v zapojení reflexního klystronu vyplývá možnost snadné kmitočtové modulace: změnou napájecího napětí U_z se mění i kmitočet oscilátoru. Modulační transformátor je proto zapojen v kladné věti napájecího zdroje U_z ; přivádí-li se na jeho sekundární vinutí modulační napětí ($f_{mod} = 1 \text{ kHz}$; $U_{mod} = 0,5 \text{ V}$ až 10 V), lze např. při kmitočtu generátoru $f = 280 \text{ MHz}$ dosáhnout změny kmitočtového zdvihu v rozmezí přibližně od $\pm 10 \text{ kHz}$ do $\pm 75 \text{ kHz}$, jak je zřejmé z obr. 4.

Z obr. 4 je vidět, že např. k dosažení kmitočtového zdvihu $\pm 50 \text{ kHz}$ je třeba modulačního napětí $U_{mod} = 6,3 \text{ V}$.

Všimněme si ještě kmitočtové stabilitu generátoru. Při stabilizovaném napájecím napětí U_z a žhavicím napětí U_r je kmitočtová stabilita po 2 hodinách provozu lepší než 0,15 %. Průběh krátkodobé stability, měřený za stejných podmínek při $f = 280 \text{ MHz}$, je na obr. 5.

Dobrá stabilita vyplývá z jednoduchosti zapojení, tj. především z konstrukčních vlastností pracovních mřížek pentody a z mechanické stability oscilační smyčky včetně zkratovacího pásku. Poznatky získané s pentodou EF184 lze tedy shrnout takto:

Napájecí napětí U_z , potřebné pro vznik oscilaci	<100 V
Délka ladící smyčky d	12 cm > $d > 2 \text{ cm}$
Kmitočtový rozsah:	200 MHz až 300 MHz, > 1 200 MHz
a) základní kmitočet	b) vyšší harmonické
Lineární kmitočtový zdvih v základním pásu	$\Delta f_{max} = \pm 75 \text{ kHz}$
Modulace:	FM $<1,5 \%$ při $4f = \pm 75 \text{ kHz}$
kmitočtová parazitní AM	lepší než 0,15 % za 2 hod., lepší než 0,01 % za 15 min.
Kmitočtová stabilita ($f = 280 \text{ MHz}$)	Max. vf výkon ($f = 280 \text{ MHz}$)
lepsi než 0,15 % za 2 hod., lepsi než 0,01 % za 15 min.	$P_{max} = 85 \text{ mW}$



Obr. 5. Průběh krátkodobé odchylyky kmitočtu $f = 280 \text{ MHz}$ po dvou hodinách provozu

Při praktické konstrukci generátoru je třeba dodržet běžné zásady v technice, především pokud jde o nezádoucí vyzařování a rušení; pro informaci uvádíme, že při nestiněném provedení vyvolal např. 3. harmonický kmitočet na $f = 700 \text{ MHz}$ ve vzdálenosti 75 cm od elektronky EF184 pouhým vyzařováním oscilační smyčky (popřípadě přívodů) intenzitu pole přibližně 10 mV/m .

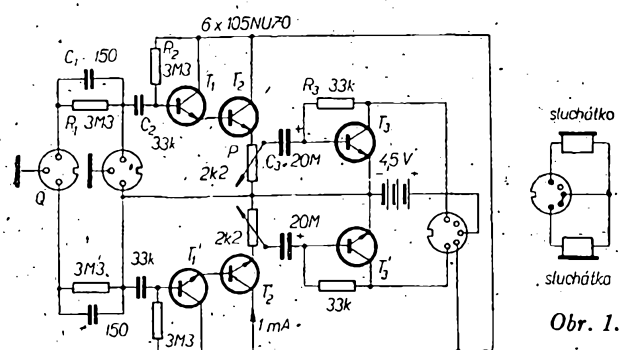
Literatura

- [1] Vajda, J.: Reflexní klystron z běžné pentody. AR 2/55, str. 46 až 50.

JEDNODUCHÝ ZESILOVAČ PRO STEREOFONNÍ SLUCHÁTKA

Zesilovač je osazen v každém kanálu třemi tranzistory. První dva tranzistory tvoří emitorový sledovač v Darlingtonově zapojení. To znamená, že se chovali jako tranzistor se zesilovacím činitelem $\beta = \beta_1 \beta_2$ (v našem případě asi 1 000). Vstupní odpor takové dvojice je $R_{vst} = \beta_1 \cdot \beta_2 \cdot R_E = 2,2 \cdot 10^3 \Omega$, proto $R_{vst} \approx 2,0 \text{ M}\Omega$. S vazebním kondenzátorem 33 nF vyhovuje dolní mezní kmitočet teoreticky

$$f_d = \frac{1}{2\pi R_{vst} C_v} = \frac{1}{2\pi \cdot 33 \cdot 10^{-9} \cdot 2 \cdot 10^6} \approx 2,4 \text{ Hz.}$$

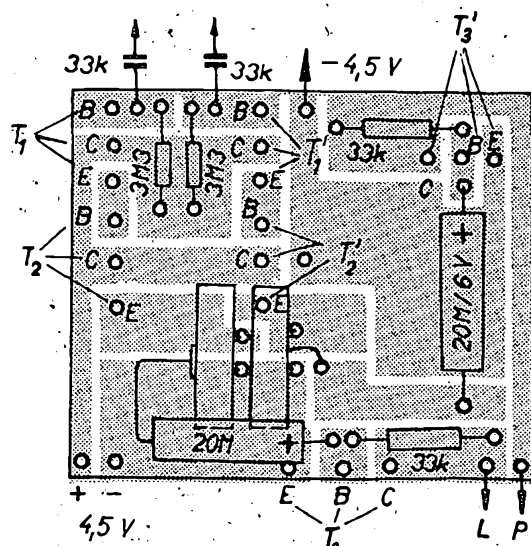


Obr. 1. Schéma zesilovače

dvojitý miniaturní potenciometry se u nás nevyrobí. Praxe ukázala, že to nevadí, neboť během provozu většinou není třeba hlasitost měnit.

Zesilovač je vestavěn v krabičce od mýdla o rozměrech $70 \times 95 \times 35 \text{ mm}$.

, V. Král



Obr. 2. Plošné spoje zesilovače C43

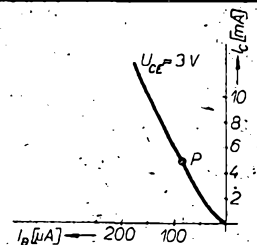
běžky s vodorovnou osou, které vytvou na svislé ose, tj. na ose kolektorového — (3) příslušnou změnu I_C . V našem případě bude $\Delta I_C = 3,2 \text{ mA} - 3 \text{ mA} = 0,2 \text{ mA} = 200 \mu\text{A}$. Dosazením získáme hledaný parametr h_{22e} jako:

$$h_{22e} = \frac{\Delta I_C}{\Delta U_{CE}} = \frac{200}{1} = 200 \mu\text{S}.$$

Podobným postupem lze určit i ostatní parametry tranzistoru z příslušných skupin jeho charakteristik.

Odpovědi: (1) ΔU_{CE} , (2) 1, (3) proudu:

Obr. 110.



KONTROLNÍ TEST 2.42

A Na obr. 110 je znázorněna převodní charakteristika tranzistoru v zapojení se společným emitorem, a to jako závislost I_C na I_B . Určete velikost parametru h_{22e} v pracovním bodě P.

Příklad použití tranzistoru

Základním použitím tranzistorů je – podobně jako u vakuových triod – zesilování signálů. Protože v zapojení tranzistoru se společnou bází lze získat jen zesílení napětí a výkonu, nikoli však zesílení — (1), a také proto, že v zapojení se společným kolektorem lze získat zesílení proudu a výkonu, nikoli však zesílení napětí, je v praxi nejpoužívanější zapojení tranzistoru se společným emitorem. V tomto zapojení totiž zesiluje tranzistor napětí, proud i výkon.

Tranzistory plní v radioelektronice ještě mnoho jiných úkolů – např. ve zdrojích (generátorech) střídavých signálů; v nejrůznějších obvodech rozhlasových nebo televizních přijímačů, ve vysílačích, v elektrotechnických měřicích přístrojích atd. Obvody s tranzistory a vakuovými elektronkami poznáme blíže až v dalších statích.

Odpovědi: (1) proudu.

2.11.2.3. Značení polovodičových elektronek

Podobně jako vakuové elektronky, značí se i polovodičové elektronky zvláštními znaky, které vyjadřují některé důležité údaje o dané součástce. Uvedeme si značení polovodičových součástek podle nové normy TESLA. Podle této normy se skládá znak součástky ze dvou částí – ze skupiny písmen a ze skupiny číslic. Ukážeme si to na příkladu:

GC

500

První písmeno první části znaku udává použitý polovodičový materiál, přičemž jednotlivá písmena mají tento význam:

G – germanium,
K – křemík.

Druhé písmeno první části znaku udává druh součástky, tedy např. jde-li o diodu, tranzistor apod. Význam jednotlivých písmen:

- A – diody,
- C – nízkofrekvenční tranzistory,
- D – nízkofrekvenční výkonové tranzistory,
- E – tunelové diody,
- F – vysokofrekvenční tranzistory,
- L – vysokofrekvenční výkonové tranzistory,
- P – fotodiody a fototranzistory,
- S – spínací tranzistory,
- U – výkonové spínací tranzistory,
- T – řízené usměrňovače (tyristory),
- Y – usměrňovače,
- Z – Zenerovy diody.

Druhou část znaku tvoří třímístná skupina — (1), která slouží k rozlišení jednotlivých typů polovodičových součástek a nemá žádný konkrétní význam.

Závěrem si uvedeme několik příkladů značení polovodičových elektronek:

GC500 – germaniový nízkofrekvenční tranzistor,

GS501 – — — (2) spínací tranzistor (tranzistor pro spínací účely),

KF506 – křemíkový vysokofrekvenční — — (3),

KA201 – — — (4) dioda.

Odpovědi: (1) čísla, (2) germaniový, (3) tranzistor, (4) křemíková.

SPRÁVNÉ ODPOVĚDI NA KONTROLNÍ TESTY

Kontrolní test 2-40: A 3), B 1), C 2), D 1)

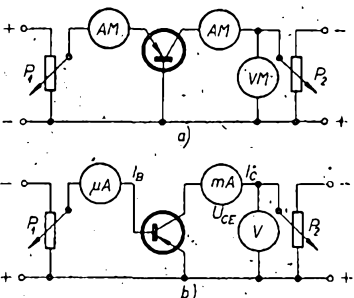
Kontrolní test 2-41: A 2), B 1), C 3), D $\beta = 49$

Charakteristiky tranzistorů

Při posuzování vlastností vakuových elektronek i tranzistorů nás často zajímají souvislosti jejich obvodových veličin, tj. souvislosti mezi jejich vstupním napětím a proudem a výstupním napětím a proudem. Výstupními obvodovými veličinami jsou u vakuových triod anodové napětí a anodový mřížkové napětí a mřížkový proud. Protože však řídící mřížka vakuových elektronek má zpravidla záporné napětí (předpětí), neprotéká mřížkovým obvodem prakticky žádný proud. U vakuových triod stačí tedy vyjadřovat souvislost tří obvodových veličin: anodového napětí, anodového proudu a mřížkového (1); vstupními veličinami mřížkové napětí a mřížkový proudu. Protože však řídící mřížka vakuových elektronek má zpravidla záporné napětí (předpětí), neprotéká mřížkovým obvodem prakticky žádný proud. U vakuových triod stačí tedy vyjadřovat souvislost tří obvodových veličin: anodového napětí, anodového proudu a mřížkového (2). K vyjádření těchto tří hlavních obvodových veličin vakuových triod vystačíme obvykle se dvěma charakteristikami – anodovou a převodní.

U tranzistorů vstupním obvodem proud protéká. Při vyjadřování hlavních vlastností tranzistoru musíme proto počítat se souvislostmi čtyř obvodových veličin – nejen výstupního proudu a napěti, ale také vstupního proudu a napěti. U tranzistorů se proto setkáváme s větším počtem charakteristik než u vakuových triod.

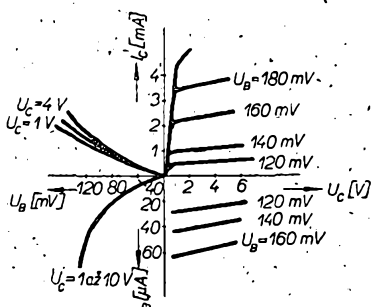
Často se kreslí tzv. úplná soustava charakteristik tranzistoru. Příklad takové charakteristiky pro tranzistor v zapojení se spojencím emitorem je na obr. 106. Tuto sou-



Obr. 107.

stavu tvoří čtyři skupiny charakteristik. Vpravé horní čtvrtině se kreslí tzv. výstupní charakteristiky tranzistoru, které vyjadřují souvislost výstupního proudu tranzistoru s jeho výstupním napětím při stálém vstupním napěti nebo proudu. V našem případě charakteristik pro tranzistor v zapojení se spojencím emitorem vyjadřují výstupní charakteristiky souvislost kolektorového proudu I_C s (3) napětím U_C při stálém napětí báze U_B .

V levé horní čtvrtině soustavy charakteristik podle obr. 106 je vynesena skupina charakteristik převodních – ty vyjadřují v našem případě souvislost kolektorového proudu I_C s (4) báze U_B při stálém kolektorovém napětí U_C . V levé spodní čtvrtině je vynesena vstupní charakteristika – vyjadřuje souvislost vstupního proudu a vstupního napěti, v našem případě souvislost proudu báze I_B s napětím báze U_B při stálém výstupním napětí U_C . Konečně v pravé dolní čtvrtině soustavy charakteristik je vynesena skupina tzv. zpětných převodních charakteristik (zkráceně se jim říká jen zpětné charakteristiky), které vyjadřují souvislost kolektorového napětí U_C a proudu báze I_B při stálém napětí báze U_B .



Obr. 106.

Odpovědi: (1) proud, (2) napětí, (3) kolektovým, (4) napětím.

V praxi se nejčastěji používá skupina výstupních charakteristik. Zapojení pro měření výstupních charakteristik tranzistoru je na obr. 107a; je to zapojení pro měření výstupních charakteristik tranzistoru zapojeného se společnou bází, na obr. 107b zapojení pro měření výstupních charakteristik tranzistoru zapojeného se společným

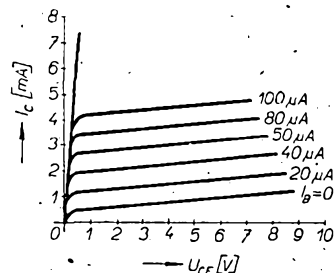
(1). Postup měření je v obou zapojeních v podstatě shodný – popišeme si měření v zapojení podle obr. 107b – tj. v zapojení se společným emitorem. V soustavě skupin charakteristik znázorněné na obr. 106 byly výstupní charakteristiky tranzistoru měřeny při stálém vstupním napětí U_B tranzistoru. Pro porovnání si nyní popišeme měření výstupních charakteristik při stálém vstupním proudu I_B .

Při měření začneme např. proudem báze $I_B = 0$ – velikost tohoto vstupního proudu čteme na mikroampérmetru μA . Potenciometrem P_2 nastavíme určité, zpočátku malé výstupní napětí U_C – pro přesnost jsme vyjádřili skutečnost, že jde o napětí mezi kolektorem a emitorem tranzistoru označením U_{CE} . Velikost tohoto napětí čteme na voltmetru V. Při nastavené velikosti výstupního napětí U_{CE} protéká tranzistorem kolektorový proud I_C určité velikosti, kterou čteme na stupničci miliamplérmetru mA.

Při dalším postupu měření zvětšíme napětí U_{CE} a čteme opět odpovídající velikost kolektorového (2). Tímto postupem pokračujeme. Zákreslení naměřených údajů do souřadnicové soustavy podle obr. 108 získáme řadu bodů, jejichž spojením vznikne jedna křivka skupiny výstupních charakteristik, a to křivka pro vstupní proud $I_B =$ (3).

Pak nastavíme jinou velikost vstupního proudu, např. $I_B = 20 \mu A$, udržujeme ji stálou, postupně nastavujeme různé velikosti napětí U_{CE} a čteme odpovídající údaje kolektorového proudu I_C . Vynesením naměřených údajů do souřadnicové soustavy získáme další křivku skupiny výstupních charakteristik, platnou pro vstupní proud $I_B = 20 \mu A$. Potom znovu zvětšíme proud I_B , zákreslíme další křivku atd., až postupně získáme celou skupinu křivek tvořících výstupní charakteristiku tranzistoru (příklad je na obr. 108).

Odpovědi: (1) emitorem, (2) proudu, (3) 0.



Obr. 108.

Charakteristické veličiny tranzistoru

Podobně jako používáme při hodnocení a porovnávání vakuových elektronek charakteristické veličiny „strmost S“, „vnitřní odpor R_i “, „zesilovací činitel μ “, popřípadě „průnik D“, vycházíme z podobných charakteristických veličin i při hodnocení a porovnávání tranzistorů. Dvě z těchto charakteristických veličin tranzistoru – proudové zesilovací činitele α a β – jsme již poznali. Vísměře si ještě stručně tzv. čtyřplošových charakteristických veličin (parametrů) tranzistoru – podrobněji o nich ještě budeme hovořit později.

Tranzistorová technika je ještě velmi mladý obor; způsoby značení a používání jednotlivých charakteristických veličin (parametrů) nejsou ještě zcela ustáleny. U různých výrobčů tranzistorů se setkáváme s různým značením i různými parametry. Zmíním se prozatím o těch, které se u nás v současné době nejběžněji používají – jsou to tzv. smíšené (hybridní parametry), zkráceně parametry h.

Parametr h_{11} (če se „h jedna-jedna“) představuje vstupní impedanci tranzistoru při spojení jeho výstupních svorek pro střídavý signál na krátko. Je dán vztahem:

$$h_{11} = \frac{\Delta U_1}{\Delta I_1}; \quad U_2 = \text{konst.}$$

Parametr h_{11} je tedy definován jako poměr změny vstupního napětí tranzistoru ke změně jeho vstupního proudu při stálém výstupním napětí, tj. při nulové změně výstupního napětí.

Parametr h_{22} představuje výstupní admittance tranzistoru při jeho vstupních svorek pro střídavé signály naprázdno. Je dán vztahem:

$$h_{22} = \frac{\Delta I_2}{\Delta U_2}; \quad I_1 = \text{konst.}$$

Tento parametr je tedy definován jako poměr změny proudu (1) proudu ke změně výstupního napětí při stálém vstupním proudu, tj. při nulové změně výstupního proudu.

Parametr h_{12} udává poměr změny vstupního napěti tranzistoru naprázdno ke změně jeho výstupního napěti:

$$h_{12} = \frac{\Delta U_1}{\Delta U_2}; \quad I_1 = \text{konst.}$$

Parametr h_{21} vyjadřuje proudový zesilovací činitel tranzistoru při zapojení výstupních svorek nakrátko. Je dán vztahem:

$$h_{21} = \frac{\Delta I_2}{\Delta I_1}; \quad U_2 = \text{konst.}$$

Tento parametr je tedy definován jako poměr změny výstupního proudu ke změně proudu (2) při stálém výstupním napěti, tj. při nulové změně tohoto napěti.

Uvedené parametry nevyjadřují v této formě, jde-li o tranzistor zapojený se společným emitorem, se společnou bází nebo se společným kolektorem. Skutečná velikost jednotlivých parametrů však záleží na tom, v jakém zapojení tranzistor pracuje. Pro rozlišení se proto k jednotlivým parametrům připisují ještě další indexy. Při zapojení se společnou bází se zpravidla připisuje index b , při zapojení se společným emitorem index e a při zapojení se společným kolektorem index c .

Pozn. red. Vzhledem k jednotnosti značení čtyřpolových i vlastních parametrů tranzistorů se vžil zvyk, značit malými písmeny a malými indexy všechny sčítavé parametry (např. h_{21b}) a stejnosemárné parametry malými písmeny a velkými indexy, např. h_{21E} ($= \beta$).

Tak např. pro tranzistor 0C75 jsou v katalogu tyto údaje při zapojení se společnou bází: $h_{11b} = 14 \Omega$, $h_{12b} = 10^{-3}$, $h_{21b} = -0,989$, $h_{22b} = 1,4 \mu S$. Tyto údaje byly naměřeny při napěti $U_{CE} = -2 V$, $I_C = 3 mA$ a kmitočtu $f = 1 kHz$. Pro zapojení téhož tranzistoru se společným emitorem se uvádí: $h_{11e} = 1,3 k\Omega$, $h_{12e} = 8 \cdot 10^{-4}$, $h_{21e} = 90$, $h_{22e} = 125 \mu S$. Tyto údaje byly měřeny při $U_{CE} = -2 V$, $I_C = 3 mA$, $f = 1 kHz$.

V poslední době se stále častěji používají tzv. parametry y ; o nich se podrobněji ještě zmíním.

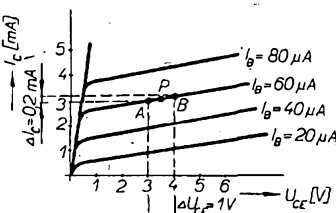
Odpovědi: (1) výstupního, (2) vstupního.

Podobně jako parametry vakuové triody S , R_1 , μ a D , platí údaje tranzistoru jen pro určitý pracovní režim (pracovní bod) nebo pro jeho blízké okolí. Velikosti parametrů tranzistoru lze, podobně jako u vakuových elektronek, určit z charakteristiky daného tranzistoru. Pro ilustraci si to ukážeme na příkladu. Máme např. určit velikost parametru h_{22} z výstupní charakteristiky tranzistoru znázorněné na obr. 109, a to v pracovním bodě P .

Přípomenejme si nejprve definici parametru h_{22} – víme, že je to poměr změny výstupního proudu ke změně výstupního napětí. V našem případě, tj. pro zapojení tranzistoru se společným emitorem (viz danou výstupní charakteristiku na obr. 109) je výstupním proudem I_2 tranzistoru proud kolektoru I_C , takže platí namísto obecného ΔI_2 změna ΔI_C . Výstupním napětím je v našem případě napětí mezi kolektorem a emitorem, tj. U_{CE} , takže můžeme psát $\Delta U_2 = \Delta U_{CE}$. (1). Pro nás případ tedy bude:

$$h_{22e} = \frac{\Delta I_C}{\Delta U_{CE}}; \quad I_B = \text{konst.}$$

Z posledního vztahu je zřejmé, že budeme určovat hledaný parametr pro určitý stálý výstupní proud I_B – pro daný pracovní bod, který leží na charakteristice pro $I_B = 60 \mu A$, tedy pro tento proud. Zvolíme malou změnu výstupního napětí v blízkosti daného pracovního bodu, např. mezi $U_{CE} = 3 V$ a $U_{CE} = 4 V$, tedy $\Delta U_{CE} = 1 V$. (2). V bodech pro zvolené velikosti U_{CE} vztyčíme kolmice – ty nám protinou charakteristiku pro $I_B = 60 \mu A$ v bodech označených A , B . V těchto bodech vedeme rovnou-



Obr. 109.

Typ	Druh	Použití	U_{CE} [V]	I_C [mA]	h_{FE} h_{FE}^*	f_T [MHz]	T_a T_c [°C]	P_{tot} P_C^* max [mW]	U_{CB} max [V]	U_{CE} max [V]	I_C max [mA]	T_j max [°C]	Pouzdro	Výrobce	Patice	Náhrada TESLA	Rozdíly					
																	P_C	U_C	f_T	h_{21}	Spín. Vl.	F
AD436/20	Gj p	NFv	2	1,5 A	40			25	15W	30	20	3 A	80	TO-3	Iskra	31	OC26	=	=	=	=	=
AD436/30	Gj p	NFv	2	1,5 A	40			25	15W	40	30	3 A	80	TO-3	Iskra	31	4NU73	=	>	=	<	
AD436/50	Gj p	NFv	2	1,5 A	40			25	15W	60	50	3 A	80	TO-3	Iskra	31	5NU73	=	=	=	=	<
AD437	Gj p	NFv	3	1 A	22 > 15	0,2	25	6 W	45	45	3 A	75	TO-3	Ei	31	4NU73	>	=	=	=	=	
AD437/20	Gj p	NFv	2	3 A	40			25	15 W	30	20	6 A	85	TO-3	Iskra	31	OC26	>	=	=	=	=
AD437/30	Gj p	NFv	2	3 A	40			25	15 W	40	30	6 A	85	TO-3	Iskra	31	4NU72	>	>	=	=	<
AD438	Gj p	NFv	7	1 A	26 > 18	0,2	25	10 W	40	40	3 A	75	TO-3	Ei	31	4NU73	=	>	=	=	=	
AD439	Gj p	NFv	3	1 A	22 > 12	0,2	25	10 W	60	60	3 A	75	TO-3	Ei	31	5NU73	=	>	=	=	=	
AD450	Gj p	NFv	2	4,2 A	17 > 14	0,2	25	10 W	16	16	5 A	75	TO-3	Ei	31	2NU73	=	>	=	=	=	
AD451	Gj p	NFv	2	4 A	20 > 16	0,2	25	10 W	16	16	5 A	75	TO-3	Ei	31	2NU73	=	>	=	=	=	
AD452	Gj p	NFv	2	4 A	40 > 30	0,2	25	10 W	24	24	5 A	75	TO-3	Ei	31	2NU73	=	=	=	=	<	
AD453	Gj p	NFv	2	4,2 A	17 > 14	0,2	25	10 W	24	24	5 A	75	TO-3	Ei	31	2NU73	=	=	=	=	=	
AD454	Gj p	NFv	2	4 A	20 > 16	0,2	25	10 W	24	24	5 A	75	TO-3	Ei	31	2NU73	=	=	=	=	=	
AD455	Gj p	NFv	2	3 A	50 > 32	0,2	25	10 W	24	24	5 A	75	TO-3	Ei	31	OC26	=	>	=	=	=	
AD456	Gj p	NFv	2	4,2 A	16 > 14	0,2	25	10 W	40	40	5 A	75	TO-3	Ei	31	4NU73	=	>	=	=	=	
AD457	Gj p	NFv	2	3,3 A	33 > 23	0,2	25	10 W	40	40	5 A	75	TO-3	Ei	31	4NU73	=	>	=	=	<	
AD458	Gj p	NFv	2	4,7 A	13 > 11	0,2	25	10 W	60	60	5 A	75	TO-3	Ei	31	5NU73	=	=	=	=	=	
AD459	Gj p	NFv	2	2,8 A	28 > 21	0,2	25	10 W	60	60	5 A	75	TO-3	Ei	31	5NU73	=	=	=	=	<	
AD460	Gj p	NFv	2	5,3 A	15 > 13	0,2	25	10 W	16	16	6 A	75	TO-3	Ei	31	2NU73	<	>	=	=	=	
AD461	Gj p	NFv	2	5 A	20 > 17	0,2	25	10 W	16	16	6 A	75	TO-3	Ei	31	2NU73	<	>	=	=	=	
AD462	Gj p	NFv	2	3,75 A	37 > 25	0,2	25	10 W	16	16	6 A	75	TO-3	Ei	31	OC26	<	>	=	=	=	
AD463	Gj p	NFv	2	5,2 A	14 > 13	0,2	25	10 W	24	24	6 A	75	TO-3	Ei	31	2NU73	<	=	=	=	=	
AD464	Gj p	NFv	2	5 A	20 > 17	0,2	25	10 W	24	24	6 A	75	TO-3	Ei	31	2NU73	<	=	=	=	=	
AD465	Gj p	NFv	2	3,7 A	37 > 25	0,2	25	10 W	24	24	6 A	75	TO-3	Ei	31	2NU73	<	=	=	=	<	
AD466	Gj p	NFv	2	5,4 A	14 > 13	0,2	25	10 W	40	40	6 A	75	TO-3	Ei	31	4NU73	<	>	=	=	=	
AD467	Gj p	NFv	2	4,2 A	28 > 22	0,2	25	10 W	40	40	6 A	75	TO-3	Ei	31	4NU73	<	>	=	=	<	
AD468	Gj p	NFv	2	5,3 A	13 > 11,5	0,2	25	10 W	60	60	6 A	75	TO-3	Ei	31	5NU73	<	=	=	=	=	
AD469	Gj p	NFv	2	4,6 A	23 > 18	0,2	25	10 W	60	60	6 A	75	TO-3	Ei	31	5NU73	<	=	=	=	<	
AD542/I	Gj p	NFv	6	10 A	13 > 10	0,2	25	45 W	40	30	8 A	70	~TO-68	Ei	36	2NU74	=	>	=	=	>	
AD542/II	Gj p	NFv	6	10 A	13 > 10	0,2	25	45 W	60	40	8 A	70	~TO-68	Ei	36	4NU74	=	>	=	=	>	
AD545/II	Gj p	NFv	3	15 A	15 > 10	0,2	25	45 W	40	30	12 A	70	~TO-68	Ei	36	2NU74	=	>	=	=	>	
AD545/III	Gj p	NFv	3	15 A	15 > 10	0,2	25	45 W	60	40	12 A	70	~TO-68	Ei	36	4NU74	=	>	=	=	>	
AD1202	Gj p	NFv	7	300	35	0,2	25	13,5 W	45	45	1,5 A	75	TO-3	Tung	31	4NU72	<	=	=	=	<	
AD1203	Gj p	NFv	7	300	35	0,2	25	13,5 W	60	60	1,5 A	75	TO-3	Tung	31	5NU72	<	=	=	=	<	
ADY18	Gj p	NFv	2	3 A	15 > 10	0,1*	25	45 W	60	15	15 A	75	T	36	4NU74	=	=	=	=	=		
ADY22	Gj p	NFv	0	1 A	110 > 15	0,25	25	24 W	30	15	10 A	85	TO-3	STC	31	2NU74	>	>	=	=	=	
ADY23	Gj p	NFv	0	1 A	150 > 20	0,25	25	24 W	80	40	10 A	85	TO-3	STC	31	6NU74	>	>	=	=	=	
ADY24	Gj p	NFv	0	1 A	150 > 50	0,25	25	24 W	80	40	10 A	85	TO-3	STC	31	7NU74	>	>	=	=	=	
ADY25	Gj p	NFv	0	1 A	150 > 20	0,25	25	24 W	100	60	7,5 A	85	TO-3	STC	31	6NU74	>	>	=	=	=	
ADY26	Gj p	NFv	0	25 A	25 > 15'		30c	100 W	80	60	25 A	90	TO-36	C, P, V	36	—						
ADY27	Gj p	NFv	1	1 A	IV:30–60 V:50–100	0,45	45c	27,5 W	32	32	3,5 A	100	TO-3	S	31	OC26 OC27	<	=	=	=	=	
ADY28	Gj p	NFv	2	2 A	Y:30–70 X:50–100	0,5	45c	33 W	80	80	6 A	95	TO-3	D, C	31	6NU74 7NU74	>	>	<	=	=	
ADZ11	Gj p	NFv, I	2	5 A	> 25	> 0,08	55c	45 W	50	40	15 A	90		RTC, M, V	36	4NU74	<	>	=	=	=	
ADZ12	Gj p	NFv, I	2	5 A	> 25	> 0,1	55c	45 W	80	60	15 A	90		RTC, M, V	36	6NU74	<	>	=	=	=	
AF101	Gj p	S, MF	6	0,5	50	10 > 3,5	45	30*	20	12		75	TO-1	T	1	OC169	>	=	>	=	=	
AF102	Gdf p	VF,S,O	12	1	> 20*	180	45	50*	25	10		75	7A4	V	42	GF506	=	=	>	=	=	
AF105	Gj p	MF	6	0,5	60	22 > 12	45	30	25	12		75	TO-1	T	1	OC169	>	=	=	=	=	
AF105a	Gj p	MF	6	0,5	> 50	22 > 12	45	30	25	12		75	TO-1	T	1	OC169	>	=	=	=	=	
AF106	GM p	VF,S	12	1	50 > 25	220	45	60	25	18	10	90	18A4	T,V,S	6	GF505	=	=	=	=	=	
AF107	GM p	VF,S,O	10	10	> 12*	330 > 200	45	500*	30	15	70	90	~TO-5	S	2	GF504	=	<	=	=	=	
AF108	GM p	VF,S,O	10	10	> 25	330 > 200	45	500*	30	15	70	90	~TO-5	S	2	GF504	=	<	=	=	=	
AF109	GM p	VF,S,O	10	2	100 > 20	280	45	60	25	18	12	90	18A4	S	6	GF505	=	=	<	=	=	
AF109R	GM p	VF°,S°	12	1,5	50 > 20	260	45	60	20	15	10	90	18A4	T	6	AF109R	=	=	=	=	=	
AF111	Gj p	VF,MF				50 > 20	45	65	20	15	10	75	TO-1	I	2	GF517	=	=	=	=	=	
AF112	Gj p	MF,S				60 > 25	45	65	20	15	10	75	TO-1	I	2	GF516	=	>	=	=	=	
AF113	Gj p	Vv				80 > 30	45	65	20	15	10	75	TO-1	I	2	GF514	=	>	=	=	=	
AF114	Gdf p	Vv	6	1	150	75	45	50	20	20	10	75	7A4	V,S	42	GF514	=	=	=	=	=	
AF115	Gdf p	S,Vv	6	1	150	75	45	50	20	20	10	75	7A4	V,S	42	GF514	=	=	=	=	=	
AF116	Gdf p	MF-FM	6	1	150	75	45	50	20	20	10	75	7A4	V,S	42	GF516	=	=	=	=	=	
AF117	Gdf p	VF, MF	6	1	150	75	45	50	20	20	10	75	7A4	V,S	42	GF516	=	=	<	=	=	
AF118	Gdf p	VFv, MF	2	10	180 > 35	175 > 125	25	375	70	20	30	75	7A4	T,V,S	42	—						
AF119	Gdf p	VFv, MF	5	2	80 > 33	270	25	135	25</td													

Typ	Druh	Použití	U_{OE} [V]	I_C [mA]	h_{21B} h_{21e}^*	f_T f_{a^*} [MHz]	T_B T_C [°C]	P_{tot} P_C^* max [mW]	U_{CB} max [V]	U_{Cis} max [V]	I_C max [mA]	T_J max [°C]	Pouzdro	Výrobce	Patice	Náhrada TESLA	Rozdíly					
																	P_C	U_C	f_T	h_{21}	Spín. Vr.	F
AF121S	Gdf p	VF,MF	10	3	80>33	270	45	150	32	32	10	90	18B4	V	6	GF504	>	<	=	=	=	=
AF122	Gdr p	VF,S,O	9	3	>60	275	45	30	20	10	75	~TO-1	T	2	GF505	>	=	=	=	=	=	
AF124	Gdf p	VFv	6	1	140>40	75	30	60	32	15	10	75	18A4	S	6	GF514	>	=	=	=	=	=
AF125	Gdf p	Sv	6	1	140>40	75	30	60	32	15	10	75	18A4	S	6	GF514	>	=	=	=	=	=
AF126	Gdf p	MF-FM	6	1	140>40	75	30	60	32	15	10	75	18A4	S	6	GF516	>	=	=	=	=	=
AF127	Gdf p	VF,MF	6	1	140>40	75	30	60	32	15	10	75	18A4	S	6	GF516	>	=	=	=	=	=
AF128	Gj p	VF	2	0,25	25—65 \ddagger 55—135 \ddagger >115 \ddagger	6>3,2	45	12	9	6	10	60	T	S-1	—	—	—	—	—	—	—	—
AF129	Gj p	Vv	6	1	50>20	160>120	45	30	20	20	10	75	TO-18	I	2	GF506	>	=	>	>	=	=
AF130	Gj p	VFv	6	1	60>40	150>120	45	30	20	20	10	75	TO-18	I	2	GF506	>	=	>	>	>	=
AF131	Gj p	Sv	6	1	75>40	100>80	45	30	20	20	10	75	TO-18	I	2	GF514	>	>	>	=	=	=
AF132	Gj p	MF,V,S	6	1	75>40	90>70	45	30	20	20	10	75	TO-18	I	2	GF515	>	>	>	=	=	=
AF133	Gj p	MF,S,V \ddagger	6	1	35>20	100>80	45	30	20	20	10	75	TO-18	I	6	GF514	>	>	>	=	=	=
AF134	Gdf p	VFv	6	1	110 \ddagger	55	45	60	25	18	75	18B4	T,Tung	6	GF514	>	>	>	=	=	=	
AF135	Gdf p	Sv	6	1	100 \ddagger	50	45	60	25	18	75	18B4	T,Tung	6	GF514	>	=	=	=	=	=	
AF136	Gdf p	S	6	1	80 \ddagger	40	45	60	25	18	75	18B4	T	6	GF516	>	=	=	=	=	=	
AF136T	Gdr p	VF,S,O	6	1	100>20	45	25	55	20	10	75	TO-1	Tung	2	GF516	>	=	=	=	=	=	
AF137	Gdf p	VF,S	6	1	60 \ddagger	35	45	60	25	18	75	18B4	T	6	GF516	>	=	=	=	=	=	
AF137T	Gdr p	MF	6	1	100>20	35	25	55	20	10	75	TO-1	Tung	2	GF516	>	=	=	=	=	=	
AF138	Gdf p	MF	6	1	100>60	40	45	60	25	18	75	18B4	T	6	GF516	>	=	=	=	=	=	
AF139	GM p	VF,S,O	12	1,5	50>10	550	45	60	20	15	10	90	18A4	T	6	GF507	>	=	=	=	=	=
AF142	Gdr p	VF	6	1,5	100 \ddagger	150	25	80	30	10	70	TO-7	ATES	42	GF514	<	=	<	=	=	=	
AF143	Gdr p	S	6	1,5	85 \ddagger	130	25	80	30	10	70	TO-7	ATES	42	GF514	<	=	<	=	=	=	
AF144	Gdr p	MF,S	6	1,5	65 \ddagger	130	25	80	30	10	70	TO-7	ATES	42	GF515	<	=	<	=	=	=	
AF146	Gdr p	S-AM	6	1	100 \ddagger	—	25	80	30	10	70	TO-7	ATES	42	GF515	<	=	<	=	=	=	
AF147	Gdr p	VF	6	1	80 \ddagger	—	25	80	24	10	70	TO-7	ATES	42	GF517	<	=	<	=	=	=	
AF148	Gdr p	S	6	1	100 \ddagger	—	25	80	24	10	70	TO-7	ATES	42	GF517	<	=	<	=	=	=	
AF149	Gdr p	MF-FM	6	1	225 \ddagger	—	25	80	24	10	70	TO-7	ATES	42	GF517	<	=	<	=	=	=	
AF150	Gdr p	MF-AM	6	1	70 \ddagger	—	25	80	24	10	70	TO-7	ATES	42	GF517	<	=	<	=	=	=	
AF164	Gdr p	VF	6	1,5	100 \ddagger	150	25	80	30	10	70	TO-44	ATES	43	GF514	<	=	<	=	=	=	
AF165	Gdr p	S	6	1,5	85 \ddagger	130	25	80	30	10	70	TO-44	ATES	43	GF514	<	=	<	=	=	=	
AF166	Gdr p	MF,S	6	1,5	65 \ddagger	80	25	80	20	10	70	TO-44	ATES	43	GF515	<	=	<	=	=	=	
AF168	Gdr p	S	6	1	100 \ddagger	—	25	80	30	10	70	TO-44	ATES	43	GF515	<	=	<	=	=	=	
AF169	Gdr p	VF	6	1	80 \ddagger	—	25	80	24	10	70	TO-44	ATES	43	GF517	<	=	<	=	=	=	
AF170	Gdr p	S	3	1	130 \ddagger	60	25	80	20	10	90	TO-44	ATES	43	GF517	<	=	<	=	=	=	
AF171	Gdr p	MF-AM	6	1	225 \ddagger	—	25	80	24	10	70	TO-44	ATES	43	GF517	<	=	<	=	=	=	
AF172	Gdr p	MF-AM	6	1	70 \ddagger	—	25	80	24	10	70	TO-44	ATES	43	GF517	<	=	<	=	=	=	
AF178	Gdf p	VF,MF	12	1	>20	180	25	110	25	25	10	75	TO-12	T,P	6	GF505	<	=	>	>	=	=
AF179	Gdf p	MF-TV	10	3	>30	—	25	140	25	25	10	75	TO-12	M	6	GF515	<	=	>	>	=	=
AF180	Gdf p	VFv	10	3	60>20	—	25	156	25	25	25	75	TO-12	M	6	GF505	<	=	>	>	=	=
AF181	Gdf p	MF°-TV	6	10	150>25	170>100	25	156	30	30	20	75	5C4	T	6	GF505	<	=	>	>	=	=
AF182	Gdr p	VF,Vi	12	5	120>70	>120	45	80	15	10	85	TO-44	D	2	GF514	<	=	>	<	=	=	
AF185	Gdf p	VF,S	10	1	>40	80	25	120	32	32	30	90	TO-5	V	3	—	—	—	—	—	—	
AF186	Gdf p	VFu,O	10	2	>20	—	25	90	25	25	15	75	SO-12B	M	6	GF507	<	=	=	=	=	=
AF186G	Gdf p	VFu,O	10	2	>20	—	25	90	25	25	15	75	TO-12	M	6	GF507	<	=	=	=	=	=
AF186W	Gdf p	VFu,O	10	2	>20	—	25	90	25	25	15	75	TO-12	M	6	GF507	<	=	=	=	=	=
AF187	Gj p	VF	6	1	25—60 \ddagger	7*	25	150	18	15	100	85	TO-1	D	2	—	—	—	—	—	—	
AF188	Gj p	VF	6	1	25—60 \ddagger	13*	25	150	18	15	100	85	TO-1	D	2	—	—	—	—	—	—	
AF189	Gj p	VF	6	1	50—150 \ddagger	7*	25	150	18	15	100	85	TO-1	D	2	—	—	—	—	—	—	
AF190	Gj p	VF	6	1	50—150 \ddagger	13*	25	150	18	15	100	85	TO-1	D	2	—	—	—	—	—	—	
AF192	Gj p	VF	—	—	2*	25	150	20	10	100	—	TO-18	C	2	—	—	—	—	—	—	—	
AF193	Gdr p	MF, VF	9	1	35—200	40	45	100	20	10	100	TO-1	D	2	OC170	=	=	=	=	=	=	
AF194	Gdr p	VF	6	1	120>60 \ddagger	110	45	80	20	10	85	TO-44	D	43	GF505	<	=	>	=	=	=	
AF195	Gdr p	Svkv	6	1	120>60 \ddagger	85	45	80	20	10	85	TO-44	D	43	GF505	<	=	>	=	=	=	
AF196	Gdr p	VF, S	6	1	120*	80>65	45	80	20	10	85	TO-44	D	43	GF514	<	=	>	=	=	=	
AF197	Gdr p	MF-FM	6	1	120>35*	>60	45	80	20	10	85	TO-44	D	43	GF515	<	=	>	=	=	=	
AF198	Gdr p	MF°-FM	6	1	120>60*	>60	45	80	20	10	85	TO-44	D	43	—	—	—	—	—	—	—	
AF200	GM p	MF°-TV	10	3	85>30	—	45c	225	25	25	10	90	18B4	S, ATES	4	—	—	—	—	—	—	
AF201	GM p	MF-TV	10	3	85>30	—	45c	225	25	25	10	90	18B4	S, ATES	4	—	—	—	—	—	—	
AF202	GM p	MF-TV	10	3	85>20	—	45c	225	25	25	30	90	18B4	S	4	—	—	—	—	—	—	
AF202L	GM p	MF-TV	12	1	>25	—	45c	225	32	32	30	90	18B4	ATES	4	—	—	—	—	—	—	
AF202S	GM p	MF-TV	10	3	85>20	—	45c	225	32	32	30	90	18B4	S	4	—	—	—	—	—	—	
AF238	Gj p	MF	5	1	—	7*	25	200	15	10	200	85	TO-5</td									

ZESILOVÁČ 80W

pro hudební nástroje

Stanislav Prášek

Zapojení je určeno pracovníkům, kteří mají zkušenosti v oblasti nf techniky a zajímají se o hru na elektrofonické nástroje, zejména elektrické kytary a elektrofonické varhany. Výstupní výkon (sinusový) zesilovače je 80 W, tj. hudební výkon asi 110 W. Zesilovač má jeden vstup kolem 2 mV a jeden 200 mV. Pro oba vstupy jsou společné basové a výškové korekce. Kromě toho je připojiti citlivějšího vstupu možné zařadit další korektor, což je výhodné zejména pro strunné elektrofonické nástroje. Vstupní citlivost se tím sice zmenší asi třikrát, to však při poměrně vyšším signálu z tétoho nástroje není překážkou. Výstup zesilovače je 8 nebo 16 Ω. Přístroj je osazen elektronkami. Přestože se v poslední době objevil dostatek výkonových tranzistorů i schémat založených na nich, jsou stále ještě finančně náklady na stavbu zesilovače 100 W s elektronkami podstatně nižší. Také pro značné zatížení, jakým je pro zesilovač zvláště beatová hudba, je výhodnější použít elektronky, neboť dobré chlazení výkonových tranzistorů při téměř přebuzených zesilovačích je náročnější než u elektronek.

Všechny potřebné součástky lze získat v prodejnách amatérských potřeb nebo v bazarech s radiotechnickým zbožím. Zapojení je velmi stabilní, při dodržení všeobecných zásad nf techniky je prakticky bez problémů. Několik tétoho zesilovačů je již delší dobu v provozu pod označením MISTRAL.

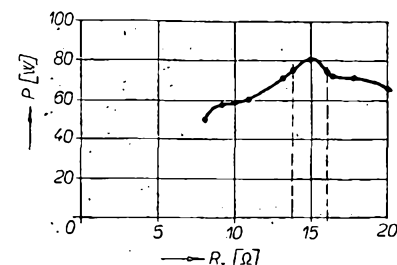
Koncový zesilovač

Jde o běžné zapojení (obr. 1) dvojčinného koncového stupně, osazeného elektronkami EL34. Při dodržení katalogových údajů tétoho elektronek je možné v praxi dosáhnout výstupního sinusového výkonu 80 W (za předpokladu dobré konstruovaného výstupního transformátoru).

Poněkud složitější je zapojení zdrojové části. Koncový stupeň vyžaduje anodové napětí 800 V a zdroj musí dodat i anodové napětí 400 V pro inverzní stupeň (popřípadě pro předzesilovací elektronku). Aby nebylo nutné získávat tento rozdíl napětí srážecím odporem na značné zatížení, používá se síťový transformátor se dvěma anodovými vinutími

(navzájem oddělenými). Anodové napětí se získává usměrněním dvěma Graetzovými usměrňovacími můstky v sérii (diody 36NP75 - KY705), přičemž ze středu obou můstku se odberá napětí pro stínici mřížky elektronek EL34 a anodové napětí pro inverzní a předzesilovací elektronky. Je třeba pamatovat na dobré odizolování elektrolytického kondenzátoru C_1 , neboť mezi jeho záporným polem a zemí (šasi) je asi 400 V.

Zvláštní pozornost zaslouží objímky koncových elektronek. Je bezpodmínečně nutné použít pro EL34 keramické objímky, neboť vlivem neštastné konstrukce (sousedí vývody žhavení a anody) dochází u bakelitových objímků k proražení izolace. Je to způsobeno velkou teplotou patice i objímky elektronek. V této podmínkách se zejména záprášený a zvlhlý bakelit časem změní prakticky v uhlík v místě obou kontaků a pak dochází k trvalému proražení vysokým napětím. Keramické objímky z velké části toto nebbezpečí odstraní, přesto se však někdy nevyvarujeme „pro-



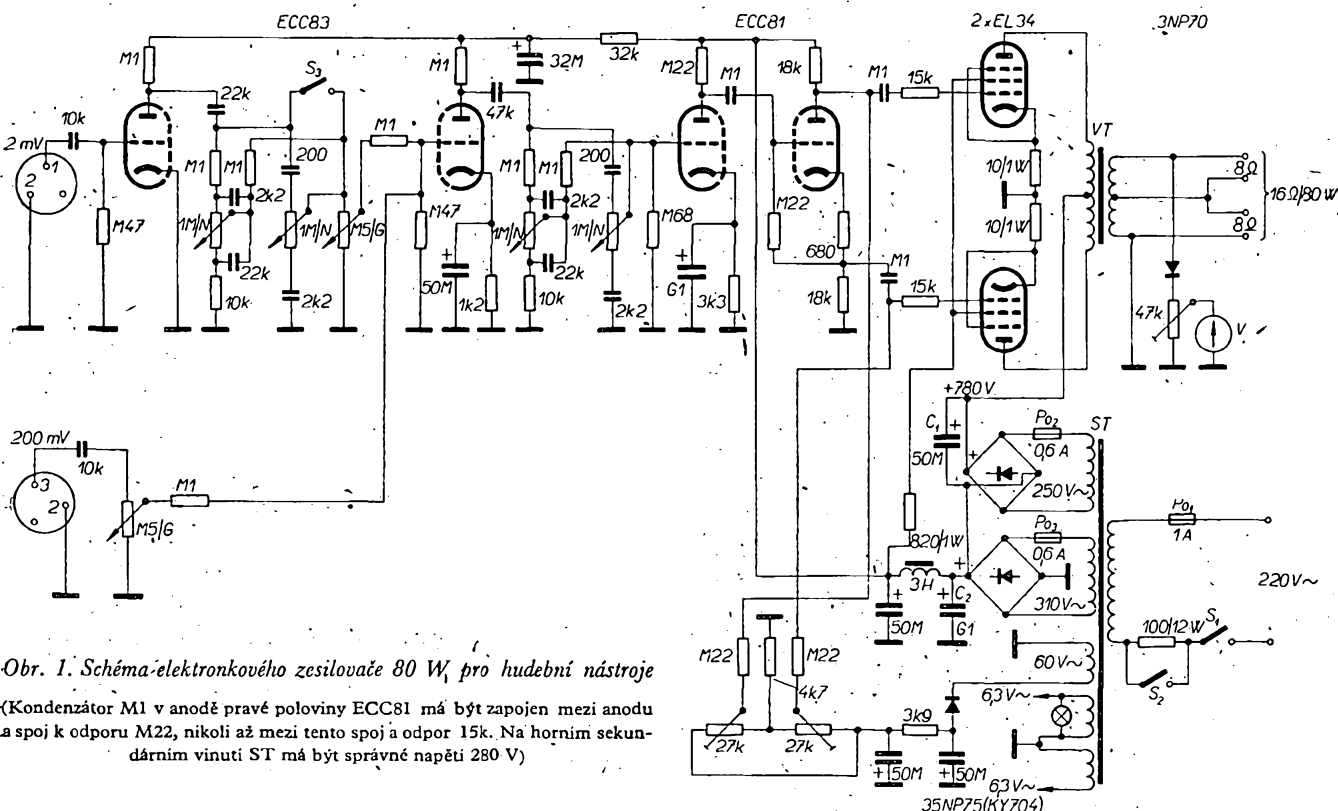
Obr. 2.

střelení“ izolace na patci EL34. Velkou roli zde hraje otázka kvality materiálu použitého na patci elektronky.

Běžné zapojení obvodu mřížkového předpěti umožňuje přesné nastavení klidového proudu každé koncové elektronky. Předpěti se získává ze zvláštního vinutí síťového transformátoru (asi 60 V). Při uvádění koncového stupně do chodu měříme úbytek napětí na katodových odporech koncových elektronek (je třeba znát přesnou velikost tétoho odporu), který je přímo úměrný klidovému proudu elektronek.

Při výrobě výstupního transformátoru musíme pamatovat na poměrně velké anodové napětí a proto dobré izolovat navzájem jednotlivá vinutí a sekce. Nejdříve navineme první polovinu anodového vinutí, potom první polovinu sekundárního vinutí a nakonec druhou polovinu sekundárního vinutí. Při konečném měření výkonu zesilovače je vhodné změřit na proměnném zatěžovacím odporu asi 20 Ω v několika bodech maximální nezkraslený výkon podle vztahu $P = \frac{U^2}{R}$. Zjistíme tím nejvýhodnější přizpůsobení zatěžovacího odporu výstupního transformátoru. Z obr. 2 je zřejmé, že nejvhodnější z hlediska impedančního přizpůsobení bude reproduktorová kombinace s celkovou impedancí 14 až 16 Ω.

Ve zdrojové části přístroje je vzhledem k velikosti kapacity filtračních



Obr. 1. Schéma elektronkového zesilovače 80 W pro hudební nástroje

(Kondenzátor M1 v anodě pravé poloviny ECC81 má být zapojen mezi anodu a spoj k odporu M22, nikoli až mezi tento spoj a odpor 15k. Na horním sekundárním vinutí ST má být správné napětí 280 V)

elektrolytických kondenzátorů a tím i velkého nabíjecího proudu při zapnutí sítě zařazen v obvodu primární vinutí síťového transformátoru odpor asi $100 \Omega / 12 \text{ W}$. Při zapnutí přístroje omezi tento odpor nabíjecí proud a pro další provoz jej vyřadíme spínačem S_2 . Odpor je dimenzován tak, aby i při zařazeném odporu bylo možné zesilovač vybudit (i když se zmenšeným výkonem vzhledem k menšemu primárnímu napětí). Bez použití tohoto odporu bychom museli zařadit neúměrně velké ochranné pojistky (v obvodu anodového napětí).

Výstupní výkon se kontroluje velmi jednoduše na sekundární straně výstupního transformátoru. Použijeme libovolnou diodu asi na 40 V a trimr podle použitého měřicího přístroje (roz-sah $3 \div 10 \text{ V}$, spotřeba kolem 1 mA). Přístroj ocechujeme tak, že při maximálním nezkresleném výkonu (při za-tízení $16 \cdot \Omega$) ukáže ručka přístroje asi do čtyř pětin rozsahu stupnice; zbyvající část stupnice označíme barevně pro kontrolu přebuzení zesilovače.

V inverzním stupni je elektronka ECC81 vzhledem k její charakteristické strmosti a anodovému proudu (koncový stupeň je pro požadovaný výkon nutné budit střídavým efektivním napětím kolem 30 V).

Předzesilovač

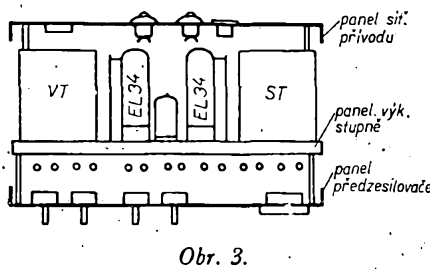
Předzesilovací stupeň je velmi jednoduchý, přitom však výhodný pro jednoúčelové využití, zejména jako zesilovač pro kytařu, baskytaru, elektrické varhany atd. Je samozřejmě možné volit zapojení složitější – směšovací pulty, efektové zdroje (vibráto, booster, presence-filtr apod.).

Popsaný předzesilovač má jeden vstup 200 mV (pro výstup z dozvukových zařízení, směšovacích pultů, magnetofonu) a jeden vstup 2 mV pro mikrofon. Tlačítkem můžeme ke vstupu 2 mV zařadit ještě další korekční stupeň, kterým se změní vstupní citlivost asi na 10 mV (na obr. 1 není zakresleno). V tomto zapojení má zesilovač velmi dobrý kmitočkový průběh zejména pro elektrofonické kyty.

Vzhledem k celkové konstrukci, krátkým spojům a dobrému zemnění má zesilovač minimální výstupní rušivé napětí. Není třeba ani zvláštního odbručování pro vstupní elektronku – zcela stačí uzemnit jeden pól žhavení ECC83.

Mechanická konstrukce je jednoduchá a prakticky dostupná každému amatérů, vybavenému základním dílen-ským náradím. Na obr. 3 je vidět, jak je výkonový koncový stupeň sestaven na středním panelu o rozmeru 310 × 100 mm z duralového plechu tloušťky 3 mm. V zadním panelu jsou pojistková pouzdra, síťová zásuvka a výstupní zásuvky pro reproduktorové soustavy. Výstupní zásuvky jsou dvě a umožňují připojení dvou soustav po 8Ω nebo jedné 16Ω .

Na předním panelu jsou všechny ovládací prvky zesilovače (potenciometry, spínače, měřicí přístroj, konektory, signální žárovka) a předzesilovací stupeň. Celkem je spojen distančními duralovými tyčkami. Podle výkusu opatříme přístroj krytem (kovovým nebo překližkovým), do něhož nezapomeneme vyříznout chladicí otvory. Je třeba si uvědomit, že elektronky zesilovače jsou bez



Obr. 3.

využití ohřívány žhavicím proudem a klidovým proudem anody a g2 o celkovém příkonu asi 70 W.

Uvádění do chodu usnadní, přezkoušme-li každý celek před montáží zvláště (síťový zdroj, koncový stupeň, inverzní stupeň, předzesilovač). Práci si zjednodušíme také tím, že pomocí regulačního transformátoru zvětšíme napětí na síťovém transformátoru a současně kontrolujeme napětí na anodách elektronek. Trimry pro řízení velikosti předpětí nastavíme tak, aby na katodových odporech obou koncových elektronek byl úbytek napětí 0,25 V při anodovém napětí 780 až 790 V. Veličost anodového napětí EL34 a anodového napětí ECC81, ECC83 (za chodu zesilovače) lze upravit vhodnou změnou kapacity elektrolytického kondenzátoru C_2 .

Při dodržení běžných zásad pro práci s nf zařízením (v tomto případě i s ohledem na větší anodové napětí koncového stupně) nebude stavba zesilovače dělat zkušenějšímu amatérovi žádné obtíže. Použitím složitějšího předzesilovače – směšovače se samostatnými korekčními obvody se lze prakticky přiblížit kvalitě takového zesilovače, jako je např. našimi hudebními soubory používaný typ firmy Dynacord Eminent II. Podstatnou výhodou jsou malé finanční náklady proti ceně zahraničních výrobků.

Pro zjednodušení zesilovače jsem nepoužil zápornou zpětnou vazbu, která se obvykle zavádí ze sekundární strany výstupního transformátoru do prvního inverzního stupně. Pro jednoúčelové použití zesilovače pro elektrické kytry, baskytary atd. není třeba tak úzkostlivě dodržovat co nejmenší zkreslení, jako např. u zařízení Hi-Fi; zjednoduší se tím podstatně předzesilovací obvody přístroje. Při použití zpětné vazby by musel být zařazen další předzesilovací stupeň.

Celkové rozměry zesilovače jsou $325 \times 235 \times 135 \text{ mm}$. Při výstupním výkonu 80 W je to tedy téměř miniaturní provedení při použití běžných součástek.

Zhotovení transformátorů

Síťový transformátor je navinut na jádru EI 40×50 . Protože se samotné plechy obtížně šhnázejí, je samozřejmě možné použít jakýkoli transformátor s přibližně stejným průřezem ($Q_{Fe} = \text{min. } 20 \text{ cm}^2$). Podle běžně dostupných tabulek pro návrh síťového transformátoru si individuálně upravíme počty závitů jednotlivých vinutí. Pro jádro EI 40×50 a tloušťku plechů 0,5 mm vychází jako primární vinutí pro 220 V 506 závitů drátu o $\varnothing 0,6 \text{ mm}$. Anodové vinutí 300 V vineme drátem o $\varnothing 0,3 \text{ mm}$ (720 závitů), druhé anodové vinutí stejným drátem má 670 závitů. Vinutí pro 60 V navineme drátem o průměru 0,18 až 0,22 mm (148 závitů). V poslední vrstvě umístíme žhavicí vinutí. Bude to 16 závitů drátu o $\varnothing 1,2 \text{ mm}$ a druhé vinutí 16 závitů.

drátu o $\varnothing 1 \text{ mm}$ pro žhavení elektronek předzesilovače.

Při navíjení transformátoru prokládáme každou vrstvu tenkým papírem, vinutí oddělujeme transformátorovým plátnem. Zhavicí vinutí ponecháme nahoru bez obalu pro lepší chlazení transformátoru.

Úspěch celé práce závisí na kvalitě výstupního transformátoru. Jeho navíjení věnujeme proto největší pozornost. Výstupní transformátor je navinut na jádru o průřezu asi 18 až 20 cm^2 . Velmi dobře se hodí síťový transformátor ze sovětského televizoru Rubín, prodávaný v pražských elektrotechnických bazarech asi za 40 Kčs. Tyto transformátory mají poměrně kvalitní plechy a při uvedeném počtu závitů a s dobrými koncovými elektronkami umožňují dosáhnout výstupního sinusového výkonu 80 W na impedanci 16Ω (platí pro referenční kmitočet 1 kHz, při kmitočtu kolem 10 kHz může transformátor přenést sinusový výkon až 120 W).

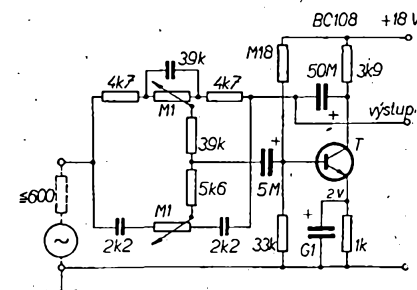
Nejprve navineme první polovinu anodového vinutí, tj. 630 závitů drátu o $\varnothing 0,3 \text{ mm}$, pak první polovinu sekundárního vinutí – 30 závitů drátu o $\varnothing 1,2 \text{ mm}$, dále druhou polovinu anodového vinutí a nakonec druhou polovinu sekundáru. Každou vrstvu prokládáme transformátorovým papírem, jednotlivá vinutí ještě navíc transformátorovým plátnem. Prokládový materiál musí být co nejvíce kvalitnější vzhledem k velkému anodovému napětí a k napěťovým špičkám, zejména při výškách a plně využitelném zesilovači.

* * *

Regulace hloubky – výšky

U tranzistorových přijímačů vyšších jakostních tříd se většinou používají různé obvody k regulaci kmitočtové charakteristiky nf zesilovače. Příklad zapojení korektoru, jehož ztráty jsou vyrovnávány připojeným tranzistorem, je na obrázku.

Regulační obvod lze připojit před libovolný nf zesilovač – dolním potenciometrem $0,1 \text{ M}\Omega$ se regulují výšky, hor-



ním potenciometrem $0,1 \text{ M}\Omega$ se reguluje hloubky. Výšky se regulují v rozmezí $\pm 20 \text{ dB}$ na kmitočtu 20 kHz, hloubky v rozmezí $\pm 20 \text{ dB}$ na kmitočtu 40 Hz (vztaženo ke kmitočtu 1 000 Hz). Křemíkový planární tranzistor BC108 lze bez ztráty zapojení nahradit naším typem KC508. Při nahradě křemíkového tranzistoru germaniovým je třeba upravit odpory děliče v bázi tak, aby tranzistorem tekl maximální proud asi 2 mA. Tranzistor musí mít ovšem co nejmenší šum.

-Mi-

Valvo - Brief, duben 1967.

MĚNIČ

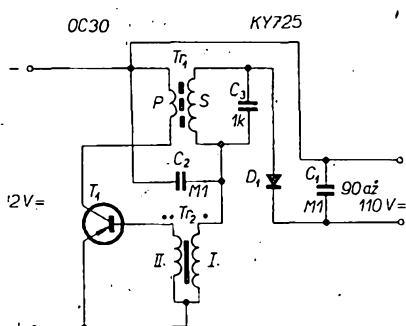
pro sítový holící strojek

Josef Maršálek

K napájení běžného holícího strojku na síť z autobaterie potřebujeme měnič, který by upravil napětí autobaterie 12 V (popř. 6 V) na stejnosměrné napětí asi 90 až 110 V. Schéma zapojení měniče je na obr. 1.

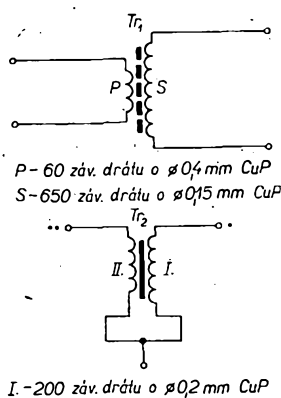


Měnič slučuje výhody zapojení s cizím buzením [1]. Jako spínač slouží tranzistor OC30, v jehož kolektorovém obvodu je primární vinutí transformátoru T_{r1} . V sekundárném vinutí transformátoru T_{r1} se činností spínacího tranzistoru vytváří napětí nesinusového průběhu, jehož amplituda je dána především transformačním poměrem, velikostí vazby mezi primárním a sekundárním vinutím, indukčností vinutí a sycením jádra.



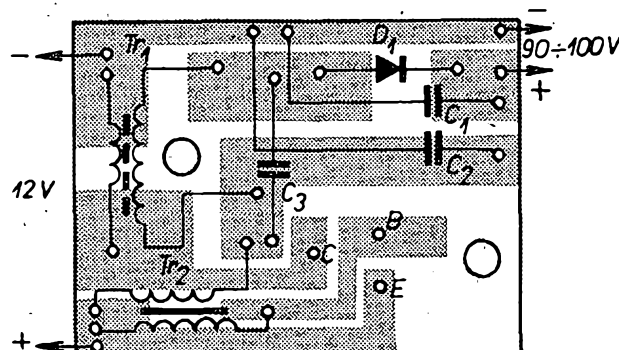
Obr. 1. Schéma zapojení měniče

Zpětná vazba, která je zavedena přes transformátory T_{r1} a T_{r2} do báze tranzistoru OC30, je podmíněna tím, že během každé kladné poloviny amplitudy kmitů na sekundárním vinutí T_{r1} se otevře dioda D_1 a obvodem projde proudový impuls, jímž se nabíjí kondenzátor C_1 . Z tohoto kondenzátoru se současně odebírá stejnosměrné napětí pro motorek holícího strojku. K nasazení oscilací slouží kondenzátor C_2 . Po připojení měniče na baterii společně s holí-



Obr. 2. Navíjecí předpis pro transformátory T_{r1} a T_{r2}

Obr. 3. Obrazec plošných spojů Smaragd C44



cím strojkem projde kondenzátorem C_2 do báze tranzistoru OC30 proudový impuls, který způsobí nasazení oscilaci.

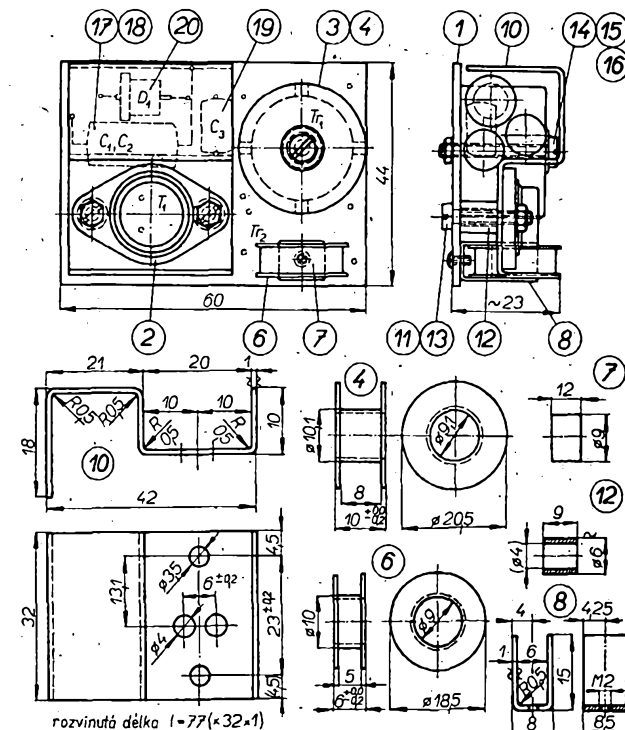
Transformátor T_{r1} je na hrnčkovém feritovém jádru typu 0930 116 o průměru 26×16 mm z materiálu H12. Musí být navržen tak, aby v žádném okamžiku nebylo jeho jádro nasyceno (to by mělo za následek velké ztráty a tím malou účinnost). Dosáhneme toho především vhodnou volbou vzduchové mezery a kapacity kondenzátoru C_3 . V našem případě je vzduchová mezera asi 0,2 mm a C_3 je 1 nF. Transformátor T_{r2} přenáší jen nepatrný výkon pro buzení báze tranzistoru OC30 a proto může mít malé rozměry. Transformátor T_{r2} je navinut na obyčejném železném jádru. Údaje obou transformátorů jsou na obr. 2. Výkres plošných spojů C 44 je na obr. 3, mechanické díly na obr. 4. Sestavovaný měnič je na obr. 5.

50 Hz. Tato koncepce měničů však nesplnila očekávání, neboť výstupní napětí nebylo dostatečné. Takové měniče musí používat výkonové tranzistory (12 až 50 W), rozměry transformátorů vycházejí velké; také odběr z baterie je značný a účinnost malá [1].

Tyto nevýhody zcela odstraňuje popisovaný měnič se stejnosměrným výstupním napětím. Výhody použití stejnosměrného napětí pro provoz holícího strojku jsou tedy zřejmé.

Údaje cívek transformátorů T_{r1} a T_{r2} je třeba dodržet, jinak je nutné individuálně upravit kapacity kondenzátorů C_1 , C_2 a C_3 . Pokud by měnič nepracoval, je třeba přehodit konec vinutí u T_{r2} . Jinak je zapojení velmi jednoduché.

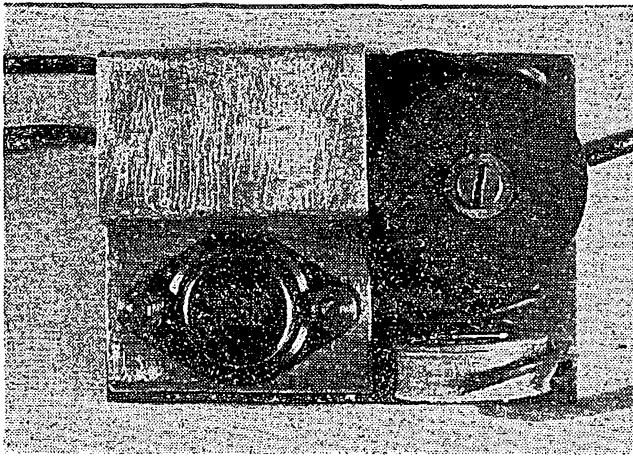
K ověření správnosti tohoto zapojení jsem postavil tři kusy téhoto měniče. Výsledky potvrzily reproducovatelnost zařízení.



Obr. 4. Sestava a detaily měniče

Napětí na výstupu měniče se pohybuje od 90 V do 110 V a je závislé na typu použitého holícího strojku. Např. u našeho strojku B530 je 90 V, u strojku Philips 100 V. Odběr z baterií se při napětí 12 V pohybuje v rozmezí 0,6 až 0,8 A. Výkon měniče je 7,5 W a doba provozu může být delší než 10 minut, aniž by vzniklo nebezpečí přehrátí.

Závěrem bych chtěl uvést, že jsem postavil několik typů měničů podle různých návodů, u nichž výstupní napětí bylo střídavé sinusové o kmitočtu asi



Obr. 5. Pohled na dohotovený měnič

Seznam součástí

1 Deska plošných spojů C44	1	17 Kondenzátor C_1 TC181 M1/160 V	1 0,1 μ F/MP
2 Tranzistor T_1 OC30	1	18 Kondenzátor C_2 TC181 M1/160 V	10,1 μ F/MP
3 Transformátor T_{r1} , hřničkové feritové jádro dvoudlné, v.č. 0930 116 $\varnothing 26 \times 16$	1	19 Kondenzátor C_3 TC182 1k/250 V	1 1 000 pF/MP
4 Cívka T_{r1}	1	20 Dioda KY725	1
5 Transformátor T_{r2}	1	21 Izolační bužírka PVC $\varnothing 1 \text{ mm} \times 0,3 \text{ mm}$	1 ČSN 346551
6 Cívka T_{r2}	1	22 Měkká pájka trubičková	
7 Jádro T_{r2}	1		
8 Držák T_{r3}	1		
9 Šroub M2x4	1		
10 Chladič T_1	1 (pískovat!)		
11 Šroub M3x16	2 ČSN 021131.22		
12 Distanční podložka	2		
13 Matice M3	2 ČSN 021401.22		
14 Šroub M3x20	1 ČSN 021131.22		
15 Podložka mosazná $\varnothing 3,2 \text{ mm}$	1 ČSN 021701.50		
16 Matice M3	1 ČSN 021401.22		

Literatura

- [1] Horána, O. A.: Zajímavá zapojení s tranzistory. SNTL: Praha 1963.
- [2] Catunéanu, V. M. a kol.: Polovodiče ve sdělovací technice. SNTL: Praha 1965.

PŘEDZESILOVAC PRO DYNAMICKÝ MIKROFON

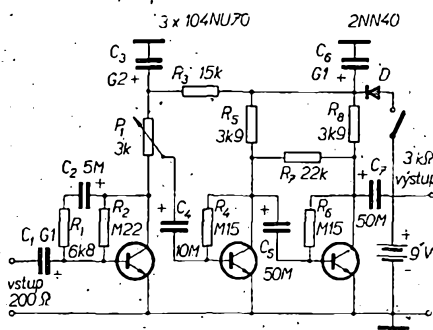
Karel Kubát

Popisovaný tranzistorový předzesilovač má několik možností použití. Může sloužit jako vhodný doplněk výkonových zesilovačů, které postrádají dostatečně citlivý mikrofonní vstup, uplatní se jako předzesilovač pro magnetofony, které nemají dost citlivý mikrofonní vstup nebo mají jeden mikrofonní a druhý méně citlivý vstup s možností mísení obou. Ve druhém případě umožní předzesilovač snížování akustických signálů ze dvou mikrofonů.

Velmi široký kmitočtový rozsah a malé zkreslení zaručuje kvalitní přenos signálu.

Zesilovač je navržen pro střídavé výstupní napětí o napěťové úrovni 0 dB, tedy asi 0,75 V. Přitom rezerva pro přemodulování je do +6 až +8 dB, tj. do 1,5 až 1,9. Lze jej tedy přemodulovat více než dvojnásobně, aniž by došlo k patrnému zkreslení. Výstupní impedance předzesilovače je asi 3 k Ω . Vzhledem ke zkreslení, které se při vyšších úrovních rychle zvětšuje se zátěži výstupu, je však vhodné zatěžovat jeho výstup odporem minimálně 10 k Ω nebo ještě větším. Tato podmínka je u elektronkových zesilovačů téměř vždy splněna; potenciometr na vstupu zesilovačů bývá 0,1 až 0,5 M Ω . Již při zátěži 50 k Ω pracuje předzesilovač (obr. 1) prakticky s výstupem naprázdno a tedy s velmi malým zkreslením při přemodulování (obr. 2). Celkové napěťové zesílení s regulátorem vytvořeným naplňo je asi 72 dB, tj. 4 000násobné. To znamená, že již výstupní napětí 0,188 mV dá na výstupu požadované napětí 0,75 V. Je to značná citlivost a zcela stačí i pro málo citlivý mikrofon. Rušivé napěti

(šum) je při plném zesílení —58 dB pod základní výstupní úrovni 0 dB (0,75 V), při vstupu naprázdno a —56 dB při vstupu naprázdno. Plného zesílení však sotva kdy využijeme. Nastavíme-li regulátorem tisícinásobné zesílení (60 dB), bude úroveň šumu už —67 dB pod úrovní výstupního signálu. Uvážíme-li, že např. odstup rušivých napětí běžných komerčních magnetofonů bývá asi 40 dB, zkreslení záznamu asi 3 až 4 %, jsou tyto vlastnosti předzesilovače mnohem lepší než vlastnosti běžných elektroakustických zařízení, k nimž jej budeme



Obr. 1. Schéma předzesilovače

používat; jinými slovy nemusíme mit obavy, že předzesilovač nějak zhorší kvalitu přenášeného signálu.

Tyto údaje nebudou samozřejmě pro každý postavený předzesilovač naprsto stejně vlivem výrobních tolerancí tranzistorů. Tranzistory lze použít libovolné; uvedené typy lze zaměnit např. za 106NU70, 107NU70 apod. Tranzistory pro jednotlivé zesilovací stupně určujeme jen podle zbytkového kolektorového proudu: tranzistor s nejmenším I_{C0} je na vstupu předzesilovače. Kreslit útlumovou charakteristikou předzesilovače by nemělo praktický význam. Byla by to téměř vodorovná přímka v celém měřeném rozsahu. Jen v okrajových částech nastává nepatrný pokles zesílení: na kmitočtu 20 Hz asi —1,7 dB, na 30 Hz —0,8 dB a v oblasti nejvyšších kmitočtů kolem 20 kHz je pokles —0,5 dB.

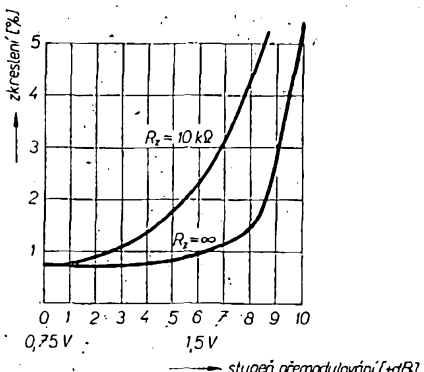
Vstupní impedance je přizpůsobena běžným dynamickým mikrofonům a velikostí 200 až 250 Ω (podle tranzistoru na vstupu) odpovídá impedance nejčastěji používané v profesionálních zařízeních pro mikrofonní vstupy. Protože je impedance prakticky nezávislá na zvukovém kmitočtu, můžeme přivádět akustický signál na vstup přes libovolný sériový odpor, aniž bychom se museli obávat deformace výsledné útlumové charakteristiky. Sériový odpor použijeme tam, kde nemůžeme zdroj signálu zatížit poměrně malou vstupní impedanci 200 Ω . Sériový odpor vytváří spolu se vstupní impedancí 200 Ω napěťový dělič a výsledné zesílení bude proto podstatně menší.

Popis zapojení

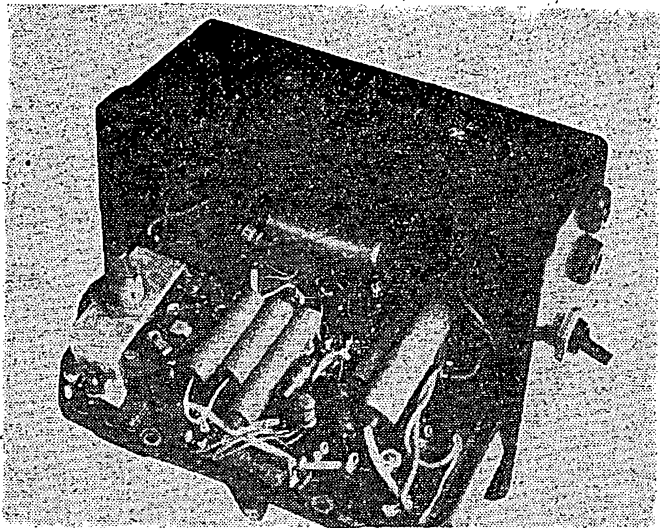
Všechny stupně jsou v běžném zapojení se společným emitorem a s napěťovou stabilizací. I když můstková stabilizace bývá účinnější, byla stabilizace odvozená z napětí na emitoru použita ze dvoj důvodů, jejichž výhody pro daný případ převládají:

1. V jednodušším zapojení odpadají elektrolytické kondenzátory mezi zemí a emitorem. Kdyby měl být respektován požadavek minimálního poklesu zesílení i pro nejnižší kmitočty, vycházela by kapacita elektrolytických kondenzátorů příliš velká a také by se zvětšily rozměry předzesilovače.

2. Můstková stabilizace spotřebuje určitou část napěťového spádu. My však potřebujeme zachovat na pracovním odporu R_8 koncového tranzistoru možnost co největšího napěťového rozkmitu, abychom dostali co největší nezkreslené



Obr. 2. Vliv přemodulování předzesilovače na jeho zkreslení při výstupu zatíženém odporom 10 k Ω a při výstupu naprázdno. Základní výstupní střídavé napětí 0,75 V = 0 dB. Pod touto úrovní zůstává zkreslení < 1 %



Obr. 3. Mechanické uspořádání předzesilovače

Ke stěnám krabičky je destička přichycena malými úhelníčky. Podrobne rozmištění součástek snad ani není třeba popisovat. Při použití běžných odporek 0,25 W a malých elektrolytických kondenzátorů nebudou s umístěním součástek potíže. Vstup a výstup lze vyvést banánky nebo jakýmkoli malým kontaktem, třeba některým mikrofonním kontaktem Tesla.

Zapojení je velmi stabilní a ani při velkém zesílení není třeba se obávat sklonu k rozkmitání, pokud se při rozmištění součástek nedopustíme hrubé chyby. Je třeba si jen uvědomit, že na rozdíl od elektronkových zesilovačů pracujeme s malými impedancemi. Proto citlivé části zesilovače reagují spíše na rušivé pole magnetické než elektrické. Krátké úseky není proto ani třeba stínit, za to je třeba dbát, aby netvořily velkou uzavřenou smyčku - závit. Ta je pak citlivá na rušivé magnetické pole. Tak se např. při hrubém pořušení této zásady může stát, že rozměrnější závit (kolektor posledního tranzistoru - vazební kapacita - výstup - zátež - zem) vytvoří kladnou vazbu se smyčkou, kterou představuje obvod: zem - mikrofon - vstupní vazební kondenzátor - báze prvního tranzistoru. Takový sklon ke kmitání by se pak projevil, nikoli při chodu naprázdno, ale spíš při vstupu nakrátko a při silném zátištěním výstupu.

výstupní napětí. Proto musíme s napájecím napětím 9 V, které máme k dispozici, šetřit. Protože předpokládám, že předzesilovač nebude při provozu ležet v krutém mraze ani v poledním žáru tropického slunce, je dosažený stupeň stabilizace pro běžné pracovní podmínky vyhovující.

Odpor R_1 v sérii s kondenzátorem C_2 z kolektoru na bázi vstupního tranzistoru tvoří napěťovou dynamickou zpětnou vazbu a upravuje vstupní impedanci předzesilovače. Podobně zpětná vazba odporem R_7 mezi kolektory posledních dvou stupňů zmenšuje zkreslení výstupního signálu a výstupní impedanči.

Při uvádění předzesilovače do chodu je vzhledem k tolerancím tranzistorů nezbytné nástavit předepsané kolektorové proudy (0,33 mA pro vstupní tranzistor a 1 mA pro další dva tranzistory). Proto zapojíme postupně do obvodu každého kolektoru (pracovního) odporník miliampérmetr a případnou změnou příslušného odporu R_2, R_4, R_6 nastavíme požadovaný proud I_c . Proudys posledních dvou tranzistorů nastavujeme při odpojeném zpětnovazebním odporu R_7 . Odpory v obvodech kolektoru (R_5, R_8) je třeba dodržet.

Logaritmický potenciometr P_1 (3 k Ω) v. obvodu vstupního tranzistoru slouží k nastavení celkového zesílení předem, nikoli k regulaci během natáčení nebo vysílání. Po změně polohy běžce se totiž změní potenciál na vazebním kondenzátoru C_4 a zlomek vteřiny trvá, než se napětí na bázi druhého tranzistoru opět ustálí. Nemáte-li potenciometr 3 k Ω , lze použít potenciometr 5 k Ω s tím, že odpor R_3 bude o 2 k Ω menší (tj. místo 15 k Ω jen 13 k Ω). Dioda D slouží jako ochrana tranzistorů a elektrolytických kondenzátorů, které by se jinak zničily, kdybychom omylem připojili baterii obráceně. Může to být kterýkoliv typ hrotové diody, např. 2NN40, GÁ203 atd. K napájení slouží dvě ploché baterie. Bylo by samozřejmě možné použít i menší typ baterie, víme však dobře, že méně běžnými typy je nás trh (zejména mimó Prahu) zásobován velmi nepravidelně. Dvě ploché baterie vydří při nepatrém odběru (asi 2,4 mA) i při častém provozu velmi dlouho a také do použité krabičky se rozmiery dobré hodí.

Cely předzesilovač včetně zdrojů je vestavěn do bakelitové krabice o rozmerech 95 x 135 x 60 mm, která je běžně k dostání v radioamatérských prodejnách (obr. 3). Vnitřní prostor je podélně

rozdelen pertinaxovou deskou. V dolní části (přístupné po odšroubování dolního víka), která je asi 25 mm hluboká, jsou uloženy baterie. V horní části jsou součástky zesilovače. Pertinaxová deska je dvojitá: v jedné části jsou nanýtovány pájecí očka a na ně připájeny všechny součástky. Tato část tvoří horní stěnu. Druhá (tenčí) deska tvoří dolní část stěny a izoluje jen rub propojovací desky zesilovače od prostoru pro baterie.

Klíč k určování obrazových elektronek

Ing. J. Tomáš Hyun

V AR 8/68 jsme přinesli klíč k určování polovodičů zahraniční výroby. Dnes uvádíme souhrnně identifikační znaky obrazových elektronek. Tento klíč platí pro všechny obrazové elektronky, tj. televizní a radarové obrazovky, obrazovky pro osciloskop a oscilografy, televizní monitory, optické ukazatele číslicových počítačů apod.

Typové označení obrazových elektronek se skládá z jednoho písmene, za nímž následuje skupina dvou čísel rozdělených pomlčkou a opět dvojice písmen.

První písmeno určuje použití, popřípadě konstrukci:

A - televizní obrazová elektronka pro komerční účely,

D - jednopaprsková obrazová elektronka pro osciloskopy,

E - vícepaprsková obrazová elektronka pro osciloskopy,

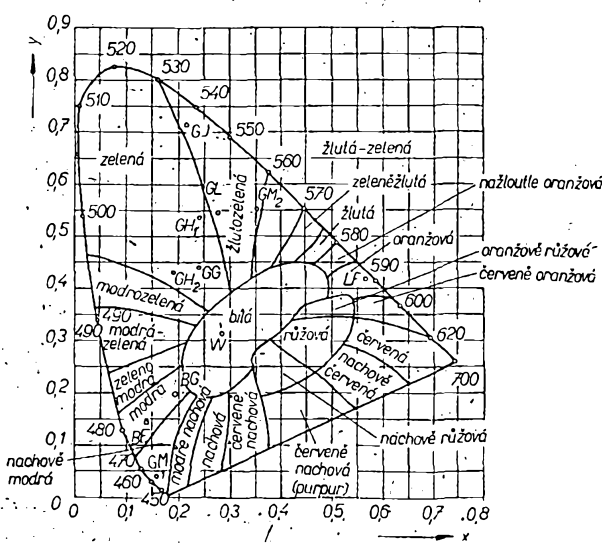
F - radarová obrazovka (s polárním vychylováním) pro přímé pozorování,

L - paměťová obrazová elektronka,

M - televizní obrazová elektronka

Obr. 1. Kellyho barvený diagram.

GH_1 - malý jas,
 GH_2 - velký jas,
 GM_1 - modré složky převažují,
 GM_2 - žluté složky převažují



Tab. 1

Znak	Počáteční zabarvení	Konečné zabarvení při dozívání	Dozívání	Souřadnice Kellyho diagramu (obr. 1)	
				X	Y
BA	purpurově modrá	purpurově modrá	velmi krátké		
BB	purpurově modrá	purpurově modrá	střední až krátké		
BC	purpurově modrá	purpurově modrá			
BD	modrá	modrá	velmi krátké		
BE	modrá	modrá	střední až krátké	0,139	0,148
BF	modrá	modrá	střední až krátké		
BG	modrá	modrobílá	střední	0,200	0,245
GB	purpurově modrá	žlutozelená	dlouhé		
GD	žlutozelená	žlutozelená	střední		
GE	zelená	zelená	krátké		
GF	zelená	zelená	dlouhé		
GG	zelená	zelená	krátké	0,246	0,439
GH	zelená	zelená	střední až krátké	0,193 0,245	0,420 0,523
GJ	žlutozelená	žlutozelená	střední	0,218	0,712
GK	žlutozelená	žlutozelená	střední		
GL	žlutozelená	žlutozelená	střední až krátké	0,279	0,534
GM	purpurově modrá	žlutozelená	dlouhé	0,151 0,357	0,032 0,537
GN	modrá	zelená			
LA	oranžová	oranžová	střední		
LB	oranžová	oranžová	dlouhé		
LC, LD, LE	oranžová	oranžová	velmi dlouhé		
LF	oranžová	oranžová	dlouhé	0,527	0,422
YA	žlutooranžová	žlutooranžová	střední		
W	bílá	bílá	střední až krátké	0,278	0,310
X	tříbarevná				

pro profesionální účely (pro přímé pozorování),

P - obrazová elektronka pro profesionální účely, projekční (pro přímé pozorování),

Q - snímací obrazová elektronka.

První číslo nebo číslice za písmenem udává rozměry stínítka obrazovky. U kruhových stínitek určuje průměr v cm, u pravoúhlých stínitek délku úhlopříčky v cm.

Druhé číslo nebo číslice (za pomlčkou) je jen řadové označení typu.

Koncová dvojice písmen vyjadřuje vlastnosti stínítka obrazové elektronky (tab. 1).

Pozn.: Dozíváním se rozumí doba, za kterou se zmenší jas bodu na stínitku obrazovky na 10 % počáteční hodnoty.

Tato doba je pro velmi dlouhé dozívání, 1 s a více, pro dlouhé 100 ms až 1 s, pro střední 1 ms až 100 ms, pro střední až krátké 10 μs až 1 ms, pro krátké 1 μs až 10 μs, pro velmi krátké méně než 1 μs.

Příklady značení obrazovek

A28-13W komerční televizní obrazovka s úhlopříčkou o délce 262,5 mm (± 28 cm), počáteční a konečné zabarvení bílé;

A65-11W komerční televizní obrazovka s maximální využitelnou úhlopříčkou obrazu 616,5 mm (± 65 cm), počáteční i konečné zabarvení bílé, dozívání krátké;

D14-11BG jednopaprsková obrazovka pro osciloskop, hranatá, délka úhlopříčky asi 134,5 mm (± 14 cm), po-

čáteční zabarvení modré, konečné modrobílé, dozívání střední;

D3-10G jednopaprsková obrazovka pro miniaturní osciloskop nebo měřicí přístroje, $\varnothing 31,8$ mm, využitelný 27 mm (± 3 cm), zabarvení žlutozelené, dozívání střední.

Odchyly:

1. Někdy je písmeno W přiřazeno na druhé místo za počáteční písmeno. Např. AW59-91 je komerční televizní obrazovka s úhlopříčkou 566 mm (± 59 cm), zabarvení bílé, dozívání krátké;

2. U obrazovek třídy D není u některých typů udávána koncová dvojice písmen. Její funkci přebírá písmeno následující za znakem D. Používají se zde znaky B, G, N a P s těmito významy:

B - počáteční zabarvení modré, konečné modrobílé, dozívání střední až krátké,

G - zabarvení zelené, dozívání střední až krátké,

N - zabarvení žlutozelené, dozívání střední až krátké,

P - počáteční zabarvení modré, konečné žlutozelené, dozívání dlouhé.

Nové reproduktory

Nový systém reproduktoru vyvinul anglický vědec T. Jordan. V souvislosti s vývojem nového reproduktoru bylo přihlášeno 10 patentů. Nejdůležitější patenty se týkají výroby hliníkové membrány, jejího tríbodového uchycení na berylové pružiny a vestavěných mechanických zpětnovazebních prvků. Celý kmitající systém má velmi malou váhu (asi 5 g) a v reproduktoru se používá velmi velký trvalý magnet, takže všechny akustické kmitočty jsou zesilovány (v pásmu 16 až 25 000 Hz) bez zkreslení.

Reproduktor lze zatěžovat sinusovým výkonem až 15 W, má membránu o $\varnothing 10$ cm a vyzařuje stejně dobře a bez zkreslení vysoké i nízké kmitočty. Tyto širokopásmové reproduktory lze snadno rádit do soustav pro libovolný vyzářený výkon.

Velmi zajímavá je i hloubka reproduktoru - jen 66 mm, což umožňuje konstrukci reproduktoričkových soustav ve formě obrazu pro zavěšení na stěnu.

Funktechnik 7/69

-Mi-

* * *

„Dvoulampovka“ s křemíkovými tranzistory

Zajímavé a jednoduché zapojení audionu s křemíkovými tranzistory pro příjem v amatérských pásmech vyzkoušel a popsal jugoslávský radioamatér dr. Metzger.

Cívky L pro jednotlivá pásmá je možné vyměňovat nebo přepínat. Obvod se ladí proměnným kondenzátorem C_1 , který má kapacitu asi 20 pF. Paralelním kondenzátorem C_2 je celý obvod nastaven do pásmá. Zpětná vazba se řídí potenciometrem 5 kΩ a nasazuje spolehlivě a měkce v celém rozsahu 1,8 až 30 MHz. Selektivita přijímače závisí na jakosti cívky L. Ve vzorku byly použity kostičky o průměru 16 mm s těmito počty závitů a velikostí kapacity C_2 :

Pásmo	Závitů	Vodič	C_2
3,5 MHz	55	0,3 mm CuP	80 pF
7 MHz	30	0,5 mm CuP	50 pF
14 MHz	15	0,7 mm CuP	40 pF
21 MHz	10	1 mm CuP	30 pF
28 MHz	7	1 mm CuP	25 pF

Laděné obvody pro jednotlivá amatérská pásmá je dobré předem nastavit sacím měřicem do rezonance a definitivně naladit v přijímači podle signálního generátoru. Na přijímači lze poměrně dobře poslouchat i signály SSB.

Radioamater 12/68

-ra

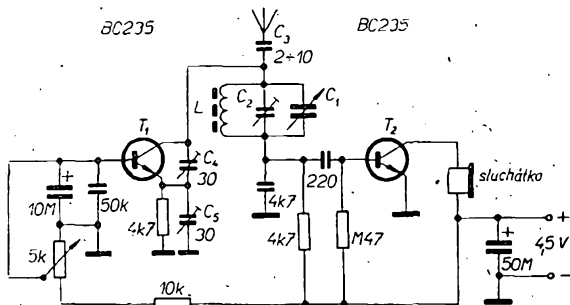


Schéma „dvoulampovky“

Pozitivní osvitoměry MILILUX

Ing. Zdeněk Ersepke a Rostislav Hluzín

Před časem jsme popsal (v AR 1/69) osvitoměry Mililux M1 a Mililux M2. Po tříletých zkoušenostech lze říci, že se zapojení v podstatě osvědčilo. Novější model M2C nedoznal proti typu M2 podstatných změn (obr. 1). Pozměněny byly jen velikosti některých odporů. Náhradou odporu $3\text{ G}\Omega$ v mřížkovém svodu odporem $10\text{ G}\Omega$ jsme dosáhli zvětšení lineárního rozsahu ve směru k větším hodnotám měřených odporů (obr. 2). Změnou anodového odporu je možné rozšířit rozsah k menším hodnotám měřených odporů, přičemž dochází k prohnutí charakteristiky; tohoto prohnutí lze někdy využít ke kompenzaci opačného prohnutí charakteristiky fotooodporu.

Model M2C používá odlišný způsob korekce (obr. 3). Výhodou korekce na výstupu jsou širší možnosti přizpůsobení bez nepříznivých vlivů na činnost logaritmického zesilovače. Výstupní napětí nekorigovaného zesilovače je lineární funkci logaritmu vodivosti měřeného odporu. Při vhodné nastavených korekcích (obr. 3) je indikovaná velikost pro daný fotooodpor (jehož log-log charakteristika není přímková) přímo úměrná logaritmu osvětlení, přičemž dělení stupnic zůstává lineární. Korekční členy lze stanovit empiricky nebo výpočtem na základě analytického vyjádření závislosti vodivosti použitého fotooodporu na osvětlení.

Typ M2CT je navíc vybaven termistorem umožňujícím pohodlnou a přesnou kontrolu teploty lázní potmě. Termistor se připojuje na vstup zesilovače místo fotooodporu, takže jeho tepelný výkon je zcela zanedbatelný. Protože teplota je lineární funkcí odporu termistoru, je použití logaritmického zesilovače na místě. Současně s přepnutím vstupu se přepíná funkčním přemykačem i rozsah měřicího přístroje na 600 mV . V tomto případě odpovídá 1 dílek stupnice $0,1\text{ }^{\circ}\text{C}$. Vhodným typem termistoru je tužkový 16NR15, který lze vestavět např. do pouzdra Silpenu.

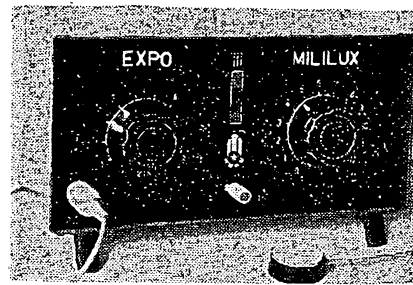
Všechny osvitoměry řady M2 jsou výchylkové přístroje se stabilizací anodového napětí a regulačním transformátorem pro ruční stabilizaci barevné teploty zdroje. Jsou to tedy přístroje poměrně složité a nákladné. Poptávka

po levnější verzi nás přivedla k vývoji a konstrukci můstkových osvitoměrů řady M3, které si při podstatně jednodušším zapojení zachovávají hlavní přednosti dražšího typu. Zapojení modelu M3N je na obr. 4 a 5. Hodnota osvětlení je vyznačena v binárních logaritmech mililuxů a podobně expozice jsou uvedeny v binárních logaritmech osvitových dob. Expozice se nastavuje tak, aby součet obou hodnot byl pro určitý druh použitého pozitivního materiálu konstantní.

Indikátorem využáváním můstku je elektronkový indikátor s exponenciální charakteristikou. Můstek se vyvažuje tak, že se výše začne právě svírat, neboť v této místech je citlivost největší.

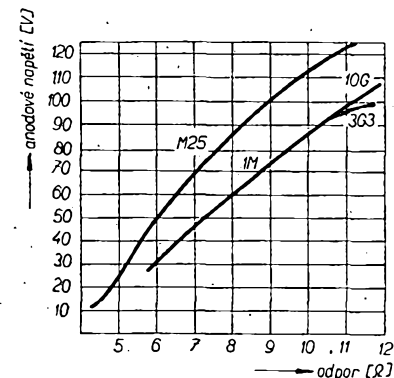
Závislost údaje potenciometru na logaritmu vodivosti měřeného odporu může být podle potřeby přísně lineární (v rozsahu od 10^5 do $10^{12}\text{ }\Omega$), nebo může být na vstupu (velikostí anodového odporu) i na výstupu (nelineárním zapojením kompenzátoru – obr. 6) – korigována tak, aby bylo čtení pro daný fotooodpor lineární funkci logaritmu osvětlení.

Na rozdíl od typu M2C byla vypuštěna stabilizace anodového napětí, a to ze dvou důvodů. Pro barevnou proces je stejně nutné stabilizovat napětí a teplotu barvy zvláštním stabilizátorem. V tom případě je samozřejmě napájet z téhož stabilizátoru i osvitoměr. Obejdeme-li se na druhé straně při menších náročích černobílé fotografie bez stabilizace světelného zdroje, pak je i stabilizace měřicího přístroje zbytečná. Závislost indi-

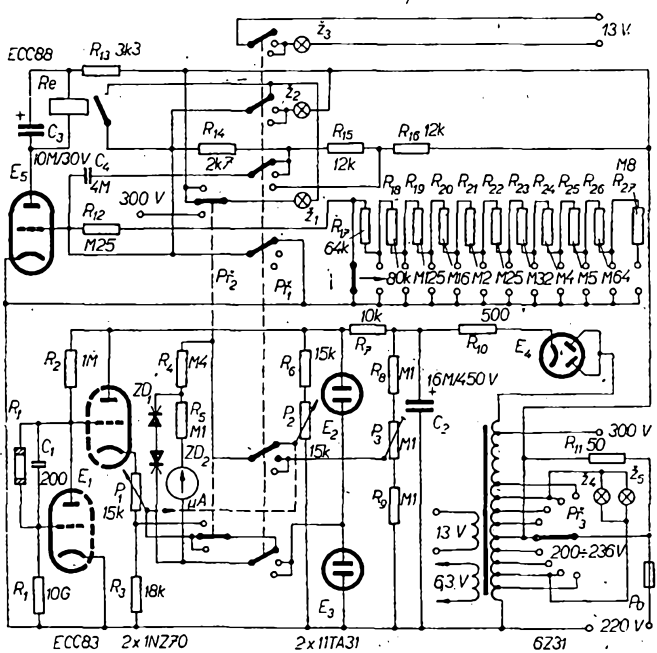


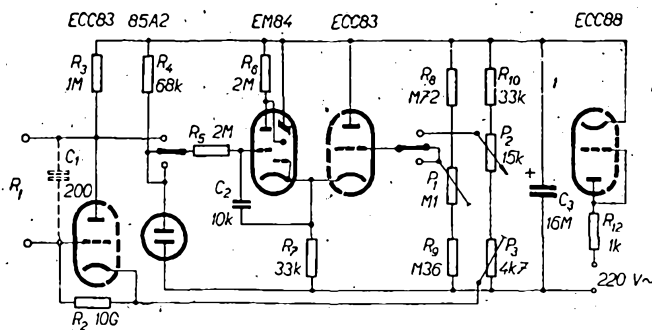
kované hodnoty osvětlení na napětí je totiž u Mililuxu značně menší než závislost svítivosti žárovky na jejím napětí (při změně napětí o 10 % vzroste svítivost o 10 %, zatímco citlivost osvitoměru jen o 3 %).

Přístroj M3 se vyrábí ve dvou provedeních: jako model M3N pro černobílou fotografií s jednoduchým kompenzátem a jako model M3C pro barevnou fotografií s dvojitým kompenzátem (obr. 7). V podstatě lze oba typy použít pro černobílou i barevnou fotografií, rozdíl je jen v tom, že dvojitý kompenzátor umožňuje pohodlné přímé měření poměrů barevných složek modrá/červená a zelená/červená, zatímco u typu M3N je třeba zjišťovat každou barvu zvlášť a rozdíly binárních logaritmů (ld-modrá – ld-červená) a (ld-zelená – ld-červená) písemně nebo z paměti počítat.



Obr. 2. Charakteristika logaritmického zesilovače





Obr. 4. Osvitomér Mililux M3N - zesilovač

Pomocí zmíněných dvou poměrových hodnot m/c a z/c lze v pravouhlých souřadnicích snadno vyjádřit skutečnou barevnost měřeného bodu a srovnat ji s barevností žádanou. Bližší popis této metody, umožňující rychlé určení potřebné subtraktivní filtrace, by přesáhl rámec tohoto časopisu, proto jej uveřejníme v měsíčníku věnovaném fotografii (Československá fotografie).

Tranzistorizace nepřichází zatím v úvahu vzhledem ke značné výši ceně (vstupní tranzistor FET, tyristorové časové relé), vstupnímu odporu a stabilitě. Kromě toho je zbytečná, neboť zdroj světla je v každém případě něutí napájet ze sítě. Kombinovaným využitím všech systémů jsme se snažili zmenšit počet elektronek na minimum.

Elektronka ECC83 pracuje:
1/2 jako logaritmický zesilovač,
1/2 jako katodový sledovač kompenzátoru;

ECC88 pracuje:
1/2 jako časové relé,
1/2 jako jednocestný usměrňovač (lepší je použít diodu KY705);

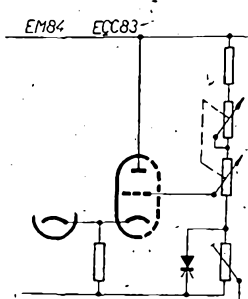
EM84 pracuje jako indikátor nuly při měření osvětlení i při měření síťového napětí.

Mililux M3 se ovládá funkčním přepínačem:
Vratné vychýlení vlevo : start expozice, indikace síťového napěti, osvětlení komory zapnuto.

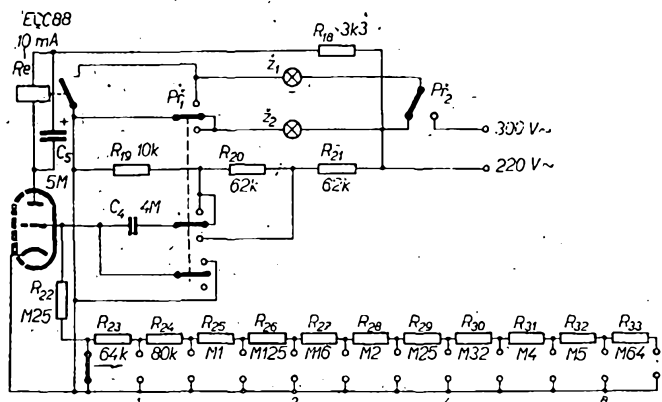
Vratné vychýlení vpravo: okamžité zrušení osvítu.

Přepnutí vpravo: zapojení osvitoměr, zapojena projekční žárovka, vypnuto osvětlení komory.

Levým přepínačem se nastavují osvítové doby. Čas je uveden v hodnotách dvojkových logaritmů (ld). Přepínač je dvanácti- nebo tříadvacetipolohový.



Obr. 6. Korekce nelinearity na výstupu osvitoměru M3N



Obr. 5. Osvitomér Mililux M3N - časový obvod

V prvním případě odpovídá každá třetí poloha zdvojnásobení expozice (tj. jednotce ld) a sousední polohy se liší o +26 procent, ve druhém případě odpovídá každá pátá poloha zdvojnásobení expoziče a sousední polohy se liší o +15 %:

Velká péče byla věnována konstrukci barevné sondy a výběru fotooodporů a filtrů. Přezkoušeli jsme mnoho typů fotooodporů předních světových firem: americké, japonské, francouzské, kanadské, z výroby NDR i NSR a také tuzemské. Náročné požadavky barevné fotografie nesplnil však ani jediný. Firma Falkenthal + Presser vyvinula proto zvlášť pro naši potřebu fotoodpor M 253-1. Má značnou citlivost k modré barvě (obr. 8), strmou lineární charakteristiku (obr. 9) ($S = 1$) až do několika mililuxů, velmi krátkou časovou konstantu, nepatrnou teplotní závislost, zaručenou stabilitu ($\pm 5\%$ za rok) a každý kus je dodáván s cejchovní křívkou od 2 mililuxů. Cena je ovšem přiměřená kvalitě.

Ani Tesla však nezůstane patrně dlouho pozadu a v době uveřejnění tohoto článku již mají být na trhu napařované fotooodpory, jejichž velmi dobrou jakost jsem si již ověřil. Proti lisovaným typům WK 650-37 a WK 650-38 představují velký kvalitativní skok. Ve srovnání s typem M 253-1 mají menší odpor – to znamená, že ve spojení s osvitoměrem Mililux lze měřit jen nízké hladiny osvětlení, asi do 1 lx. Doufajme, že bude zavedena výroba tohoto typu i v provedení s velkým odporem.

Lisované fotooodpory sice nouzově vyhovív v černobilé fotografii při dostačném výkonu zdroje (Nitrafot), po případě i pro měření integrovaného barevného osvětlení, pro vážnou práci je však nelze doporučit.

Sonda se dodává ve dvou provedeních: pro černobilou a pro barevnou i černobilou fotografií.

Černobilá sonda je opatřena středovým vstupním otvorem o průměru asi 3 mm. Přední plocha sondy slouží jako stínítko pro snadnější vyhledání měřeného bodu. Při použití běžného objektivu lze měřit v celém rozsahu obrazu.

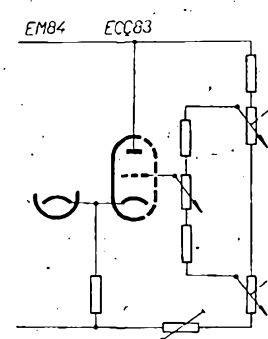
Sonda pro barevnou fotografií je opatřena otočným měničem filtrů se čtyřmi polohami: modrá, zelená, červená a „bílá“. Sonda tvoří tři kotoučky, z nichž horní a dolní jsou spolu pevně spojeny, prostřední je otočný. Horní kotouč nese projekční plošku se vstupním okénkem, prostřední filtry, dolní fotoodpor. Označení poloh kombinovaných filtrů odpovídá obvyklému značení subtraktivních sad.

Označení polohy	Zařazený filtr	Hlavní měřená vrstva
•	modrý 430 (trojí)	žlutá
• •	zelený 530 (trojí)	purpurová
• • •	červený 650	azurová
I	bezbarvý nebo modrý 460	černobilá

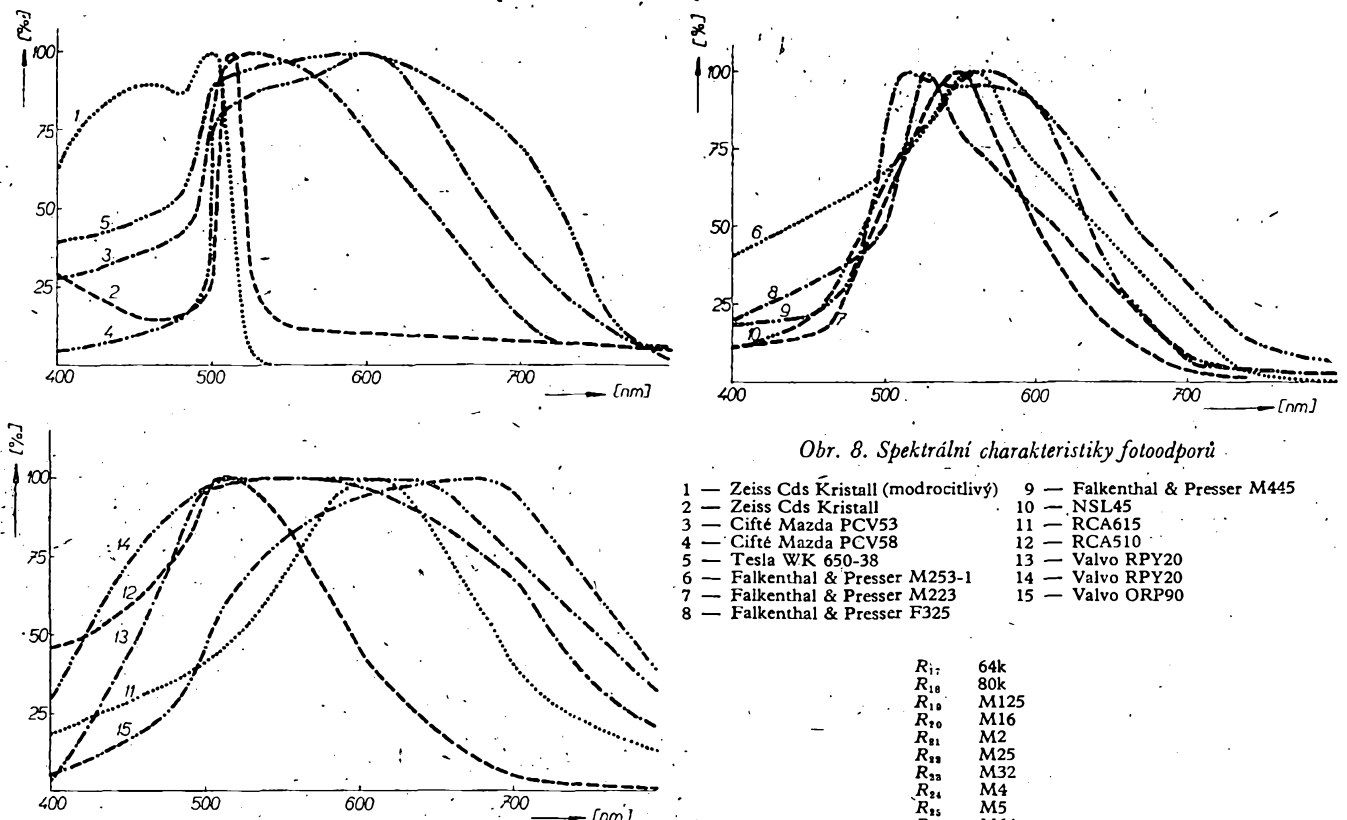
Měření černobilých obrazů modrým filtrem odpovídá spektrální citlivosti bromostříbrných papírů. Výhodou je menší ovlivňování změnami barevné teploty žárovky.

Z konstrukčních důvodů je zorný úhel barevné sondy menší než u sondy černobílé a nedovoluje tedy při velkém zvětšení měření v celé ploše obrazu. Rozlišovací schopnost daná průměrem clony fotooodporu je sice stejná jako u černobílého provedení, zaměřovací otvor má však vzhledem k tloušťce filtrů a šířkému dopadu paprsků větší průměr (5 mm), což je třeba brát při měření v úvahu.

Stupnice a šipky potenciometrů i přepínače času svítí. Stupnice jsou ryty negativně na organickém skle ze zadu nastříkaném – s výjimkou okénka pro elektronický indikátor – černým lakem. Pod knoflíky, v jejichž okraji je výříznuta a zalepena šipka z organického skla, jsou umístěny miniaturní modelové žárovky. U typu M2C je měřicí přístroj osvětlen zeleně a jeho okénko je zevnitř zakryto bílou maskou s výřezem pro stupnice. Elektronický indikátor vysílá kromě viditelného zeleného záření fotochemicky velmi účinné UV-záření. Proto je okénko pro indikátor ze zadu překryto zeleným filtrem 570 nm. Vhodná je čirá fólie z bezpečnostního filtru Foma pro bromostříbrné papíry.



Obr. 7. Dvojitý kompenzátor osvitoměru Mililux M3C



Obr. 8. Spektrální charakteristiky fotoodporů

- | | |
|---------------------------------------|-------------------------------|
| 1 — Zeiss Cds Kristall (modrocitlivý) | 9 — Falkenthal & Presser M445 |
| 2 — Zeiss Cds Kristall | 10 — NSL45 |
| 3 — Cifte Mazda PCV53 | 11 — RCA615 |
| 4 — Cifte Mazda PCV58 | 12 — RCA510 |
| 5 — Tesla WK 650-38 | 13 — Valvo RPY20 |
| 6 — Falkenthal & Presser M253-1 | 14 — Valvo RPY20 |
| 7 — Falkenthal & Presser M223 | 15 — Valvo ORP90 |
| 8 — Falkenthal & Presser F325 | |

K přístrojům Mililux se vyrábějí i některé doplňky, např. regulační transformátor, barevná paměť aj.

Regulační transformátor slouží k udržování stálé teploty barvy při stárnutí žárovky. Teplota barvy se měří barevnou sondou.

Barevnou paměť tvoří soustava šesti čtveric potenciometrů, umožňujících „zapamatování“ standardní barevnosti šesti zvolených standardních barevných objektů (např.: plet, tráva, tašky, modrá obloha, asfalt, šedá tabulkta). Funkce jednotlivých potenciometrů čtverice je tato:

1. si pamatuje červenou složku (míra osvětlení),
2. si pamatuje poměr modrá/červená,
3. si pamatuje poměr zelená/červená,
4. si pamatuje osvitovou dobu.

Použití Mililuxu M3

Použití přístroje M3N v černobílé fotografii je shodné s výchylkovým typem. U standardního negativu změříme

ld-osvětlení ve světlech a pokusně zjistíme vhodnou expoziční dobu. Součet hodnot ld-osvětlení a ld-osvitové doby udává ld-osvitu, jímž je za těchto okolností charakterizována citlivost použitého papíru. U všech dalších negativů nastavujeme takovou osvitovou dobu, aby tento součet zůstal konstantní.

Při měření barevnosti přístrojem M3C zařadíme nejprve červený filtr a jemný měřicí potenciometr (2. stupeň kompenzátora) nastavíme na maximum. Pak vyrovnané můstek hrubým potenciometrem (1. stupeň kompenzátoru). Údaj na hrubém (dvojitém) potenciometru určuje hodnotu červené (azur).

Pak zářadíme zelený filtr a vyrovnané jemným potenciometrem, na němž přečteme poměr zelená/červená.

Pořadně po zářazení modrého kombinovaného filtru změříme poměr modrá/červená. Tyto dva poměry určují barevnost. Nekryje-li se tato barevnost s barevností odpovídajícího bodu u standardního, správně korigovaného negativu, změníme ji v příslušném směru substraktivními filtry.

Celé měření (počínaje červenou a koncem úpravou filtrace) opakujeme tolikrát, až dosáhneme barevnosti shodné se standardem.

Jakmile jsme toho dosáhli, můžeme přikročit k expozici. Přitom se řídíme posledním čtením na červeň, které je mírou ld-osvětlení stejně jako v černobílé praxi.

Soupis součástí pro M2C

- | | |
|----------|----------|
| R_1 | 10G |
| R_2 | 1M |
| R_3 | 18k, 1 W |
| R_4 | M4, 1 W |
| R_5 | M1 |
| R_6 | 15k/2 W |
| R_7 | 10k/4 W |
| R_8 | M1 |
| R_9 | M1 |
| R_{10} | 500/1 W |
| R_{11} | 50/2 W |
| R_{12} | M25 |
| R_{13} | 3k3 |
| R_{14} | 2k7 |
| R_{15} | 12k |
| R_{16} | 12k |

R_{17}	64k
R_{18}	80k
R_{19}	M125
R_{20}	M16
R_{21}	M2
R_{22}	M25
R_{23}	M32
R_{24}	M4
R_{25}	M5
R_{26}	M64
R_{27}	M8
P_1	15k, drátový lineární
P_2	15k, drátový lineární
P_3	M1/N
C_1	200, polystyren nebo slida
C_2	16M/450 V elektrolytický
C_3	10M/30 V elektrolytický
C_4	4M, MP, 160 V
Relé	LUM 262—142
Diody	1NZ70.
E_1	ECC83
E_2	11TA31
E_3	11TA31
E_4	6Z31
E_5	ECC88

Přepínač FE 219 E22 telefonní.

Měřicí přístroj DHR8, 100 μ A.

Z_1 žárovka zvětšovacího přístroje.

Z_2 žárovka pro osvětlení komory 220 V.

Z_3 žárovka pro místní osvětlení 12 V, mírně přežhavená, se zářením filtrem 570 nm.

Z_4, Z_5 žárovka pro osvětlení stupnic přepínače, potenciometru a měřicího přístroje.

R_1 fotoodpor M 253-1 F+P nebo ekvivalent Tesla Blatná.

Transformátor — viz AR 1/69.

Pozn. — Při použití termistoru je třeba nastavit přesnou velikost R_4 , empiricky podle teploměru tak, aby stupnice odpovídala požadovanému rozsahu stupňů Celsia.

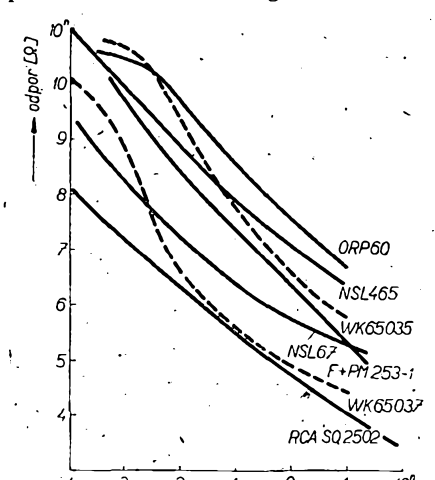
Pak nastavujeme přesnou velikost R_4 podle strmosti fotoodporu tak, aby stupnice odpovídala požadovanému rozsahu clonových čísel.

* * *

Tranzistory pro vyšší kmitočty

Mikrovlný tranzistor TRW 2N5483, který je vestavěn v keramickém pouzdru „stripline“ s páskovými vývody a šroubovou základnou, odevzdá výstupní výkon 5 W na kmitočtu 2 GHz. Na tomtéž kmitočtu má zisk 4 dB a účinnost 33 % v jednoduchém zesilovacím obvodu. Další dva nové tranzistory, určené pro vstupní a budící obvody, dávají výkon 1 W při zisku 6 dB a 2,5 W při zisku 5 dB. Všechny typy se napájejí napětím 28 V.

Výstupní výkon 50 W na kmitočtu 500 MHz odevzdá křemíkový planární tranzistor TRW 2N5178, který již úspěšně nahrazuje mikrovlnné elektronky středního výkonu. Při napájecím napětí 28 V má zisk 5 dB a účinnost 60 %. Pro výstupní výkon 25 W je určen typ 2NP177. Tranzistory jsou vestavěny v novém, patentovaném pouzdru z plastické hmoty s kovovou chladicí plochou a páskovými vývody emitoru a báze (obdoba pouzdra TO-37).



Obr. 9. Závislost vodivosti fotoodporu na osvětlení

Cubical Quad

v amatérské praxi

F. Meisl, OK1ADP

Každý zkušený amatér ví, že nejdůležitější částí dobrého komunikačního zařízení je anténa. V době nedávno minulé i současné, kdy podmínky šíření na KV jsou spíše podprůměrné a kdy se pásma zaplňují stále větším počtem operátorů, je jedinou nadějí na úspěšné zápolení s touto konkurenční dobrá směrová anténa. Při anketě časopisu CQ v roce 1966 byla mezi nejzkušenějšími DX-many světa vyhodnocena jako nejlepší všem dobré známá anténa Cubical Quad se dvěma nebo více pruhy. Při poměrně jednoduché konstrukci obou základních typů této antény a velmi jednoduchém způsobu optimálního nastavení je anténa Quad realizovatelná i v našich podmínkách.

Princip antény typu Quad

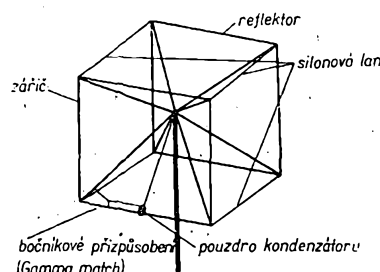
Každou stavbu směrového anténního systému je třeba předem rádně uvážit, hlavně však projednat s příslušnými orgány a vyžádat si ke stavbě písemné povolení, abyhom se vyhnuli nepřijemnostem. Musíme si totiž hned na začátku uvědomit, že taková anténa je monstrum, které pramálo lahodí zraku kolemjdoucích.

V podstatě jsou ve světě známy dva způsoby konstrukce této směrovky. První je tzv. Windmill Quad (název je odvozen z podobnosti s větrným mlýnem), nejčastěji používaný dodnes v USA (obr. 1), s možností umístění dvou i více prvků na nosném ráhnu (boomu). Dalším typem je Spider Quad (název je odvozen z podobnosti s pavoukem), který umožňuje konstrukci třípásmové dvoupakové směrovky s optimálním odstupem reflektoru a zářiče pro maximální zisk a předozadní poměr na všech třech pásmech 14, 21 a 28 MHz (obr. 2). Tímto typem se budeme zabývat podrobněji, protože se dá nejsnadněji realizovat i v našich podmínkách a v dlouhodobém provozu se velmi osvědčil u OK1ADP a OK1ADM. Nehledě na výhodnost tří soustředně umístěných anténních systémů je další výhodou i větší mechanická pevnost a menší odpor vůči větru, než je tomu u Windmill Quadu, kde několikametrový boom poskytuje větru vitanou oporu, takže se může při méně dokonalém rotátoru stát, že budeme mít na střeše místo antény kolotoč nebo větrný mlýn (viz název).

Materiál

Proti vztělému a u nás navíc zřejmě utkvělému názoru, že nosné tyče prvků antény Quad musí být z elektricky nevodivého materiálu (bambousové, sklolaminátové atd.), stavím fakt, že např. dvě světoznámé firmy vyrábějící antény pro amatéry v USA prodávají jedno- i vícepásmové antény Quad v celokovovém provedení z trubek AlMg. Kromě toho mám k dispozici podklady konstrukce

celokovové antény Spider-Quad od PY2EAD ze São Paula (obr. 3), který i za průměrných podmínek má ve střední Evropě jeden z nejsilnějších signálů z Jižní Ameriky při příkonu kolem 180 W PEP (2×6146). Sám používám Spider Quad pro 14 a 21 MHz, jehož nosné trubky jsou v délce asi 180 cm z materiálu AlMg a zbytek do délky 4,2 m z velmi tenkých bambusových tyčí, které mají na konci průměr sotva 10 mm. Pro méně chráněné polohy do-



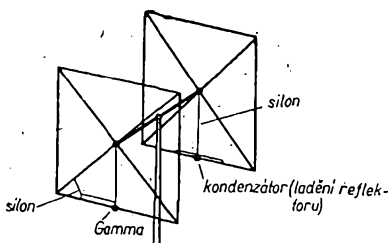
Obr. 2. Spider Quad

poručuji však tlustší materiál, jinak může při první větší námraze zůstat z antény torzo.

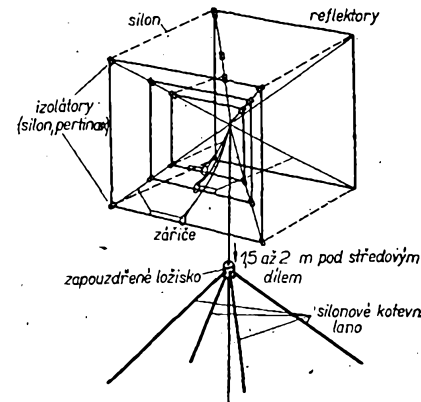
Jako stožáry nepoužívejte jakékoli vodovodní trubky; jejich pevnost na ohybě je velmi malá a silný výtr dokáže takový stožár ohnout i tehdy, je-li rádně kotven. Pokud bude celková váha anténního systému kolem 15 až 20 kg, stačí silnostenná trubka AlMg o průměru 36 až 40 mm nebo ocelová stejných rozměrů. Taktéž dimenzované stožáry kotvíme v každém případě třemi až čtyřmi silikonovými kotevními lany asi 1,5 až 2 m pod středovým dílem antény (obr. 3). Stožáry o větším průměru (kolem 45 až 60 mm) zpravidla nevyžadují kotvení, pokud nevyčnívají nad poslední ložisko více než 4 m.

Pokud jde o bezpečnost chodců při eventuálních haváriích, je třeba si uvědomit tyto skutečnosti:

1. Každé kotevní lano má pevnost v tahu kolem 300 až 600 kg (silikonové prádelní šňůry o průměru asi 5 mm dva-



Obr. 1. Windmill Quad



Obr. 3. Quad podle PY2EAD (detailně kresleny jen zářiče; průměr nosných trubek 20 až 25 mm, tloušťka stěny 1 mm)

krát) a je vyloučeno, že by v kritickém okamžiku praskla všechna na jednou).

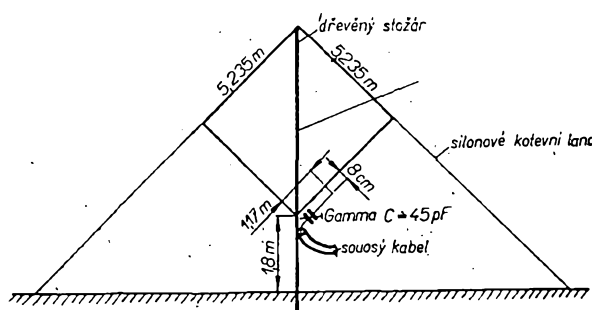
2. Žádný, ani sebevše poddimenzovaný stožár nikdy nepraskne úplně, spíše se ohne ve směru větru.
3. Ke každému systému antény vedou samostatné sousoše kabely; pevnost každého z nich v tahu je kolem 500 kg.

Z toho vyplývá, že ani v nejhorském případě nemůže žádná část havarované antény upevněné na střeše domu upadnout na chodník. Prakticky to bylo prověřeno při havárii první antény Quad OK1ADP, zaviněné zrezivěním ocelového kotevního lana.

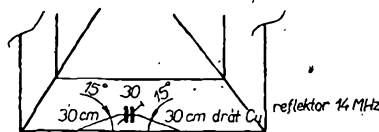
Při návrhu celokovové konstrukce středové antény Quad musíme počít s přerušením nosných trubek izolátory ze silonu nebo jiného materiálu v mísťech pro upevnění prvků pro jednotlivá pásmá.

Vlastnosti dvouprvkové antény Cubical Quad

Praktickými pokusy jsem si ověřil, že již samotný zářič (tzv. Single Loop Quad) má určitý zisk (zisk se rozumí proti jednoduchému dipolu), a to i tehdy, byla-li dolní hrana prvku jen 180 cm nad dobře elektricky vodivou zemí (obr. 4). V různých pramenech se uvádí, že tento zisk je asi 2,1 dB, což odpovídá zkušenostem z praxe. Víme, že u antén typu Yagi dosáhneme přidáním reflektoru ve vzdálenosti asi 0,2 až 0,25 λ zisku asi 4 dB, popř. kombinací zářič-direktor ve vzdálenosti 0,1 λ zisku asi 5 dB. Protože anténa Quad je vlastně patrovou soustavou dipólů v malé vzdálenosti, můžeme počítat s reálným ziskem kolem 7 až 8 dB, což je přibližně stejný zisk, jaký má tříprvková směrovka typu Yagi. V praxi se však ukázalo, že vertikální vyzařovací úhel antény Quad je podstatně menší než u antény Yagi; to má za následek, že se dvouprvkový Quad jeví téměř stejně účinný jako tříprvková anténa Yagi. Seriozní výsledky laboratorních měření zisku neznám, a publikované údaje se velmi rozcházejí.



Obr. 4. Jednoprvkový Quad



Obr. 5. Kapacitní dodadování reflektoru

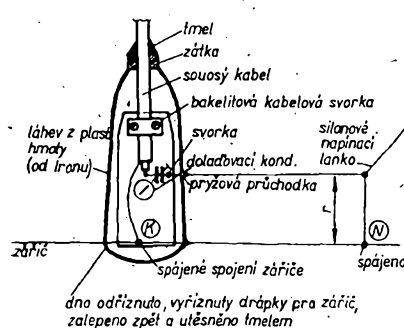
Dimenzování prvků

Údaje o rozměrech prvků tohoto typu antén se na rozdíl od beamů značně rozcházejí. Nevím, existují-li nějaké přesné vzorce pro výpočet těchto rozměrů, je však pravděpodobné, že správnější budou ty výpočty, v nichž se nepočítá s elektrickým zkrácením prvků. Po četných pokusech se změnou rozměrů jsem dospěl společně s OK1ADM ke shodným výsledkům. Obě antény splnily naše očekávání a fungují naprostot spolehlivě – v mém případě od léta 1966, u OK1ADM od léta 1967. Protože je výhodné elektrickou délku reflektoru nadat, uvádám výpočet pro jednotlivá pásmá s tím, že s vypočtenými délky reflektoru nelze dosáhnout maximálního předozadního poměru antény (ten je bez dodadění v rozmezí 18 až 22 dB). Při pečlivém dodadění (obr. 5) pomocí malého vysílače s příkonem kolem 500 mW ve vzdálenosti asi 300 m od reflektoru antény doladíme Quad kondenzátorem na nejslabší přijímaný signál. Přitom musíme vypnout AVC použitého přijímače a k indikaci zařadit měřidlo zapojené na nf výstup (Avomet). Kdo však nemá dobrý a bezpečný přístup k reflektoru antény v provozní výšce, nemusí se obávat zhoršení funkce systému v souvislosti s předozadním poměrem. Přesným naladěním reflektoru lze sice nastavit anténu podle místních podmínek skutečně dokonale, celkový zisk však délka reflektoru ovlivňuje jen nepatrne (zisk je maximální tehdy, je-li reflektor asi o 2,2 % delší než zářič).

Rozměry prvků byly počítány pro kmitočty 14,15; 21,23 a 28,5 MHz.

Rozměry prvků

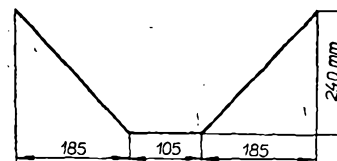
	Pásma		
	20 m	15 m	10 m
Délka zářiče $\frac{74,71}{f \text{ [MHz]}}$ [m]	5,28	3,52	2,62
Délka reflektoru $\frac{76,41}{f \text{ [MHz]}}$ [m]	5,4	3,59	2,68
Rozteč prvků $\frac{60}{f \text{ [MHz]}}$ [m]	4,24	2,82	2,1



Obr. 6. Mechanická konstrukce přizpůsobovacího členu

Rozměry přizpůsobení Gamma pro napájecí 72 Ω (obr. 6):

	Pásma		
	20 m	15 m	10 m
Rozměr K-N			
19 $f \text{ [MHz]}$ [m]	1,34	0,89	0,66
Rozměr r $\frac{1,15}{f \text{ [MHz]}}$ [m]	0,08	0,055	0,04
Kondenzátor (asi)	55 pF	40 pF	30 pF

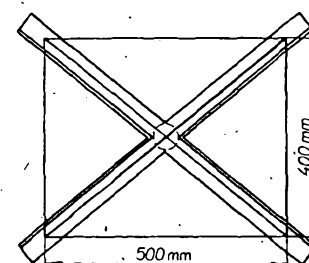


Obr. 8. Tvar úhelníku

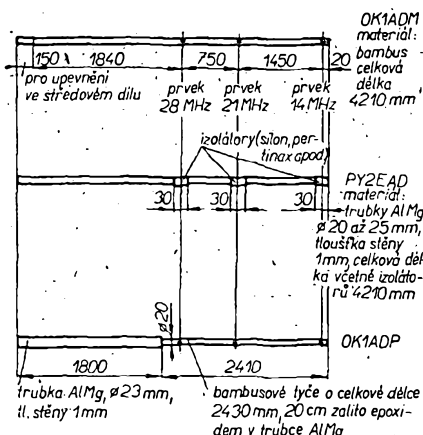
nelze dosáhnout, je třeba upravit rozměry prvků, přičemž si musíme uvědomit, že jakákoli změna délky kteréhokoli z prvků ovlivňuje zářič i reflektor; proto postupujeme opatrně po několika centimetrech.

Konstrukce

Nosné trubky (AlMg) nebo bambusové tyče, na nichž jsou upevněny drátové prvky pro jednotlivá pásmá, musí být dlouhé 425 cm (včetně dělicích izolátorů u celokovového provedení). Bambusové tyče mají být asi 3 cm tlusté a kónické (asi 1,5 cm na tenčím konci). Trubky AlMg volíme o průměrech 23, 20 a 18 mm s tloušťkou stěny 1 mm (rozměry nejsou kritické). Nosiče prvků jsou upevněny na středovém dílu antény pomocí stahovacích pásků, jaké se používají k uchycení pryžových hadic chladicích automobilů (nebo ještě jednodušeji bandází z telefonního kabelu PVC, dodatečně ještě omotanou lepicí páskou). Středový díl je nejdůležitější mechanickou částí a na jeho přesném provedení a mechanické pevnosti závisí celková pevnost, vzhled i elektrické vlastnosti celého systému. Skládá se z kusů tlustostěnné ocelové trubky o délce asi 35 cm, jejíž vnitřní průměr souhlasí s vnějším průměrem použitého stožáru, a ze čtyř ohnutých a svářených úhelníků 30 × 30 × 3 mm, které jsou přivařeny k nosné trubce (obr. 7, 8, 9). Po sestavení se upevní ke stožáru čtyřmi šrouby M8. Doporučuji překreslit obr. 8 a 9 v měřítku 1:1, aby se daly použít přímo jako svářecí šablona při sestavování středového dílu. Nejlépe je nakreslit tyto šablony na tvrdou lepenku nebo si předem zhotovit šablony z tenkého ocelového plechu, protože na přesnosti sváření závisí úspěch nebo neúspěch celého projektu. Sestava antény je na obrázcích znázorněna tak podrobně, že by stavba neměla dělat potíže ani tomu, kdo ještě něco podobného nezkusil. Montáž děláme podle místních podmínek na provizorním stožáru asi ve výšce 3 m nad zemí a hotovou anténu pak dopravíme na místo definitivního umístění, na volně stojící stožár (vůbec nejlepší řešení) nebo – jako v mém případě – montujeme anténu po částech přímo na střeše, pokud je to z bezpečnostních důvodů.



Obr. 9. Přivaření úhelníku k nosné trubce



Obr. 10. Rozměry nosníků a způsob jejich zhotovení podle OKIADM, PY2EAD a OKIADP

možné. Montáž antény mi bez pomocníků trvala téměř dva dny.

Bambusové tyče je třeba alespoň 14 dní před montáží řádně impregnovat vhodným (nejlépe tropickým) lakem se syntetickým ředidlem; schne na vzdachu kolem 3 až 4 dnů. Po definitivním zaschnutí prvního náteru jej opakujeme ještě alespoň jednou, aby bambusové tyče byly řádně chráněny před povětrnostními vlivy. Tyto práce u trubek AlMg odpadají; jejich životnost je prakticky neomezená. V některých pramech se doporučuje navrátit bambusových tyčí malým vrtákem těsně nad koleny, aby se vyrównal tlak vzduchu uvnitř tyčí při namáhání na ohýb. Z praxe mohu s klidným svědomím říci, že je to práce naprostě zbytečná a asi i škodlivá, protože pokud se vlnko dostane těmito otvory do dutin bambusových tyčí, je velmi pravděpodobné, že začnou hnít. Vhodný materiál pro zhotovení prvků je měděné lanko s izolací PVC o průřezu 1,5 mm². Izolaci odstraníme jen v místech připojení přizpůsobovacího člena. Každý prvek zhotovíme navinutím vodiče kolem dvou pevných bodů a konce spájíme. Používáme-li bambusové tyče, nejprve je pečlivě roztržíme podle tloušťky a čtyři nejtlustší umístíme na středovém dílu tak, že budou tvořit horní část antény (nesou vlastně celou váhu drátu). Na stavbu celé antény potřebujeme asi 100 m lanka. Mezi reflektorem a zářičem v horní a dolní části antény a také v místech upevnění prvků pro pásmo 28 MHz jsou napnutá silikonová vlákna, která mají za úkol jednak vymezit správnou vzdálost těchto prvků na všech pásmech,

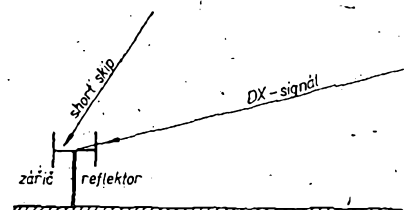
jednak zlepšit celkovou mechanickou stabilitu celého systému. Prvky upevníme na nosné tyče (obr. 10) nejprve tenkým drátem (o Ø asi 0,2 mm), definativně pak ještě režným provázkem; všechno opět řádně zalakujeme vhodným lakem. Pečlivá a důkladná práce je při stavbě antény samozřejmostí, jinak při prvním „větším povětrí“ poznáme, co jsme měli udělat lépe.

Sladění hotové antény Quad

Jak jsem se již zmínil, spočívá celý tento úkon v nastavení maximálního činitele stojatých vln podle reflektometru. Kdo má plochou střechu a tím snadněji přístup k anténě, může ještě nastavit maximální činitel zpětného příjmu kondenzátory reflektoru.

Viceprvkové a zvláštní typy antény Quad

Zisk dvouprvkové antény Quad lze snadno ještě dále zvětšit přidáním jednoho nebo dvou direktorů. Více prvků lze u antény Quad pro pásmo 20 m sotva realizovat, protože k dosažení potřebné širokopásmovosti nelze odstup prvků udělat menší než asi 0,17 λ. To



Obr. 13. Příjem s anténou typu Quad

Zisk tříprvkové antény Quad proti dvouprvkové je asi 3 až 4 dB. Činitel zpětného příjmu je 28 až 32 dB. Šířka paprsku je asi 48° (u dvouprvkové asi 60°).

Rozměry tříprvkové antény Quad DL3LL:

délka nosné tyče	7,32 m,
vzdálenost reflektor-zářič	3,97 m;
vzdálenost direktor-zářič	3,35 m,
délka zářiče	21,02 m,
délka reflektoru	21,99 m,
délka direktoru	20,60 m.

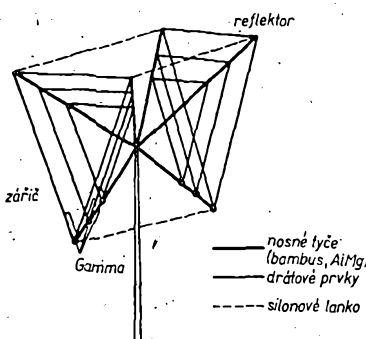
Rozměry antény Quad VK3MO:

délka nosné tyče	9,0 m,
vzdálenost reflektor-zářič	4,5 m,
vzdálenost direktor-zářič	4,5 m,
délka zářiče	21,07 m,
délka reflektoru	21,69 m,
délka direktoru	20,76 m.

Výsledky VK3MO byly více než výborné; jeho anténa byla ve výšce 21,0 m a v době špatných podmínek byl jedinou stanici VK, která byla stále ještě v Evropě slyšet alespoň S 57; v době dobrých podmínek byl jeho signál vždy nejméně o 2 S silnější než všech ostatních VK stanic.

Delta Loop Quad

Po tímto názvem dochází v poslední době v některých zemích k popularizaci antén typu Quad, jejichž prvky nejsou čtvercové, ale trojúhelníkové. Rozměry a provedení vyplývají z obr. 11 a z tab 1. Výhody tohoto typu antény spočívají zejména v tom, že vystačí s ještě menší stavební výškou nad zemí při dodržení všech dobrých vlastností běžné antény Quad a ve snadnosti stavby viceprvkového typu. Lze ji zkonstruovat také jako triplasmový dvouprvkový systém podle 9V1LG (obr. 12). Nosné tyče pak

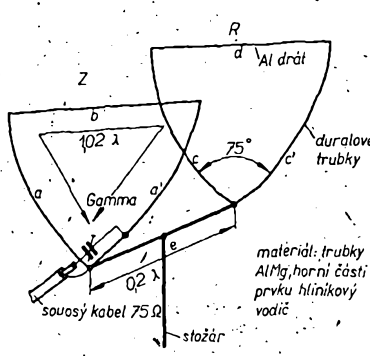


Obr. 12. Quad podle 9V1LG

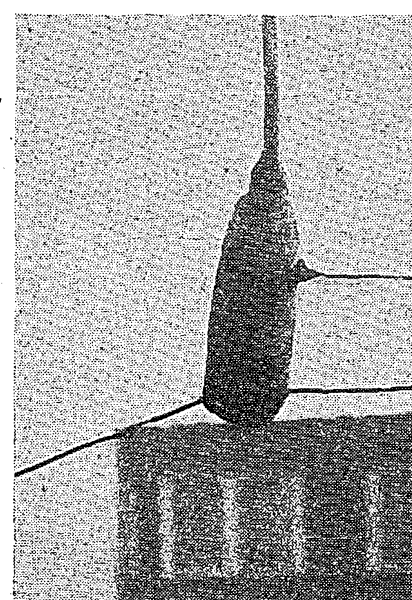
znamená, že tříprvková anténa Quad by měla podle provedení nosnou tyč dlouhou 7,5 až 10 m a čtyřprvková 10 až 12 m. Dokonalého přizpůsobení by opět možné dosáhnout přizpůsobovacím členem Gamma a v některých případech přímým připojením souosého kabelu 75 Ω k zářiči, který má u tříprvkové antény Quad přibližně stejnou impedanci. Prvky lze přesně naladit opět pomocí bočníkového ladění (stejně jako u dvouprvkové antény) nebo indukčnostmi dodávanými stlačováním, popř. roztahováním závitů.

Zisk

Zmínil jsem se již také o tom, že údaje o skutečném zisku jakékoli antény je lepší posuzovat skepticky, protože existuje jen velmi málo ověřených údajů. Proto je pro průměrného amatéra nejlepší metodou ověření přímo v provozu. Pokud chceme mít o své anténě co nejlepší představu, postavíme si navíc ještě porovnávací dipól, který můžeme během práce na pásmu rychle přepínat místo antény Quad. Takové pokusy děláme vždy s nějakou DX-stanicí a několikrát je opakujeme, abychom co nejvíce vyloučili vliv podmínek (popřípadě zkoušme totéž provozem CW a SSB). Po několika takových měřeních si uděláme nejlepší představu o tom, jak vlastně anténa „táhne“ a jaký je asi její přiblížný zisk. Výsledky mohou být velmi překvapivé.



Obr. 11. Delta Loop Quad



Obr. 14. Přizpůsobovací člen (v lahvičce od „Ironu“)

Tab. 1.

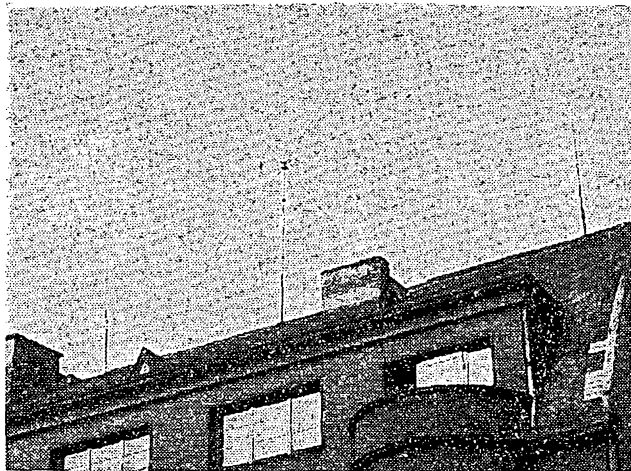
Pásma	a, a'	b	c, c'	d	$e (0,2 \lambda)$
20	7,3	6,7	7,45	7,0	4,24 m
15	4,95	4,35	5,7	4,5	2,7 m
10	3,6	3,3	3,6	3,55	1,95

ovšem musí být opět z izolačního materiálu nebo dělených trubek AlMg. V souvislosti s volbou materiálu pro stavbu kteréhokoli typu antény Quad je třeba si uvědomit, že osm bambusových tyčí o délce 4,2 m a sbíhavosti od 4 do 1 cm váží asi 15 kg, zatímco trubky AlMg o průměru 23 mm a tloušťce stěny 1 mm váží bez dělicích izolátorů téměř polovinu. U třípásmové antény Delta Loop Quad přistupuje ještě výhoda menší spotřeby materiálu pro nosiče prvků.

Zkušenosti ze stavby a provozu dvoupárvkové dvoupásmové antény Quad OK1ADP a dvoupárvkové, třípásmové antény Quad OK1ADM

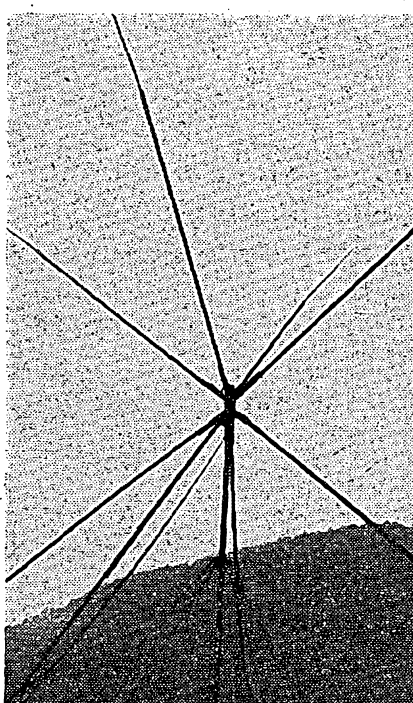
Po několikaletých provozních zkouškách z tohoto výborného typu antény na dvou zcela odlišných stanovištích mohu v souladu s dostupnou literaturou udělat několik důležitých závěrů pro návrh a stavbu: v souvislosti se ziskem a činitelem zpětného příjmu je třeba si hned na začátku uvědomit některá fakta, často při diskusech o směrových anténách opomíjená. V neposlední řadě je to činnost AVC v přijímači, které při správné funkci dokáže téměř vykompenzovat směrovost systému. Proto při zkouškách a měření činitele zpětného příjmu antény vždy AVC vypneme. Dalším faktorem je úhel dopadu přijímaných DX-signálů nebo tzv. short skipů. Pokud slyšíme stanici např. z Austrálie, podaří se nám většinou otáčením antény zjistit, z kterého směru signál přichází: V ranních hodinách to bývá přes tzv. „long path“ (dlouhá cesta signálu přes Jižní Ameriku), odpoledne zjistíme, že signál

Obr. 16. Umístění antény Quad na střeše



přichází z východu přes tzv. „short path“ (kratší cesta přes Asii). Naproti tomu při poslechu silné stanice např. z Itálie nebudeme vůbec pozorovat změnu síly signálu při otáčení antény. Signál totiž dopadá na její zářící pod velkým úhlem (obr. 13), takže reflektor se vůbec neuplatní. V souvislosti s tímto jevem se pak projeví činitel zpětného příjmu, který je u dobré seřízené antény Quad kolem 25 dB. Budeme-li na S-metru přijímače považovat jeden stupeň S za 6 dB, což je vžitá praxe, vidíme, že činitel zpětného příjmu je vyjádřen asi 4 až 5 stupni S. Stane se však, že slyšíme některou stanici S9 plus 30 dB, což není na pásmu 20 m žádnou výjimkou. V takovém případě otocením antény do protisměru zeslabíme stanici o 25 dB a ještě stále ji slyšíme S9 plus 5 dB. Abychom v takovém případě nebyli uvedeni v pokušení pochybovat o správné funkci antény, je třeba si tyto skutečnosti vysvětlit dřív, než se ke stavbě rozhodneme. Je třeba také říci, že stavba antény Quad je výhodná za každých okolností a přinese nejen zlepšení výsledků v porovnání s jednoduššími typy antén, ale při dobrém seřízení omezí i TVI a BCI. Měřený a zjištěný rozdíl zisku antény Quad oproti GP je minimálně 1,5 až 2 stupně S u protistanice, což se vyrovná zvětšení výkonu vysílače pěti až deseti-násobně při použití antény GP. Již pokus s jednoprvkovou anténou Quad mi v létě 1967 dokázal účinnost tohoto systému. Samotný zářící ve výšce jen 1,8 m nad zemí dával zřetelně lepší výsledky než 11 m vysoko pověšená anténa G5RV nebo 8 m vysoká anténa GP. Optimální výška nad dobře elektricky vodivou zemí je podle posledních zahraničních publikací asi $5/8 \lambda$, tj. asi 12,5 m. Zde platí totéž co u ostatních typů horizontálně polarizovaných antén – že totiž při dalším zvyšování dochází k roztržení vertikálního vyzářovacího diagramu na několik drobných laloků, jejichž vertikální úhly jsou mnohem větší, než je žádoucí pro dobré DX-výsledky.

Jedním z faktorů, které nejvíce ovlivňují vyzářování antény, je elektrická vodivost půdy nejen přímo pod anténním systémem, ale i v poměrně širokém okolí. V ideálním případě by anténa měla „vidět“ před sebou volné prostranství alespoň do vzdálenosti několika set metrů. HB9CV například uvádí ve svém obsáhlém pojednání o své dvoupárvkové směrovce, že špatně městské QTH může být až o 10 dB horší než dobré venkovské – v souvislosti s elektrickou vodivostí půdy a umístěním antény. Uvádí také, že vysoké budovy nebo skalní masivy jsou pro stavbu antény spíše nevhodné a jako nejlepší uvádí umístění anténního



Obr. 15. Pohled na horizontálnou anténu

systému na volně stojícím stožáru v optimální výšce. Oba tyto činitele jsem zevrubně ověřoval a došel k naprostu stejným poznatkům. Proto mohu své vlastní QTH ohodnotit jako velmi špatné městské, a to z těchto důvodů:

1. Anténa: příliš vysoko (27 m) – na čtyřpatrovém domě.
2. Elektrická vodivost domu nedefinovaná a tedy i nedefinovatelná výška antény nad vodivou zemí.
3. Elektrická vodivost půdy v okolí domu velmi špatná (bývalé labské koryto); spodní voda 7 m pod povrchem.
4. Prostranství téměř ve všech směrech zastaveno železobetonovými novostavbami, které v některých případech několikanásobně převyšují výšku antény.
5. Nejlepší směr na Jižní Ameriku přes Labe vzdálené asi 200 m přesto, že ve stejném směru jsou vysoké kopce dovolující vertikální vyzářování asi pod úhlem 25 až 30°.
6. Nejhorší směr na Afriku – z větší části zakrytý protější novostavbou, takže anténa přesahuje jen asi pětinou výšky přes tu překážku.

Pro porovnání ještě podmínky stanoviště OK1ADM, vzdáleného ode mne asi 1,5 km na okraji města:

1. Anténa Quad ve výšce 18 m, což se velmi blíží optimální výšce.
2. Elektrická vodivost půdy v okolí výborná – zahrada protéká potok.
3. Prostranství otevřené téměř na všechny strany umožňuje velmi malý vertikální úhel. Horizont asi 15°.
4. Nejhorší směr na sever, kde probíhá asi ve výšce dolní části prvků antény elektrická trolej a železniční násep.
5. Nejlepší směr na Jižní Ameriku a Afriku, kde do vzdálenosti asi 2 až 3 km je výborná zahradnická půda, potok a řeka Ploučnice.

Výsledky OK1ADM jsou zcela přesvědčivé. S příkonem asi 200 W (2x RL12P50) dosahuje stejných nebo lepších výsledků než já s příkonem kolem 700 W.

To jsou tedy náměty k přemyšlení o vhodnosti stavby jakékoli směrovky, tedy nejen antény Cubical Quad. V jednom si však můžeme být naprostě jisti: že stavbu antény tohoto typu můžeme jedině získat! Máte-li špatné QTH, zlepší se přesto reporty protistanic o 1 až 2 S při stejném příkonu vysílače. V praxi to znamená asi tolik, že kam jsme se dříve nedovolali vůbec, dostaneme teď report alespoň 56 a tam, kde jsme bývali dříve 57 až 58, budeme nyní 58 až 59 plus. Kromě toho se stejnou měrou zlepší i příjem a s podivem zjistíme, že slyšíme i takové stanice, o jakých se nám na dlouhodráťovou anténu ani nezdálo.

Přijímač s přímým směšováním

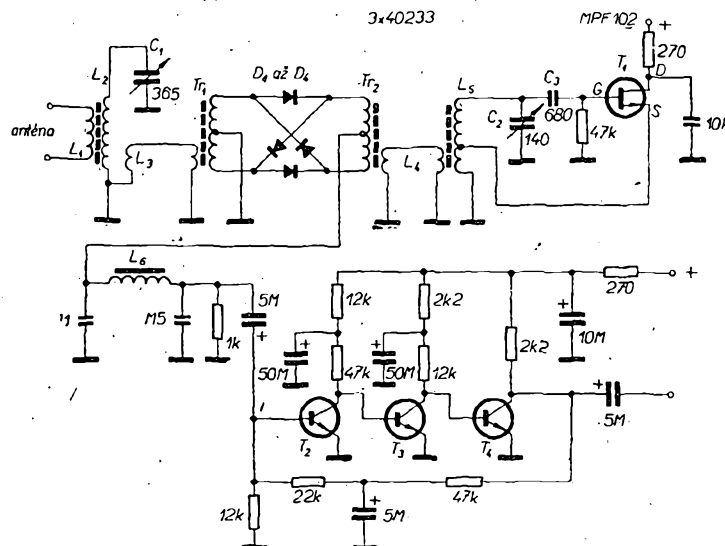
Velmi zajímavé zapojení přijímače uveřejnil švýcarský radioamatérský časopis Old man. Vstupní signál se přivádí přímo do product-detektoru, kam se současně přivádí i signál z laděného oscilátoru. Protože dobrý product-detektor je lineární, získává se zde selektivita přijímače až za tímto detektorem, tedy již v cestě nízkofrekvenčního signálu. Nízkofrekvenční filtr, který zadržuje všechny kmitočty nad 2 kHz, tvoří cívka L_6 a kondenzátory M1 a M5. Jednoduchý nízkofrekvenční zesilovač s velkým zesílením (100 dB) je zakončen výstupem pro sluchátka.

Autor postavil tento přijímač pro pásmo 3,5 MHz a cívky navinul na

toroidní jádra. Podle jeho údajů je citlivost přijímače taková, že signál o napětí 1 μ V na vstupu lze ještě přijímat. Stabilita je výborná, selektivita je poněkud horší, vyhovuje však pro běžnou práci na 3,5 MHz. Odolnost proti křížové modulaci je srovnatelná s běžným krátkovlnným superhetem a podstatně lepší než u přímozesilujících přijímačů.

Pozn. red.: - Protože nás zaujala jednoduchost a originálnost tohoto přijímače, požádali jsme spolupracovníky, aby se pokusili postavit přijímač s následujícími součástkami. Doufáme proto, že se k tomuto zapojení vrátíme s podrobným konstrukčním návodom.

Old man 4/69



„DX ŽEBŘÍČEK“

Stav k 10. květnu 1969

Vysílač		
CW/Fone		
I.	OK1ADP	311(312)
II.	OK1ADM	314(325)
III.	OK1ADM	314(325)

OK1SV	314(325)	OK1ADM	311(312)
OK1ADP	290(296)	OK1VK	218(226)
OK1MP	282(282)	OK1BY	217(236)
OK1ZL	270(270)	OK2QX	217(224)
OK1KUL	268(287)	OK1PD	215(256)
OK1CX	254(254)	OK1AKQ	212(263)
OK1VB	249(261)	OK1CC	201(216)
OK1MG	242(250)	OK2PO	190(198)
OK3IR	233(244)	OK2KMB	185(208)
OK1AW	230(243)	OK1KTL	182(201)
OK1AHZ	225(242)	OK1DB	177(190)
OK1JUS	221(246)	OK3BU	163(191)
OK3CPD	218(231)	OKJKDC	160(190)

OK1PT	147(177)	OK2LN	113(115)
OK3JV	146(164)	OK1APV	111(154)
OK1NH	145(158)	OK1AKL	100(129)
OK2BIX	143(172)	OK3CEK	100(119)
OK1ZW	142(143)	OK2BLG	99(135)
OK3CAU	140(160)	OK1AMR	93(136)
OK1KOK	139(165)	OK1AKU	90(140)

Posluchač

I.

OK2-4857 308(326)

II.

OK1-6701 233(276) OK1-8188 160(230)

OK1-25239 216(270) OK1-16702 143(211)

OK1-10896 214(274) OK1-15561 137(200)

OK1-12233 172(231) OK2-21118 134(238)

III.

OK2-21561 119(204) OK1-15688 76(201)

OK1-15835 99(145) OK1-18851 66(121)

OK2-4243 97(173) OK2-20501 64(117)

OK1-17751 96(160) OK1-17323 63(114)

OK1-8817 92(159) OK2-17762 55(55)

OK1-15643 87(138) OK1-16611 52(113)

Z DX žebříčku posluchačů vystoupil OK2-4243, poněkud získal povolení na vlastní vysílací stanici se značkou OK2SMS. Blahopřejeme!

Méně přijemné je sdělení, že stanice OK2-3868, OK1-99 a OK3-4667 neposíaly již dle než půl roku obnovené hlášení a podle podmínek jsme byli nuteni je výraďat.

Další hlášení nezapomeňte poslat do 10. srpna t. r. Doporučujeme však, abyste to udělali hned po přečtení tohoto DX žebříčku. Pak jistě nezapomenete!

Výsledky ligových soutěží za duben 1969

OK LIGA

Kolektivky			
1. OK3WKW	951	5. OK1KYS	195
2. OK1KTH	852	6. OK3KIO	182
3. OK2KFP	652	7. OK1KTL	143
4. OK2KZR	282	8. OK1KZE	106

Jednotlivci			
1. OK3BU	1 913	11. OK1AOV	377
2. OK2PAE	1 054	12. OK1AMI	358
3. OKIAWQ	694	13. OK1JKR	342
4. OK2BHV	682	14. OK1AOR	322
5. OK2BPE	557	15. OK1DOH	304
6. OK2QX	543	16. OK1JOE	208
7. OK1AG	536	17. OK2BBI	196
8. OK1AKU	461	18. OK1AFX	161
9. OK1ATZ	429	19. OK3CAZ	150
10. OK3DT	425	20. OK3ZAD	106

OL LIGA

1. OL2AIO	321	4. OL1ALM	216
2. OL5ALY	297	5. OLIAKG	200
3. OL6AKP	278	6. OL1AIIZ	145

RP LIGA

1. OK1-13146	5 316	4. OK1-17354	660
2. OK1-6701	3 856	5. OK1-8817	555
3. OK1-15835	676	6. OK2-17762	466

První tři ligové stanice od počátku roku do konce dubna 1969

OK stanice - kolektivky

1. OK1KTH 11 bodů (5+2+2+2), 2. OK1KYS 15 bodů (3+4+3+5), 3. OK2KFP 17 bodů (4+5+5+3); následují 4. OK1KTL 25 b., 5. OK3KIO 26 b.

OK stanice - jednotlivci

1. OK2PAE 5 bodů (1+1+1+2), 2. OK2BHV 12 bodů (2+3+3+4), 3. OK2QX 23 bodů (8+4+5+6); následují 4. OK1AG 32 b., 5.-6. OK1ATZ a OK2BPE 37 b., 7. OK1AOR 38 b., 8. OK1AMI 51 b.

OL stanice

1. OLIAKG 10,5 bodu (1+2,5+2+5), 2. OL6AKP 12 bodů (5+1+3+3), 3. OL2AIO 14 bodů (2+7+4+1); následují: 4. OL5ALY 15 b., 5. OL1ALM 19,5 b., 6. OL1AIIZ 25 b.

RP stanice

1. OK1-13146 5 bodů (1+2+1+1), 2. OK1-6701 7 bodů (2+1+2+2), 3. OK1-15835 16 bodů (4+5+4+3); následuje 4. OK2-17762 31 b.

Jou hodnoceny jen ty stanice, které od začátku roku poslaly všechna čtyři hlášení.

Změny v soutěžích od 10. dubna do 10. května 1969

„S6S“

V tomto období bylo uděleno 11 diplomů S6S za telegrafická spojení č. 3 835 až 3 845 a 6 diplomů za spojení telefonická č. 849 až 854. V závorce za známkou je uvedeno pásmo doplňovací známky v MHz.

Pořadí CW: LZ2EA (14, 21, 28), DM3YLG, OK1KYS (14, 21), OK3WKW (14), OK2BIP, WA1GUH (14, 21), G3VOM (14), YU3APR, OZ2LW (14), SP5ATO (14, 21) a IILAV (14).

Pořadí Fone: F3WX (2 × SSB), G3VOM (14 - 2 × SSB), CT1UA (14, 21), IIRGI (14 - 2 × SSB), F5XA (21 - 2 × SSB) a JH1HWN (21).

Doplňovací známky, za telegrafická spojení na 14 MHz dostanou stanice OK1AQW k základnímu diplomu č. 3 688, OK1AHX k č. 3 092 a DM2DEO k č. 3 325, který dostane i známku za 7 MHz. Za telefonická spojení 2 × SSB dostanou doplňovací známku za 3,5 MHz OK2OP k základnímu diplomu č. 689.

„100 OK“

Dalších 18 stanic, z toho 8 v Československu, získalo základní diplom 100 OK č. 2 184 až 2 201 v tomto pořadí:

OK2HZ (544. diplom v OK), DM4MKL, DM2CZL, OK2BOG (545.), OK1MAO (546.), DL0LA, PA0BFN, OK1VC (547.), SP9RB, YU4VBB, OH6AB, DJ6TU, SP5ATO, OK2BMF (548.), OK1AWR (549.), OK2BME (550.), DJ6SX a OK3BG (551.).

„200 OK“

Doplňovací známku za 200 předložených různých listků z Československa obdržely tyto stanice: č. 196 OK2BLH k základnímu diplomu č. 1991 a č. 197 OK1KVK k č. 952.

„300 OK“

Doplňovací známka za 300 potvrzení z OK byla zaslána stanicí OK3ZMT (ex OK3CGZ) s č. 86 k základnímu diplomu č. 1 662. Dále č. 87 OK1KVK k č. 952, č. 88 OK1AOR k č. 1 745 a č. 89 SP9YP k č. 1 994.

„400 OK“

Doplňovací známku č. 45 dostal OK1NC k základnímu diplomu č. 1 684 a č. 46 OK1KVK k č. 952.

„500 OK“

Pro stanici OK1KVK byla připravena známka za 500 různých QSL listků z Československa s č. 28 k základnímu diplomu č. 952. Tato stanice prokázala tak pevnou vlnu, že požádala o všechny doplňovací známky - nejdoucí Gratulujeme!

„P75P“

3. třída

Diplom č. 278 byl přidělen stanicí OK3CCC, Michalu Krajčovičovi, Zvolen, a č. 279 OK3BT, Borisu Bosákoví z Bratislav.

2. třída

Diplom č. 110 dostala stanice UA0EK.

„RP OK-DX KROUŽEK“

3. třída

Diplom č. 576 získala stanice OK1-17728, Petr Douděra z Prahy 6.

2. třída

Diplom č. 215 dostal Karel Suchý, Sázava, OK1-17751.

+ + + +

Byly vyfizeny žádosti došlé do 14. května 1969.

Diplom „50 – SRR“

Z príležitosti 50. výročia vyhlásenia Slovenskej republiky rád v Prešove vyhlasuje klubová stanica OK3KPN v spolupráci s Mestským národným výborom v Prešove súťaž pre rádioamatérskový svet o získanie pamätné vlagy a diplomu za spojenia s rádioamatérskymi stanicami v Prešove. Pri tejto príležitosti bol niektorým prešovským staniciam pridelený osobitný prefix OK5 pre lepšiu propagáciu súťaže.

Podmienky diplomu

- Diplom sa vydáva v dvoch triedach za spojenia nadviazané so stanicemi z Prešova v dobe od 1. apríla do 30. novembra 1969.
 - I. trieda: diplom s pamätnou vlagou,
 - II. trieda: diplom.
- Pre RP poslucháčov len diplom.
- Pre I. triedu je potrebné nadviazať 4 QSO so stanicami v Prešove, pričom 1 QSO musí byť nadviazaný s osobitným prefixom.
- Pre II. triedu je potrebné nadviazať 2 QSO so stanicami z Prešova.
- Pre RP je potrebné získať 4 QSL-listky od prešovských stanic, pričom 1 QSL musí byť od stanice s osobitným prefixom.
- Pásma: 1,8 – 3,5 – 7 – 14 – 21 – 28 – 145 MHz.
- Spôsob: CW, fone.
- Pre diplom sa počítajú aj spojenia nadviazané s tou istou stanicou dvoma spôsobmi, napr. CW a SSB bez ohľadu na pásmo sa počítajú za 2 QSO.
- Najnižší report pre CW 338, pre fone a SSB 33.
- Žiadost musí obsahovať zoznam prešovských stanic, s ktorými boli nadviazané spojenia.
- Pre stanice OK sa diplom vo všetkých triedach vydáva zdarma, pre zahraničných účadzovačov pre I. triedu 5 ICR, pre II. triedu 2 ICR, pre RP 2 ICR.
- Pre vydanie diplomu je rozhodnutie súťažného výboru, rozhodujúce.
- Žiadosti sa zasielajú na adresu: ing. Július Čajka, OK3OM, ul. A. Dubčeka 107, Prešov, Československo.
- Konečný termín podania žiadostí je 30. november 1970. Žiadosti došle po tomto termíne budú zamietnuté.
- Súťažný výbor vypisuje pre prešovských rádioamatérov súťaž o najväčší počet nadviazaných QSO za uvedené obdobia. Prvni traja v poradí obdržia večné ceny, venované MSNV v Prešove.
- Súťažný výbor udeli „Pamätnú plaketu mesta Prešova“ 1. stanici, ktorá získala diplom „50 – SRR“, a to osobitne v OK, EU, AS, AF, SA, NA, OC.

17. Zoznam niektorých stanic z Prešova:
 a) osobitné prefixy: OK5KPN, OK5SRR,
 OK5BU, OK5FH,
 OK5OM, OK5YK,
 OK5CCA, OK5CGW,
 OK5CJB, OK5ZMV,
 b) ostatné stanice: OK3KAH, OK3KPE,
 OK3CFU, OK3VAD,
 OK3VAH, OK3VBY,
 OK3VFH, OK3ZAM,
 OK3PX.

Celkové pořadí kategorie B

- Klement OL6AIU Pardubice 251 bodů
 - Kačírek OL1AHN Pardubice 250 bodů
 - Vlček OL6AIV Pardubice 249 bodů
 - Kaiser OL1ALO Příbram 239 bodů
 - Dolejš OL2AIO Tábor 219 bodů
 - Hanzal OL1ALM Praha 214 bodů
 - Sloupenský OL5AJU Ústí n. Orl. 207 bodů
 - Cevona ex OL5AKM Ústí n. Orl. 176 bodů
 - Toužín OL6AKP Žďár n. Sáz. 140 bodů
 - Karas OL1ALX Příbram 112 bodů
 - Šalda OL1ALN Praha 79 bodů
- Hlavní rozhodčí: mistr sportu Karel Pažourek, OK2BEW.*

VÍCEBOJ

Memoriál OK2BX 1969

II. ročník Memoriálu Boh. Borovičky 26. dubna 1969 v Brně byl prvním závodem, v němž se soutěžilo podle zjednodušených propozic bývalého viceboje. Nyní se tento závod jmenuje RTO Contest (R - receiving, T - traffic, O - orientation).

Závod se zúčastnilo 18 závodníků z Čech a Moravy, kteří soutěžili ve dvou věkových kategoriích. Ředitel závodu ing. František Fencl, OK2OP, vzpomněl při slavnostním zahájení zemřelého Boh. Borovičky a vyzval účastníky k uctění jeho památky minutou ticha.

Závod začal přijmem, v němž ani jeden z účastníků nezískal 100 možných bodů. V kategorii A měli Mikeska a Kosif po jedné chybě, v kategorii B Kliment rovněž jednu chybu. Hlavní disciplína závodu - provoz - se konala v lesnatém brněnském předměstí Kohoutovicích. Hodinu provozu na krátkých vlnách byla rozdělena na 3 etapy po 20 minutách. Nejlepších výsledků dosáhli Mikeska a Kliment, kteří navázali po 23 QSO. Mnozí závodníci nepřesně registrovali čas a tak se zbytečně ochuzovali o spojení, která jim nemohla být uznána, pokud se uvedený čas QSO rozcházel s údajem protistánice o více než dvě minuty. K provozu byly ještě použity stanice RO 21, které však již dosluhují. Zůstává naděje, že v dohledné době přijde někdo z amatérů s prototypem tranzistorového zařízení, které zrychlí závod po organizační stránce.

Trať orientačního závodu vedla lehce prostupným listnatým lesem v okolí Kohoutovic. Pro kategorii A byla dlouhá 5,78 km, pro kategorii B 4,25 km. Dominoval na ní mistr sportu Tomáš Mikeska, který časem 41,47 min. získal 21 minut náskoku před dalším závodníkem. Jan Cevona, nejlepší z kategorie B, si svým vítězstvím této disciplíny podstatně zlepšil celkové umístění. Celý závod trval jeden den. Všichni účastníci dostali upomínkové vlagy, nejlepší tři z každé kategorie večné ceny. Absolutnímu vítězi, mistru sportu Tomáši Mikeskovi, předala dcera Boh. Borovičky večně putovní křišťálový pohár.

- Hlavní rozhodčí: mistr sportu Karel Pažourek, OK2BEW.*

HON NA LIŠKU

Výběrová soutěž Kladno

29. 3. 1969

Účast: 13 závodníků na 3,5 MHz,
12 závodníků na 145 MHz.

Hlavní rozhodčí: František Ježek, OK1AA5.

Pásmo 3,5 MHz

- Rajchl Praha 43,30 min.
 - Burian Litoměřice 45,55 min.
 - ing. Magnusek Míšek 48,30 min.
 - Vasík M. Košice 56,05 min.
 - Harminc Písek 56,10 min.
 - Šrůta Praha 56,20 min.
 - Bloman Praha 61,00 min.
 - 9. Hermann Brno 68,00 min.
 - 9. Stříhalová Kladno 68,00 min.
 - Točko L. Košice 71,00 min.
- Na dalších místech: Bittner, Kryška, Bina.*

Pásmo 145 MHz

- ing. Plachý Blansko 35,45 min.
 - Vasík Košice 44,00 min.
 - Bittner Nové Město n. Váhom 45,00 min.
 - Točko Košice 48,00 min.
 - Kryška Praha 58,00 min.
 - Rajchl Praha 59,00 min.
 - ing. Mangusek Míšek 61,00 min.
 - Bina Praha 70,00 min.
 - Harminc Písek 86,00 min.
 - Hermann Brno 59,00 min.
- (2 lišky)

Na dalších místech: Burian, Stříhalová.

Soutěž se konala v Horním Bezdekově, asi 7 km od Kladna. Výsledky byly velmi dobré, přestože počasi soutěži nepřícho. Trať v pásmu 3,5 MHz měřila 4 600 m a na 145 MHz 4 100 m.

Výběrová soutěž Brno-venkov

12. 4. 1969

Účast: 23 závodníků na 3,5 MHz,
16 závodníků na 145 MHz.

Hlavní rozhodčí: Karel Souček, OK2VH.

Pásmo 3,5 MHz

- Bittner Nové Město n. Váhom 63,45 min.
- Šrůta Praha 63,55 min.
- Točko Košice 68,40 min.
- ing. Plachý Blansko 71,50 min.
- ing. Magnusek Míšek 75,35 min.
- Chalupa Kladno 81,30 min.
- Hermann Brno 84,00 min.
- Burian Litoměřice 86,00 min.
- Gavora Bratislava 87,50 min.
- Rajchl Praha 88,5 min.

Na dalších místech: Bina, Kryška, Mojžíš, ing. Brodský, Harminc, Kanás, Busta, Bloman, ing. Čermák, Bruchanov, Beneš, Staněk a Pivrnec.

Pásmo 145 MHz

- Rajchl Praha 54,31 min.
- Harminc Písek 54,44 min.
- Šrůta Praha 55,00 min.
- Kryška Praha 57,10 min.
- Bittner Nové Město n. Váhom 62,12 min.
- ing. Plachý Blansko 62,20 min.
- Burian Litoměřice 64,20 min.
- Hermann Brno 67,17 min.
- ing. Magnusek Míšek 68,22 min.
- ing. Brodský Brno 80,00 min.

Na dalších místech: Gavora, Chalupa, Pivrnec, Staněk, Busta a Točko L.



Absolutní vítěz II. ročníku Memoriálu Boh. Borovičky, mistr sportu Tomáš Mikeska

Celkové pořadí kategorie A

- Mikeska OK2BNF Otrokovice 298 bodů
- Uzlík OK1KMK Praha 261 bodů
- Kosíř OK2MW Hodonín 246 bodů
- Koudelka OK1MAO Pardubice 233 bodů
- Jonášová OK1KNH RK Smaragd 197 bodů
- Jankovičová OK1KNH RK Smaragd 182 bodů
- Polák OK2PAE Vyškov 126 bodů

7 Amatérské RÁDI 277

Soutěž byla organizačně velmi dobré zajištěna členy oddílky ČRA (rádioklub Tišnov) v Lomnici u Tišnova. Soutěž na 3,5 MHz a 145 MHz proběhla z úsporných důvodů v jednom dni. Druhou výkonnostní třídu získali Busta, Bráchanov a Gavora.

I. mistrovská soutěž

Dobřichovice 9. a 10. 5. 1969

Účast: 16 závodníků na 3,5 MHz,
13 závodníků na 145 MHz.

Hlavní rozhodčí: ing. František Smolík.

Pásma 3,5 MHz

1.	ing. Magnusek	Místek	73,00 min.
2.	Vasilko	Košice	87,00 min.
3.	Töcko	Košice	87,40 min.
4.	Kryška	Praha	93,00 min.
5.	Bina	Praha	94,20 min.
6.	Gavora	Bratislava	97,43 min.
7.	Šrůta	Praha	98,45 min.
8.	Blošman	Praha	56,45 min. (3 lišky)
9.	ing. Brodský	Brno	57,25 min. (3 lišky)
10.	Rajchl	Praha	62,42 min. (3 lišky)

Na dalších místech: Hermann, Hujša, Koblic, Chalupa, Kop a ing. Plachý.

Pásma 145 MHz

1.	Vasilko	Košice	65,40 min.
2.	Bina	Praha	68,40 min.
3.	ing. Magnusek	Místek	69,00 min.
4.	ing. Plachý	Blansko	69,50 min.
5.	ing. Brodský	Brno	73,00 min.
6.	Kryška	Praha	74,40 min.
7.	Töcko	Košice	79,30 min.
8.	Hermann	Brno	84,35 min.
9.	Šrůta	Praha	94,50 min.
10.	Chalupa	Kladno	108,30 min.

Na dalších místech: Rajchl, Hujša, Gavora.

Výsledky svědčí o dobré úrovni soutěže; přestože některí reprezentanti se z většinou důvodů nemohli zúčastnit. Trat v pásmu 3,5 MHz měřila 6 700 m a v pásmu 145 MHz 6 100 m. Limity byly 100 min. a 120 min. První výkonnostní třídu získal L. Töcko. Tři nejlepší soutěžci na každém pásmu byli odměněni věcnými cenami.

podobnost, že se spojení podaří telegraficky než na SSB.

Klubovní stanice ET3USA oznámila, že má zazádání o koncesi pro expedici do Súdánu (ST2). Vyřízení však dodnes nedostala.

Zdá se, že s expedicí VK0WR na Heard Island přece jen není něco v pořádku. Ve světových DX-bulletinech proskočily zprávy, že ARRL známkou VK0WR nemínil uznat do DXCC a proto při této expedici dosud neposílá QSL. Tomu ovšem odpovídá, že OK1ADM dostal QSL přímo – s razitkem lodní pošty lodi South Wind! Jen aby skutečně platil!

VE3HOU, který byl v době letošního CQ-WW-DX-SSB-Contestu na expedici na ostrov Monserrat jako VP2MF, oznámil, že tento expedici zopakuje ještě letos v létě, snad o dovolené.

Značka 1N2A patřila expedici několika Američanů a pracovala asi tři dny na začátku května z tzv. čtvrté Neutrální zóny, která leží někde na styku území PY, HK a TI. Pofadatelem expedice byl W4VPD, který také sliboval, že udělá všechno, aby tato zóna byla ARRL uznána za plnou novou zemi DXCC. QSL na W4VPD.

Expedice VE6AJT a VE6APF o sobě nedala již dva měsíce vědět. Domníváme se, že zůstala na VR2 a je bez prostředků na další část expedice.

Expedice na Serrana Bank, kterou měl v červnu t. r. podniknout WA6AHF, byla odvolána, údajně pro značné nebezpečí při vylodění. Místo toho bude uspořádána expedice na Galapagos, HC8. Kmitoří záim nebyly oznámeny.

Známi a zkušení DX-mani VS6DR a CR9AK oznamují, že se vypočítá s DX-expedicí na velmi vzácný ostrov Spratly, ležící asi 1 450 km od Hongkongu. Je to plná země do DXCC. Mají tam odjet uprostřed letošního léta.

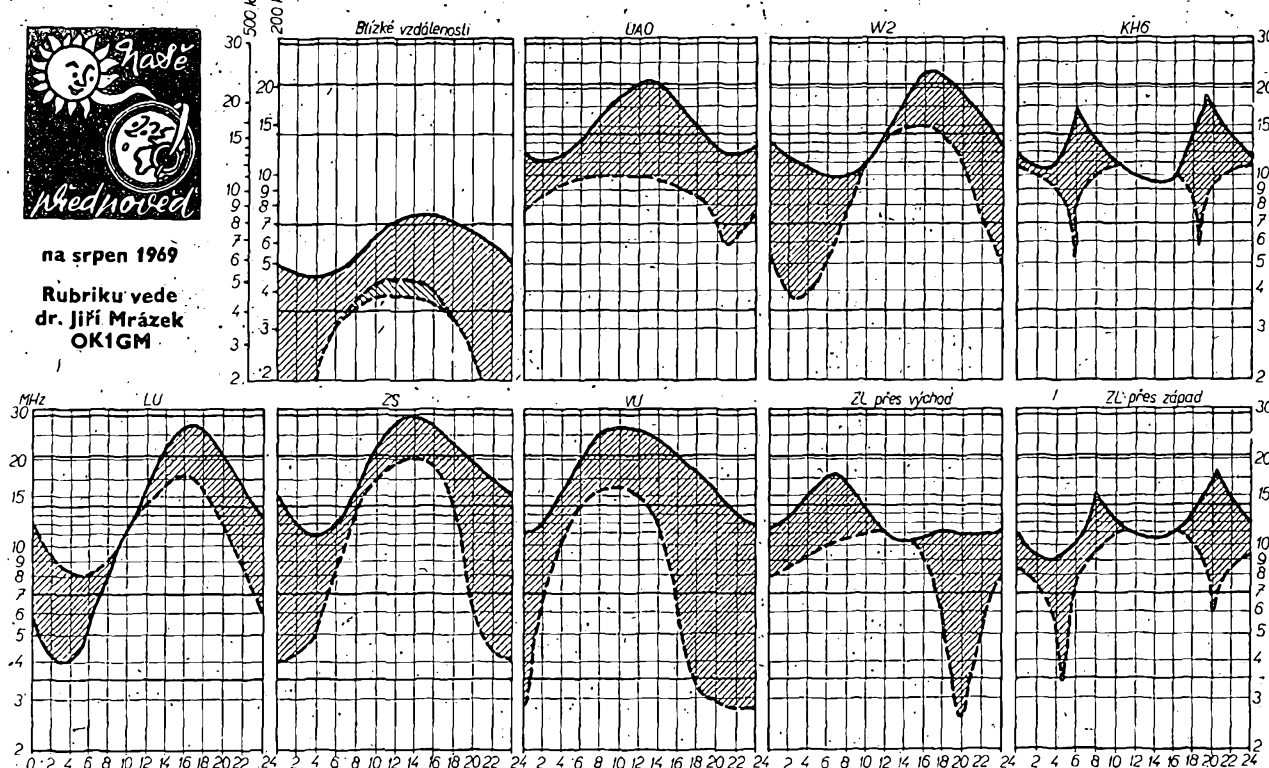
Tém, kdo „zaspal“ expedici na ostrov Lord Howe, pomůže jistě tato zajímavá zpráva VK2BF: chce navštívit malý skalnatý ostrůvek Ball's Pyramid, vzdálený jen pár mil od ostrova Lord Howe, za který bude s největší pravděpodobností platit i do DXCC.

FO8BW oznamuje, že bude mezi 5. 6. až 10. 8. 1969 vysílat jako expedice z ostrova Bora-Bora nedaleko Bornea. Je vyzbrojen vysílačem o výkonu 1 kW a pro jistotu si ho užijte; kdo vě, nebude-li z toho nějaká nová země DXCC.



na srpen 1969

Rubriku vede dr. Jiří Mrázek OK1GM



Sluneční činnost zůstává i nadále poměrně velmi intenzivní a proto lze v srpnu očekávat přibližně stejně podmínky jako před rokem. Začátkem srpna se mohou dotkat zajímavých dálkových spojení na pásmu 80 m t. kteří si časné ráno přivstanou – nejlépe asi hodinu před východem Slunce. V klidných dnech bude totiž krátce otevřena trasa až po Nový Zéland ve směru neosvětleném Sluncem. Na vyšších krátkovlnných pásmech však budou

DX-podmínky – podobně jako v červenci – zhoršeny vlivem termických pochodů v ionosféře, které neumožní příliš vysoké hodnoty nejvyšších použitelných kmitočtů. Na 10 m zaznamenáme tedy spíše short-skipy z okrajových států Evropy než signály ze zámořských světadilů, na 21 MHz to bude lepší až v podvečer a v první polovině noci. Poměrně nejlepší bude v nočních hodinách pásmo 20 m. Mimořádná výzva E dosáhne posledního let-

ního maxima své aktivity. v první dekadě srpna, pak již bude její výskyt rychle ustupovat. Tím také většinou skončí i možnost příjmu signálů vzdálených televizních vysílačů v prvním pásmu. Naproti tomu výskyt atmosférických rušení (QRN) má v srpnu dosahnut celoročního maxima, zvláště buď-li nad Evropou výraznější bouřková činnost.

Nezapomeněte, že

V SRPNU

budou uspořádány tyto závody (čas v GMT):

Datum, čas	Název	Pořádá
2. 8. 19.00—21.00	Závod OL	ÚRK
2. 8. až 3. 8. 00.01—24.00	LABRE	Brazilský radioklub
2. 8. až 3. 8. 18.00—24.00	YO-DX Contest	Rumunský radioklub
3. 8. 00.01—23.59	Maryland QSO Party	ARRL Maryland
8. 8. až 9. 8. 00.01—03.00	Idaho QSO Party	ARRL Idaho
16. 8.—17. 8. 19.00—04.00 12.00—23.00	New Jersey QSO Party	ARRL New Jersey
16. 8. až 17. 8. 00.00—24.00	WAE-DX-CW-Contest	DARC (NSR)
17. 8. 10.00—12.00	Provozní aktiv	ÚRK
23. 8. až 24. 8. 20.00—05.00	South Carolina	ARRL South Carolina
24. 8. až 25. 8. 14.00—05.00	QSO Party	JARL (Japonsko)
30. 8. až 31. 8. 10.00—16.00	ALL Asian DX Contest	



Zprávy ze světa

TY6ATA je nová a velmi vzácná stanice v Da-homey, která se objevuje ve večerních hodinách v americké části 14 MHz — SSB pásmu.

Prefix PK8 již z pásma zmizely a jedinými legálními stanicemi v Indonésii jsou jen známky YB. Bandoeng není YB8 (dříve PK8), ale YB1 — což nám potvrdil YBIBC. Zádal QSL na P.O.Box 8, Bandoeng, Indonesia.

HR2DVR, který pilně pracuje na 21 MHz SSB, oznamuje, že se mu mají zaslat QSL jen přímo na adresu: Amateur Radio HR2DVR, Daniel, La Loma, Honduras! Tato adresa je pří dostatečná.

Dovídáme se, jak je to ve skutečnosti s prefixem DX, který se objevil na Filipín. Nyní tam vydávají předix DX již jen pro expedice, zatímco američtí občané na Filipínách mají přiděleny známky v rozsahu DU1ZAA až DU1ZZZ.

KC6CFS pracuje ze vzdálostí Východních Karolin (z ostrova Truk). Používá kmitočet 14 295 kHz a bývá u nás slyšet kolem 09.30 GMT. QSL žádá na W7UBB. Další stanici je tam právě jste KC6JC (14 310 kHz SSB kolem 12.00 GMT) — manažera mu dělá W2RDD. Ze Západních Karolin vysílají t. č. např. KC6AS na 14 245 kHz z ostrova Palau a KC6CT z ostrova Jap (QSL žádá na W9VW).

Podezíráme, že VK7KJ je možné najít vzdálostní stanici VK0MI (Macquarie Isl.) na telegrafu na kmitočtu 14 012 kHz v 08.00 GMT, na 14 038 kHz po 13.00 GMT a někdy se přeladuje i na 14 080 kHz. QSL manažerem je právě VK7KJ.

OAIJ je dobrý do diplomu WPX. Jeho QTH je asi 700 km severně od Limy a je to město Chiclayo, P.O.Box 80. Velmi očotřně navazuje spojení s OK-stanicemi na SSB na 14 MHz vzdálo- rno kolem 04.30 GMT.

Do WPX je přinosem i prefix TI5SWM. Prá- cuje obvykle SSB a QSL žádá na adresu: P.O.Box 182, Alajuela, Costa Rica.

Klubovní stanice VK9XI na Christmas Isl. je po delším odmlčení opět denně dosažitelná na pásmech.

Nejsnadněji ji uděláte SSB na 21 MHz kolem kmitočtu 21 242 kHz po 16.00 GMT. Manažera ji dělá známý VK6RU.

Další silnou stanicí na Canary Isl. je EA8EH, op. Domingo. Zádá QSL přímo na adresu: Las Palmas, Grand Canary Isl., P.O.Box 860.

Stanice VS9MB na Maldivách oznámila, že změnila QSL manažera. QSL pro ni již nevyřizuje Jack, W2CTN, ale G3KDB. VS9MB je téměř denně na 21 MHz SSB.

FH8CD — Comoro Isl. — pracuje obvykle mezi 12.00 až 15.00 GMT SSB na kmitočtu 14 212 kHz, velmi nesnadno se však dělá. Využívá se jen v nekonvenčních skezech a když ho někdo netrpělivě brejkuje, dopálí se a dříve QRT.

HCSFN na Galapagos Isl. oznámil, že má pravidelné skedy s W6BIP v pondělí a v úterý na 14 340 kHz, které končí vždy ve 14.50 GMT. Teprve pak je ochoten navazovat spojení s kýmkoli, nesmí se my však sked rušit předčasným voláním!

ZS1A oznámuje, že chce získat diplom 5B-DXCC — pracuje na 7 000 až 7 005 kHz od 05.00 GMT telegraficky, na 7 085 až 7 085 kHz SSB (zde však pozor — poslouchá jen mezi 7 220 až 7 225 kHz). Je ochoten se po domluvě přeladit i na 80 m.

KC4USN, KC4USO a KC4UVS jsou polární stanice v Antarktidě. Pracují denně ve své spojovací síti na kmitočtu 14 310 kHz od 06.00 GMT a jakmile si vymění své služební zprávy, lze s nimi poměrně dobře navazovat spojení.

Ké změně prefixu dochází i na ostrově Nauru (dosud VK9), který dostal od ITU přidělený prefix C2A až C2Z.

V poslední době se objevuje v noci na 14 MHz stanice UA1KBE/7. Pokud znáte její přesnou polohu v souřadnicích, napište! Bude velmi zajímavé pro diplom P7SP.

VR9BS vzbudil 18. dubna nezasluženou senzací na 14 MHz — udával QTH Tamara Isl. Není to však žádná nová země, ale obyčejný pirát, což vyplývá již z toho, že žádal QSL na VR8TC (o němž příliš dobře víme, jak je to s jeho QSL-lístky).

Úplná legenda vznikla kolem známkového QSL žádosti na W2RDD. Můžete-li někdo podat naprostu hodnověrné zprávy, napište mi!

Jožko, 9G1HM (ex OK3HM), pracuje každou sobotu a neděli od 07.00 GMT na kmitočtu 21 035 kHz telegraficky a hledá spojení s OK. Někdy pracuje i na 3,5 MHz a oznámuje, že se již brzy objeví i na 7 MHz.

CE9AT se opět objevuje na 14 MHz, ale jen CW na 14 060 kHz kolem 20.00 GMT. QSL žádá na CE3ZN.

VP5TH je občas na 14 MHz telegraficky a žádá QSL na US NAVY RAC, Grand Turks Isl., APO N. Y. 09558.

KS6CX pracoval koncem dubna z Americké Samoy na 21 MHz. QSL manažera mu dělá K4ADU.

QSL informace: MP4MPJ na G3POA,

ZF1KV-WA0QOI, 9Q5WS-W1BPM, 5A1TN-L8OA, OA4W-P.O. Box 56, Lima, ZC4AK-WA2CMV, HC5NW-WA6MWG, 9K2BV-W5GM, KZ5JW-P.O. Box 105, Balboa, ZF1AA-K2POL, FG7TG-W5BUK, 9Y4RP-WASMYR, 3V8AD-DL1DA, 5L2BJ-WA3HUP, YA2HWI-W9FLJ, FB8WW-W4MYE, XW8BP-DJ9SX, CT3AS-G2MI, PJ8AA-W2BBK, PJ2CC-W1BIH, 4S7DA-W6FJ, ZB2BS-GW3PSM, ZD5M-W2CTN, HL9WK-K7CHT, YZ3AB-H. Folkerts, P.O.Box 2486, Dhahran, 3A0EJ-DK1KH.

Diplom WAPUS vydávají v USA za spojení s různými prefixy USA. Platí zde např. K, W, WA, WB, WC, KN, WN atd. Datum, od kdy spojení platí, není určeno, pásmo a druh spojení lze libovolně.

Diplom III. třídy — nutno předložit QSL za 16 různých prefixů USA.

Diplom II. třídy — nutno předložit QSL ze 32 různých prefixů USA.

Diplom I. třídy — nutno předložit QSL za 46 různých prefixů USA.

Do dnešní rubriky přispěli: OK1ADM, OK1ADP, OK2QR, OK2BRR, OKIAWQ, OKIAOR, OKIIAR, OK2BCW, OK1AJM a posluchač OK1-17419, OK1-11861, OK1-16713, OK2-16376/1, OK1-15588/1, OK2-14760, OK1-17728. Všem děkuji za dopisy a pěkné zprávy. Je potřebaště, že se přihlásili i noví dopisovatelé! Zprávy zasílejte jako obvykle do osmého měsíci na adresu: Ing. Vladimír Šrdík, P.O.Box 46, Hlinsko.

přečeme

si

Heřman, A.: AKUMULÁTOŘ V PROVOZU MOTOROVÝCH VOZIDEL. Praha: Nakladatelství dopravy a spojů 1968, 228 str., 119 obr. Brož. Kčs 15,—

Kníha je sice určena motoristům, ale jistě zajíme i radioamatérů. Jednak proto, že mnoho z nich patří mezi motoristy a jednak také proto, že ošetrování, údržba a provoz akumulátorů patří do oblasti radioamatérských zajím. Jde o praktickou příručku. Přes dvě desítky kapitol tvorí první polovinu knihy; čtenář se v nich dozví o normalizaci akumulátorů, o přípravě elektrolytu, o zacházení s kyselinou sirovou a s destilovanou vodou, o usměrňovacích a jejich použití, seznámi se s nabijecími přístroji a s nabíjením nových i starších akumulátorů a s uváděním nových akumulátorů do provozu. Dále jsou v knize rozebrány základy ošetrování a péče o akumulátor, jejich měření a zkoušení. Několik užitečných kapitol je věnováno možným poruchám a závadám akumulátorů, jejich příčinám a způsobům odstraňování. Zajímavá je kapitola o vlivu teploty na akumulátor a o vysvětlení závislosti kapacity akumulátoru na výběžícím proudu. Závěrečné kapitoly jsou věnovány opravám akumulátorů, záručním podmínkám, životnosti, nabijecímu příslušenství a bezpečnosti při nabíjení a ošetrování.

Celou druhou polovinu knihy tvoří přehled typů, kapacit, rozměrů a vah našich i zahraničních akumulátorů. Podle poslední kapitoly si může čtenář zhotovit nabíjecí soupravu pro akumulátor 6 a 12 V.

Autor v knize soustředil mnoho cenných informací, které v některých podobných knihách v minulosti obvykle chybely. Tím se z této Heřmanovy knihy stává užitečná příručka pro praktickou potřebu. S.L.

četli jsme

Radioamatér (Jug.), č. 5/69

Amatérský konvertor — Tranzistorový vysílač pro pásmo 2 m — Přístroj k měření kapacity kondenzátorů a velkých odporek — Laboratorní napájecí zdroj — Krátkovlnný obrazový konvertor — Učte se a hrajte si s námi (5) — Troposférické šíření VKV — Voltmetr s rozprostřenou stupnicí — Regenerátor telegrafických signálů — TV servis — Tranzistorový přijímač RIO-AM — Opravy potenciometrů a ladících kondenzátorů — Držet krok s vývojem radiotechniky.

Funkamatér (NDR), č. 4/69

Aktuality — Tuner VKV se samočinným doložováním — Univerzální tranzistorový zesilovač — Návod ke stavbě interkomu — Miniaturní transverzor — Šest pověrčivých soupravou — GD20 — nový výkonový tranzistor 10 W — SSB „čtvrtou“ metodou — Pojítko VKV v kabelkovém provedení — Modulační, zesilovač na plošných

spojich - Výpočet jednoduchých měřicích přístrojů při amatérské stavbě (5) - Sdělovací soustava nejvyšší citlivosti - Stolní přijímač Transmiranda - Poznámky ke konstrukci konvertoru pro pásmo 2 m - Stavební díly k proporcionálnímu řízení modelů (3) - Stavební návod na velmi jakostní stereofonní zesilovač (2).

Radio, Fernsehen, Elektronik (NDR), č. 7/69

Generátor pulsů k řízení číslicových obvodů - Paměti, současnost a perspektiva (2) - Možnosti použití bistabilních obvodů - Kritické hodnocení nosičů informaci (5) - Informace o polovodičích (58), křemíkové planární dvojitě diody v pouzdroch z plastických hmot SAY50, SAY52, SAY60, SAY62 - Gramofon pro vysoké nároky - Magnetofonové pásky ORWO - Stavební návod na tranzistorový tuner pro IV. a V. TV pásmo - Antenní přizpůsobení půlvlnným paralelním vedením - Elektronicky stabilizovaný zdroj s tyristory - Jak zacházet s tranzistory MOSFET.

Radio, Fernsehen, Elektronik (NDR), č. 8/69

Zkušec logických stavebnicových jednotek, řízený děrnatou páskou - Další vývoj amerického elektronického trhu v roce 1969 - Konstrukce a činnost elektronických číslicových paměti (1) - Paměti, současnost a perspektiva (3) - Kritické hodnocení nosičů informaci (6) - Cestovní přijímač Meridian - Zvláštní použití variáku - Stavební návod na analogovo-číslicový převodník - Tranzistorový zesilovač pro 1 kW špičkové výkonu při kmitočtech 2 až 32 MHz - Riditelný multivibrátor.

Radioamatér i krótkofalowiec (PLR), č. 4/69

Nf zesilovač 10 W - Jednoduchý adaptér pro příjem KV - Nové elektronky pro televizní přijímače - Stereofonie na sluchátka - Zlepšení ferorezonanční stabilizace - Rozhlasový přijímač Alnaz - Amatérský osciloskop (podle AR 12/66) - Tranzistorový můstek RLC (podle AR 10/66).

Rádiotechnika (MLR), č. 5/69

Zajímavá zapojení s elektronkami a tranzistory - Plynnem plněné číslicové elektronky - Od lineárního koncového stupně k anténě - Antenní přizpůsobení - Dutinové rezonátory v praxi - Vf měřicí generátory - Konvertor UKV Orion UE100 - Měřicí metody v televizní přijímací technice - Tranzistorový čtyřkanálový snímačovací pult - Elektronicky měřicí přístroj (V, A) s planárními tranzistory - Pravda o bas-reflexových skříních - Abeceda radioamatéra - Sítový transformátor (3):

Radio i televizija (BLR), č. 3/69

Elektronický lékařský teploměr - Voltampérmetr s transformátorem pro měření střídavých i stejnosměrných veličin - Samočinné řízení zesílení v přijímačích AM - Násobič jakosti pro obvody nf zesilovačů - Zámkna elektronek EARC80 za ECC85 - Tranzistorové amplitudové detektory - Rozhlasový přijímač Echo 2 - Bezkontaktní zapalování.

Funktechnik (NSR), č. 7/69

Cestovní a vozidlové tranzistorové přijímače 1969 - Technika televizních kabelových přenosů v USA a Kanadě - Výkonné stereofonní tuner VKV Görler - Konstrukce reproduktoru - Číslicová elektronika - Osciloskop v servisní praxi - Konstrukční směry ve výrobě tranzistorových přenosných rozhlasových přijímačů.

INZIEŘE

První tučný rádeček Kčs 20,40, další Kčs 10,20. Příslušnou částku poučte na účet č. 300-036 SBCS Praha, správa 611 pro vydavatelství MAGNET, inzerce, Praha 1, Vladislavova 26. Uzávěrka 6 týdnů před uveřejněním, tj. 14. v. měsíci. Neopomeňte uvést prodejní cenu.

PRODEJ

2 páry KU605 nové (a'800). Ing. J. Kováříková, Brno, Kienová 67.

Nové motorky AYN 550 (200). L. Bojarský, Šrobárova 3, Trnava.

ICOMET (800), EV 101 (600), BM 342 (1 400), BM 261 (4 500), BM 370 (2 100). Ing. Musil, Karviná 2807.

Telev. antén. zesilovač Zlatkov AZ2, nepoužitý (150). Petřík, Na Belánce 13, Plzeň.

Dálkopis Lorenz páskový a ladička (600). Mirek Kop, Praha 3. Lucemburská 12.

DU10 50 kΩ/V nový (950), křem. blok KY299 I. jak. (100), repro ARE489 (40), soupr. lad. klíč NDR 15 ks (40), čas. spínač Vipo extra 10 A,0-9 hod (120). Vše nepoužité - ručník. J. Šafinka, Horní Datyně, 169, o. Frýdek-Místek.

Nepoužitý AF139 (a 100). AF239 (a 120). V. Reiser, Ostrov n. O. 1119/7.

RX Lámbda IV (1 800), ant. YAGI - 11 prvků, 144 MHz (100), akum. nabíječka 6÷18 V, 0÷5 A (200), TX tr. C a tr. B zdroj spol. s elbugem (2 000). V. Krygel, Ostrava-Heršmanice, Koněvova 83/24.

Mgf URAN, síťový zdroj, mikrofon, propojovací šnůra, přídavné repro, 3 pásky LGS-35, 3 pásky ORWO (1 500). A. Holub, Zavadilka 24, p. Nymburk.

KOUPĚ

AF239, AF139, nové, nepoužité. M. Vančata, Rychtaříkova 24, Plzeň.

RX E10aK, bezv. stav a zdroj. J. Benýr, Chotěšov čp. 277, o. Plzeň-jih.

Detektor kovových předmětů, tranzistorový. J. Šnelzer, Kunžák 189, o. J. Hradec.

Karousel 3×4 až 6 poloh, i poškozený. Dercsényi, Praha 4, Cholupická 1273.

Komunik. RX, mgf. B41 nebo Sonet Duo. M. Fabian, Vrchlického 15, Hodonín.

Lambda 5, M.w.E.c., EZ6, EL10, E10aK, UKWE, Fugl6, Jalta (K1070K140), duál Doris, len fb. Ing. Kukvík, ZSNP Žiař nad Hronom, Výskum FK.

VÝMĚNA

Elektr. polyf. hud. nástroj, RX amat., W-metr a Sonet 1 za mgf 4 stopy, nejr. Philips; DU10, 2 × MP80 (40 až 100 μA), 4 mf filtry Camping. S. Holubář, Mimoň, Eliášova 312.

RŮZNÉ

Fakulta strojní ČVUT Praha přijme 1 elektrické - absolventa vyšší průmyslové školy elektroslaboproud; informace podá vedoucí katedry automobilů a spalovacích motorů v Praze 6, Technická 4, tel. 328851, linka 220.

Výzkumný ústav silnoproudé elektrotechniky v Běchovicích přijme:

1 absolventa průmyslové školy slaboproudé pro obor měřicí a řídící techniky (aplikace s polovodiči).

Možnost dálkového studia a výhodné autobusové spojení s Prahou. Zájemci, hlasejte se na osobním odd. ústavu, tel. 899 041 až 5, linka 256.

REPRODUKTORY, MIKROFONY, ELEKTRONKY, OBRAZOVKY a další materiál

nabízí organizacím Obchodní podnik TESLA

Tlakový reproduktor T5-OF pro veř. rozhlas, tov. hal, nástupiště
hromadné dopravy apod. ARS 403 a ARS 432 pro volná prostranství.
ARO 835, ARZ 669, ARV 261, ARZ 662 a ARS 265 pro bytové prostory.
Mikrofony reportážní a dynamické. Gramošasi HC 643 a HC 646. Všechny
typy bateriových elektronek. Obrazovky 25QP20, 35MK21. Náhrad. sou-
částky a různý materiál. Informujte se v prodejných odděleních: Praha 1,
Dlouhá 15; Uherský Brod, Za dolním kostelem 847; Brno, Lidická 63;
Bratislava, Červené armády 8—10; Zvolen, nám. SNP 28; Košice, Nové
Mesto — Luník 1.

TESLA

DOBRE VÝROBKY

DOBRE SLUŽBY

